

الميكانيكا الكمية

التقويم والقياس التليلى فى الاراء البديت

تأليف

دكتور محمد عبد البصير

كلية التربية الرياضية (للبنين)
بالتاهرة — جامعة حلوان

الجهاز المركزى للكتب الجامعية والمدرسية
والوسائل التعليمية
طبعة ١٩٨٣ / ١٩٨٤

12

13

إهداء

إلى زوجتي وأولادي أيتها ولبياء وهيئ
إلى جميع الزملاء في مجال التربية الرياضية
أهدى هذا المؤلف اعترافاً بما لهم من أفضال

1. The first part of the document is a list of names and dates.

2. The second part of the document is a list of names and dates.

3. The third part of the document is a list of names and dates.

4. The fourth part of the document is a list of names and dates.

5. The fifth part of the document is a list of names and dates.

6. The sixth part of the document is a list of names and dates.

7. The seventh part of the document is a list of names and dates.

8. The eighth part of the document is a list of names and dates.

9. The ninth part of the document is a list of names and dates.

10. The tenth part of the document is a list of names and dates.

11. The eleventh part of the document is a list of names and dates.

12. The twelfth part of the document is a list of names and dates.

13. The thirteenth part of the document is a list of names and dates.

14. The fourteenth part of the document is a list of names and dates.

15. The fifteenth part of the document is a list of names and dates.

16. The sixteenth part of the document is a list of names and dates.

17. The seventeenth part of the document is a list of names and dates.

18. The eighteenth part of the document is a list of names and dates.

19. The nineteenth part of the document is a list of names and dates.

20. The twentieth part of the document is a list of names and dates.

21. The twenty-first part of the document is a list of names and dates.

22. The twenty-second part of the document is a list of names and dates.

23. The twenty-third part of the document is a list of names and dates.

24. The twenty-fourth part of the document is a list of names and dates.

25. The twenty-fifth part of the document is a list of names and dates.

26. The twenty-sixth part of the document is a list of names and dates.

27. The twenty-seventh part of the document is a list of names and dates.

28. The twenty-eighth part of the document is a list of names and dates.

29. The twenty-ninth part of the document is a list of names and dates.

30. The thirtieth part of the document is a list of names and dates.

31. The thirty-first part of the document is a list of names and dates.

32. The thirty-second part of the document is a list of names and dates.

33. The thirty-third part of the document is a list of names and dates.

34. The thirty-fourth part of the document is a list of names and dates.

35. The thirty-fifth part of the document is a list of names and dates.

36. The thirty-sixth part of the document is a list of names and dates.

37. The thirty-seventh part of the document is a list of names and dates.

38. The thirty-eighth part of the document is a list of names and dates.

39. The thirty-ninth part of the document is a list of names and dates.

40. The fortieth part of the document is a list of names and dates.

41. The forty-first part of the document is a list of names and dates.

42. The forty-second part of the document is a list of names and dates.

43. The forty-third part of the document is a list of names and dates.

1875

1876

1877

1878

1879

1880

1881

1882

1883

1884

1885

1886

1887

1888

1889

1890

1891

1892

1893

1894

1895

1896

1897

1898

1899

1900

1901

1902

1903

1904

1905

1906

1907

1908

1909

1910

1911

1912

1913

1914

1915

1916

1917

1918

1919

1920

1921

1922

1923

1924

1925

1926

1927

1928

1929

1930

1931

1932

1933

1934

1935

1936

1937

1938

1939

1940

1941

1942

1943

1944

1945

1946

1947

1948

1949

1950

1951

1952

1953

1954

1955

1956

1957

1958

1959

1960

1961

1962

1963

1964

1965

1966

1967

1968

1969

1970

1971

1972

1973

1974

1975

1976

1977

1978

1979

1980

1981

1982

1983

1984

1985

1986

1987

1988

1989

1990

1991

1992

1993

1994

1995

1996

1997

1998

1999

2000

2001

2002

2003

2004

2005

2006

2007

2008

2009

2010

2011

2012

2013

2014

2015

2016

2017

2018

2019

2020

2021

2022

2023

2024

2025

2026

2027

2028

2029

2030

2031

2032

2033

2034

2035

2036

2037

2038

2039

2040

2041

2042

2043

2044

2045

2046

2047

2048

2049

2050

2051

2052

2053

2054

2055

2056

2057

2058

2059

2060

2061

2062

2063

2064

2065

2066

2067

2068

2069

2070

2071

2072

2073

2074

2075

2076

2077

2078

2079

2080

2081

2082

2083

2084

2085

2086

2087

2088

2089

2090

2091

2092

2093

2094

2095

2096

2097

2098

2099

2100

2101

2102

2103

2104

2105

2106

2107

2108

2109

2110

2111

2112

2113

2114

2115

2116

2117

2118

2119

2120

2121

2122

2123

2124

2125

2126

2127

2128

2129

2130

2131

2132

2133

2134

2135

2136

2137

2138

2139

2140

2141

2142

2143

2144

2145

2146

2147

2148

2149

2150

2151



قائمة المحتويات

| الموضوع | رقم الصفحة |
|--|-------------|
| اهداء.. | ج |
| قائمة الجداول | ز |
| قائمة الاشكال | ط |
| تقديم.. | م |
| الفصل الأول | |
| ١-٠ التقيوم والقياس | ٣ |
| ١-١ مفهوم التقيوم والقياس في المجال الرياضى | ٣ |
| ١-٢ أهمية التقيوم والقياس في مجال الميكانيكا الحيوية | ٥ |
| ١-٣ طرق ووسائل التقيوم في مجال الميكانيكا الحيوية | ٥ |
| الفصل الثاني | |
| ٢-٠ دراسة الحركة الرياضية | ٢٧ |
| ٢-١ التحليل البيوميكانيكى للحركات الرياضية | ٣١ |
| ٢-٢ مفهوم التحليل البيوميكانيكى | ٣١ |
| ٢-٣ التخطيط للتحليل البيوميكانيكى | ٣٢ |
| ٢-٤ التحليل البيوكيناتيكي للحركات الرياضية | ٣٢ |
| ٢-٥ التحليل البيوكيناتيكي للحركات الرياضية | ٦٧ |
| ٢-٦ التحليل البيوديناميكي للحركات الرياضية | ٦٧ |
| الفصل الثالث | |
| ٣-٠ نماذج تطبيقية عن ميكانيكا الحركة الرياضية | ٩٨ |
| ٣-١ الجيباز | ٩٨ |
| ٣-٢ ألعاب القوى | ١١٤ |

| | |
|-------------|---------------|
| ١٢٨ | ٣-٣ الغطس . |
| ١٣١ | ٣-٤ السباحة . |

الفصل الرابع

| | |
|-------------|-----------------------|
| ١٣٣ | ٤-٠ المراجع .. |
| ١٣٥ | ٤-١ المراجع العربية . |
| ١٣٧ | ٤-٢ المراجع الاجنبية |

قائمة الجداول

| رقم الصفحة | العنوان | رقم الجدول |
|---------------|---|---------------|
| ٣٨ | ١ الوزن النسبي لأجزاء جسم الانسان بالنسبة لوزن الجسم كله (عن فيشروبيرنشتاين) . | |
| ٣٩ | ٢ الوزن النسبي لأجزاء جسم الانسان بالنسبة لوزن الجسم الكلى (عن كلاوسير) . | |
| ٤٠ | ٣ نسبة أنصاف أقطار مراكز ثقل كل جزء من أجزاء جسم الانسان بالنسبة لطول محاورها الطولية (عن كلاوسير) . | |
| ٥١ | ٤ السرعة اللخطية لمركز ثقل كتلة الجسم بالنسبة للزمن خلال المرجحة لاسفل ولاعلى حتى لحظة كسر الاتصال خلال المسار الحركى لمهارة كيموتسو على جهاز المتوازنين . | ٦ |
| ٥٤ | ٥ المعجلة اللخطية لمركز ثقل كتلة الجسم بالنسبة للزمن خلال المرجحة لاسفل ولاعلى حتى لحظة كسر الاتصال أثناء المسار الحركى لمهارة كيموتسو على جهاز المتوازنين . | ٦ |
| ٥٩ | ٦ الازاحة الزاوية لمراكز ثقل كتلة كل من الرأس ، الجذع ، الجسم ، الرجلين خلال المرجحة لاسفل ولاعلى حتى لحظة كسر الاتصال خلال المسار الحركى لمهارة كيموتسو على جهاز المتوازنين . | ٦ |
| ٦٠ | ٧ السرعة الزاوية لمركز ثقل كتلة الرأس بالنسبة للزمن خلال المرجحة لاسفل ولاعلى حتى لحظة كسر الاتصال خلال المسار الحركى لمهارة كيموتسو على جهاز المتوازنين . | ٦ |
| ٦٩ | ٨ المعامل الاستبدالى على المحور الرأسى والأفقى . | |
| ٧٣ | ٩ حساب القوة المؤثرة على مركز ثقل كتلة الجسم خلال المسار الحركى فى الارتكاز قبل الحاجز . | |

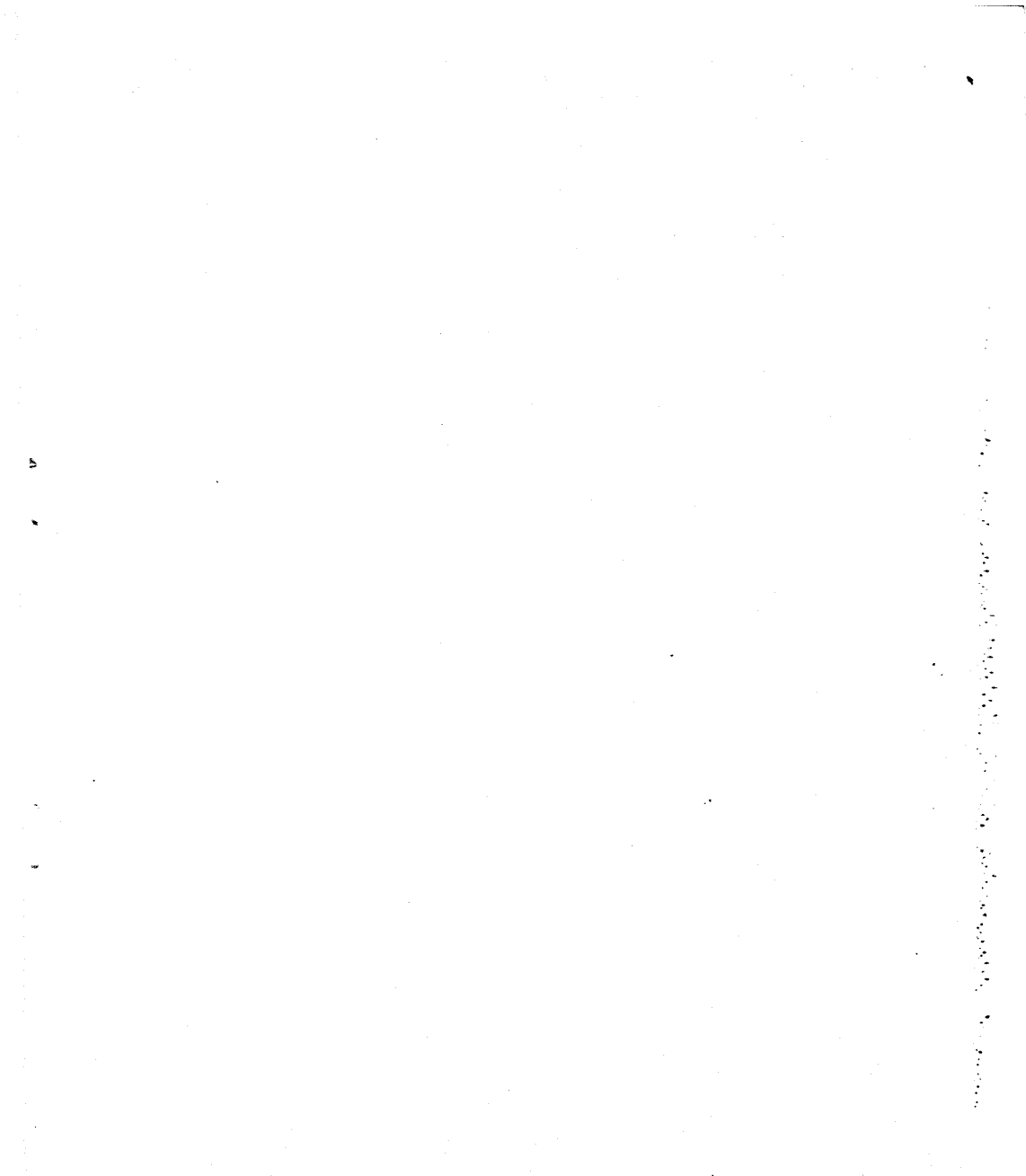
- ١٠ دفع القوى المؤثرة على مركز ثقل كتلة الجسم في اتجاه كل من المركبتين الرأسية والأفقية بالنسبة للزمن خلال المرجحة لأسفل ولأعلى حتى لحظة كسر الاتصال في الدورة الهوائية الأمامية المنحنية من الارتكاز للارتكاز على المتوازنين . ٧٦
- ١١ دفع القوى ، دفع الدوران المؤثرة على مركز ثقل كتلة الجسم في اتجاه كل من المركبتين الرأسية والأفقية بالنسبة للزمن خلال المرجحة لأسفل ولأعلى حتى لحظة كسر الاتصال خلال اداء الدورة الهوائية الأمامية المنحنية من الارتكاز للارتكاز على جهاز المتوازنين . ٨٤
- ١٢ عزم القصور الذاتي لأعضاء الجسم المختلفة كل على حده حول المحور العرضي المار بمركز ثقل كتلة كل منها . ٨٦
- ١٣ حساب عزم القصور الذاتي للجسم حول عارضتي المتوازنين في الصورة (٥) . ٨٧
- ١٤ دفع الدوران المؤثرة على مركز ثقل كتلة الجسم في اتجاه كل من المركبتين الرأسية والأفقية ومحصلتها كدالة بالنسبة للزمن خلال مرحلة الاتصال حتى لحظة كسر الاتصال خلال المسار الحركي لمهارة كيموتسو على المتوازنين . ٩٢

قائمة الاشكال

| رقم الشكل | العنوان | رقم الصفحة |
|--------------|--|---------------|
| ١ | العلامات الارشادية الضابطة . | ٨ |
| ٢ | عارضته تحديد مقياس الرسم . | ٩ |
| ٣ | رسم تخطيطى لجهاز التصوير الدائرى . | ١٤ |
| ٤ | رسم تخطيطى لجهاز تسجيل القوى للمؤلف . | ١٩ |
| ٥ | رسم تخطيطى لتركيب جهاز قياس القوى للمؤلف بعارضة المتوازنين . | ٢٠ |
| ٦ | رسم تخطيطى لجهاز قياس القوى فى الاتجاهين الرأسى والافقى . | ٢٣ |
| ٧ | رسم تخطيطى لجهاز تسجيل القوى فى الاتجاهين الرأسى والافقى يعمل بتحميل ناشئ* عن الشد فقط على أعمدة الصلب . | ٢٤ |
| ٨ | الحركة الانتقالية فى خط مستقيم . | ٢٧ |
| ٩ | الحركة الانتقالية فى خط منحنى . | ٢٨ |
| ١٠ | الدوران حول محور ثابت . | ٢٨ |
| ١١ | الدوران حول محور متحرك . | ٢٩ |
| ١٢ | الحركة العامة . | ٣٠ |
| ١٣ | خط الثقل وقوة الارتكاز . | ٣٧ |
| ١٤ | انصاف أقطار مراكز ثقل كل اجزاء الجسم كل منها على حدة . | ٤١ |
| ١٥ | الشابلونة المستخدمة فى تحديد CG خلال المسار الحركى لأداء الحركات الرياضية (عن المؤلف) . | ٤٤ |
| ١٦ | المسار الحركى لمراكز ثقل كتلة كل من اجزاء الجسم والجسم خلال أداء مهارة كيموتسو على جهاز المتوازنين . | ٤٦ |
| ١٧ | كرونوجرام خطى لحركة القفز فتحا على المهر . | ٤٨ |
| ١٨ | كرونوجرام دائرى للحركة المغلقة فى الجرى . | ٤٨ |

- ١٩ منحني السرعة اللحظية لمراكز ثقل كتلة الجسم بالنسبة للزمن خلال مرحلة الاتصال أثناء أداء مهارة كيموتسو على جهاز المتوازنين . ٥٢
- ٢٠ منحني العجلة اللحظية بالنسبة للزمن لمراكز ثقل الجسم خلال المسار الحركي لأداء مهارة كيموتسو على جهاز المتوازنين . ٥٥
- ٢١ تحديد زاوية الانطلاق لحظة كسر الاتصال خلال المسار الحركي لمهارة كيموتسو على جهاز المتوازنين . ٥٧
- ٢٢ منحني السرعة الزاوية اللحظية لمركز ثقل كتلة الرأس خلال المرجحة لأسفل ولأعلى حتى لحظة كسر الاتصال خلال المسار الحركي لمهارة كيموتسو على جهاز المتوازنين . ٦٢
- ٢٣ السرعة المحصلة (OR) لقذف كرة القدم ومركبتها الأفقية (OW والرأسية (OK) . ٦٥
- ٢٤ مثلث السرعات . ٦٥
- ٢٥ منحني التغير في القوى المؤثرة على CG في اتجاه كل من المركبتين الرأسية ، الأفقية خلال أداء الدورة الهوائية الأمامية المنحنية على جهاز المتوازنين كما دونها جهاز تدوين القوى . ٧٠
- ٢٦ منحني التغير في القوى المؤثرة على CG في اتجاه كل من المركبتين الرأسية ، الأفقية خلال أداء الدورة الهوائية الأمامية المنحنية على المتوازنين (عن المؤلف) .
- ٢٧ منحني القوة المؤثرة على CG كدالة للزمن خلال المسار الحركي في الارتكاز قبل الحاجز للاعب الحواجز (عن عبد النبي) . ٧٣
- ٢٨ تقسيم المساحة تحت منحني دالة القوة - الزمن في اتجاه المركبة الرأسية خلال المرجحة لأسفل ولأعلى حتى لحظة كسر الاتصال في الدورة الهوائية الأمامية المنحنية على جهاز المتوازنين (عن المؤلف) . ٧٧

| رقم الشكل | العنوان | رقم الصفحة |
|--------------|---|---------------|
| ٢٩ | الدفع في الاتجاه الرأسى والأفقى . | ٧٨ |
| ٣٠ | العلاقة بين السرعة الزاوية وعزم القصور الذاتى عند ثبات كمية الحركة الزاوية في قفزة دورة هوائية خلفية ونصف والجسم متكور . | ٨٠ |
| ٣١ | منحنى دفع الدوران المؤثرة على مراكز ثقل كتلة الجسم في اتجاه كل من المركبتين الرأسية، الأفقية خلال المرحلة لأسفل ولأعلى حتى لحظة كسر الاتصال خلال الدورة الهوائية الامامية المنحنية من الارتكاز على جهاز المتوازن (عن المؤلف) . | ٨٣ |
| ٣٢ | استخدام نظرية المحاور المتوازية في تحديد عزم القصور الذاتى لجسم اللاعب حول عارضتى المتوازن . | ٨٨ |
| ٣٣ | دفع الدوران المؤثرة على مركز ثقل كتلة جسم اللاعب في اتجاه كل من المركبتين الرأسية، الأفقية ومحصلتهما كدالة بالنسبة للزمن خلال مرحلة الاتصال اثناء اداء مهارة كيموتسو على جهاز المتوازن (عن المؤلف) . | ٩٣ |
| ٣٤ | التغير الزاوى لمفصل كل من الكتفين والفخذين خلال أداء الدائرة الخلفية الكبرى على جهاز العقلة (عن بورمس) . | ١٠٠ |
| ٣٥ | التغير الزاوى لمفصل كل من الكتفين والفخذين خلال أداء الدائرة الامامية الكبرى على جهاز العقلة عن (بورمس) . | ١٠٠ |
| ٣٦ | الاضاع المتابعة في انجاز الطلوع بالكب على جهاز العقلة بالنسبة لمسار CG : المحاولة الابتدائية (-) المحاولة الرئيسية (× - ×) النجاح النهائى (. - .) . | ١٠٧ |
| ٣٧ | عزم القوة في حالة الارتكاز الأمامى والخلفى أثناء العدو (عن سليمان) . | ١٢٤ |



تقديم

يستثير الاهتمام المتزايد بدراسة الأداء الحركى للانسان فى الانشطة الرياضية المختلفة العاملين فى مجال تدريس وتدريب المهارات الحركية المرتبطة بالانشطة الرياضية المختلفة لدراسة العوامل المؤثرة بطريقة مباشرة أو غير مباشرة فى الاداء الحركى الانسانى سواء كانت هذه العوامل عوامل بيولوجية أو فسيولوجية أو تشريحية أو عوامل إجتماعية وبيئية ونفسية أو عوامل تدريبية أو عوامل ميكانيكية لتجميع مادة نظرية توضح العلاقات المتداخلة لكل من هذه العوامل ومدى إرتباطها ببعضها البعض بغية الوصول إلى تعميمات يمكن عن طريقها ترشيد عملية التعليم والتدريب وتحسين الأداء الحركى لإنجاز أفضل النتائج الرياضية .

ويعتبر علم الميكانيكا الحيوية فى مقدمات العلوم التى تهتم بدراسة وتحليل الأداء الحركى الإنسانى فى اطار العوامل المؤثرة على الأداء الحركى السابقة مستخدما فى ذلك أساليب ووسائل متباينة ومتعددة .

ويعتبر التقويم والقياس من أهم الوسائل التى يعتمد عليها العاملين فى شتى مجالات المعرفة عامة وفى مجال الميكانيكا الحيوية بخاصة لتجميع المادة النظرية التى تمكنهم من الأبداع والابتكار فى مجالات الانشطة الرياضية المتعددة .

ونظراً لأهمية التقويم والقياس فى المجال الرياضى تناوله الكثير من الباحثين فى كل من مجالات علم النفس والتربية (٣) والتربية البدنية (١٤) غير أن القليل منهم تناوله فى مجال الميكانيكا الحيوية (٨ ، ١٠) .

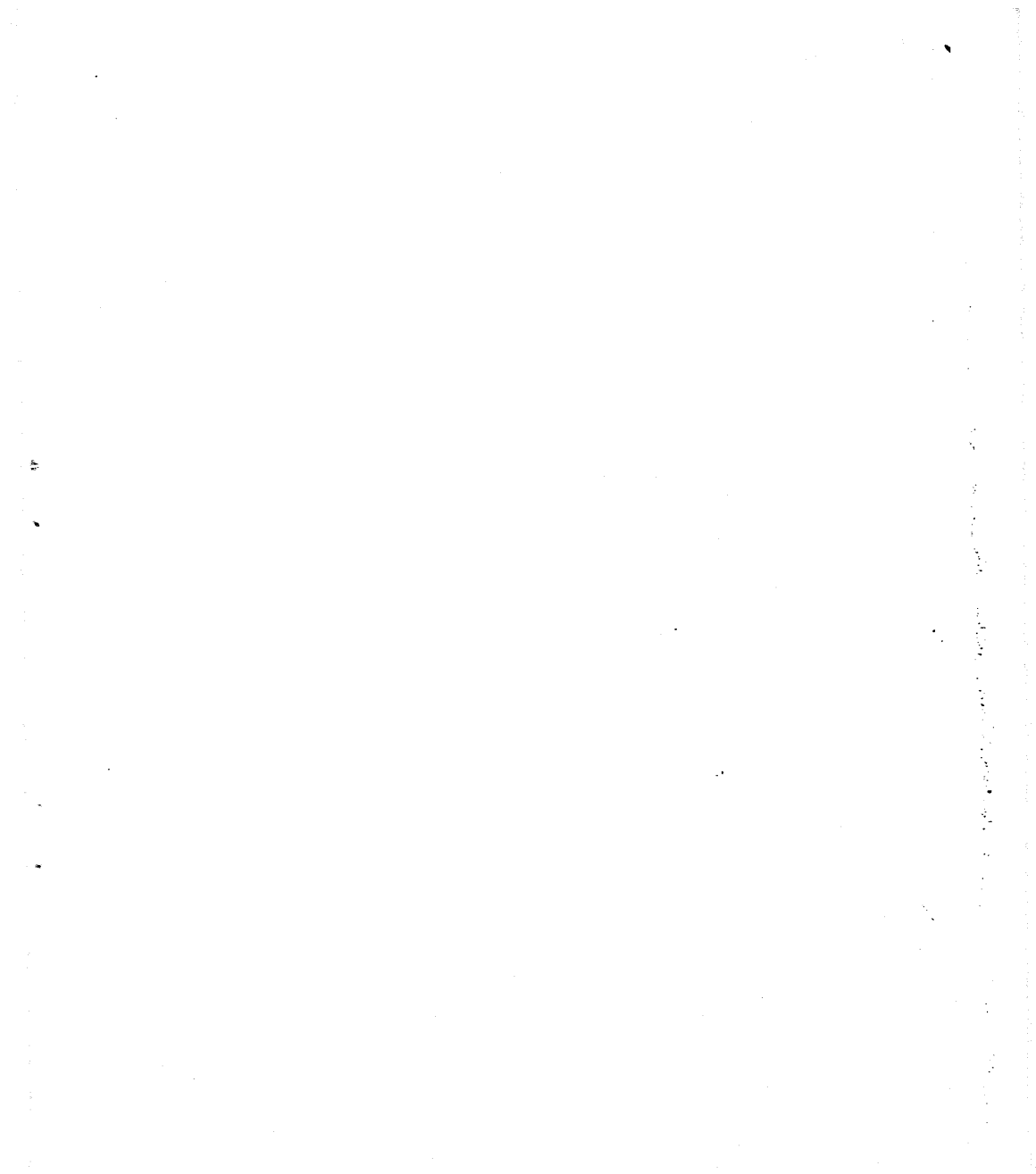
لذا فان هذا المؤلف ركز فى المقام الأول على عاملين أساسيين هما :-

١- تجميع المادة النظرية اللازمة لدراسه وتحليل الحركة الرياضية وفق العوامل الميكانيكية المؤثرة على مستوى الأداء الحركى بعد التعبير عنها كمعيار يمكن عن طريقه تقويم الأداء الحركى .

٢- تطبيقات عملية للطرائق والوسائل العلمية لدراسة وتحليل الحركة الرياضية .

و يأمل المؤلف أن يساهم هذا المرجع فى افادة العاملين فى مجال الميكانيكا الحيوية لترشيد عملية التدريس والتدريب على المهارات الرياضية .
والله ولى التوفيق ،

المؤلف



الفصل الأول

- ١ - ٠ التقوم والقياس .
- ١ - ١ مفهوم التقوم والقياس في المجال الرياضي .
- ١ - ٢ أهمية التقوم والقياس في مجال الميكانيكا الحيوية .
- ١ - ٣ طرق وسائل التقوم في مجال الميكانيكا الحيوية .

١ - القياس والتقييم The Test and Measurement

١ - ١ مفهوم التقييم والقياس في المجال الرياضي .

(١) مفهوم التقييم .

- تعني كلمة تقييم الشيء تقدير قيمته ووزنه أو إصدار الأحكام عليه .
كما يمتد مفهوم التقييم أيضا الى مفهوم تحسين أو تعديل أو تطوير ، حيث تعتمد هذه العمليات أساساً على فكرة إصدار الأحكام .
فالتقييم هو الحكم على الأشياء أو الأفراد لظهور المحاسن والعيوب ومراجعة صدق الفروض الأساسية التي يتم على أساسها تنظيم العمل وتطويره .
ويرى فؤاد أبو حطب ، سيد عثمان (التقييم التربوي والنفسي) أن التقييم يعني إصدار حكم على مدى تحقيق الأهداف المنشودة على النحو الذي تتحدد به تلك الأهداف ويتضمن ذلك دراسة الآثار التي تحدثها بعض العوامل والظروف في تيسير الوصول الى تلك الأهداف أو تعطيلها (١٤) .

والتقييم في التربية الرياضية لا يخرج عن المفهوم السابق فهو يتضمن تقديراً لأداء التلاميذ واللاعبين ثم إصدار أحكام على هذا الأداء في ضوء اعتبارات محددة لمواصفات الأداء كما أنه يتضمن أيضا تقييم مقدار الحصيلة التي تعبر عن التغيرات التي تم الوصول اليها عن طريق ممارسة برامج التعليم أو التدريب كما يتضمن التقييم في التربية الرياضية أيضا إصدار الأحكام على البرامج والمناهج وطرق وأساليب التعليم والتدريب والامكانيات وكل مايتعلق بتعليم وتدريب المهارات الحركية ويؤثر فيها .

وبالرغم من تعدد الأنشطة الرياضية وكثرتها إلا أن التقييم قد طرقها جميعاً بدون استثناء فصبغها بالصبغة العلمية التي هيأت لها الطريق السليم للتقدم والرقى وفي هذا الصدد يقول بيوشر Bucher عن التقييم والقياس في التربية الرياضية واستخدام القياس والتقييم أمر يبدو حتمياً اذا ما أردنا أن نعرف مدى فائدة أو فاعلية البرامج التي تدرس وما يتم عن طريقها ، واذا أردنا التحقق من أن هذه البرامج تحقق فعلا الأغراض الموضوعة من أجلها . فالقياس والتقييم أمور تساعد في التعرف على مواطن الضعف في الأفراد وفي البرامج ، كما أنها تبين قيمة التعليلات ومدى التقدم،

(ب) مفهوم القياس .

تعنى كلمة القياس من وجهة النظر الاحصائية تقدير الأشياء والمستويات تقديراً كمياً وفق إطار معين من المقاييس المدرجة . ويعضد ذلك ثورنديك Thorndik في قوله «كل ما يوجد يوجد بمقدار وكل مقدار يمكن قياسه» .

ويشير تيلور Tyler الى أن مصطلح القياس كما يستخدمه النفسيون يعطى مدى واسعاً من أوجه النشاط تشترك جميعها في استخدامها للأرقام وأهم تعريف للقياس هو أنه «تحديد أرقام طبقاً لقواعد معينة» .

ويقول بين Bean عن القياس في التربية وعلم النفس أنه «مجموعة مرتبة من المثيرات أعدت لقياس بطريقة كمية أو بطريقة كيفية بعض العمليات العقلية أو السمات أو الخصائص النفسية» (١٤) .

وغالباً ما يتضمن القياس جمع ملاحظات ومعلومات كمية عن موضوع القياس ، هذا علاوة على أنه يتضمن أيضاً عمليات المقارنة ويتأثر القياس بطبيعة العملية أو السمة المقاسة ، فبعض السمات يمكن التحكم في قياسها بدقة مثل قياس طول القامة أو وزن الجسم في حين أن البعض الآخر يصعب التحكم في قياسها بنفس القدر مثل قياس بعض العمليات العقلية وسمات الشخصية وذلك بسبب تعقدها وتأثيرها بالعوامل الذاتية .

(ج) الفرق بين التقوم والقياس .

يرى جرونلاند Gronland أن التقوم أكثر عمومية من القياس ، فالتقوم في ضوء كونه عملية إصدار أحكام واتخاذ قرارات عملية قد تتطلب استخدام أدوات القياس أو عدم استخدامها ، وفي كلتا الحالتين يتضمن إصدار أحكام قيمة . وتتفق رمزية الغريب مع الشق الأول من رأى جرونلاند في أن التقوم يعتبر أعم من القياس وأن القياس يعتبر أحد وسائله وأدواته ، ولكنها تختلف مع جرونلاند فيما يتعلق بإمكانية استخدام التقوم للقياس أو عدم استخدامه ، إذ ترى أن التقوم لا يمكن أن يستغنى عن استخدام القياس في أى صورة من صورته . وتدلل على رأيها في كونه التقوم أعم من القياس في أن التقوم يقترن بالأهداف الواسعة نسبياً والتي كثيراً ما تتسع حتى تشمل نظاماً تعليمياً بأسره ، أو تقوم نوع معين من التربية أو تقوم شخصية المعلم أو التلميذ (٤) .

ويحدد مونرو Monroe الفرق بين التقوم والقياس في أن القياس يكون الاهتمام فيه موجها لنواح معينة هي تحصيل المادة أو المهارات أو القدرات الخاصة . ولكن التقوم يوجه الاهتمام الى التغيرات المريضة في الشخصية .
كما يقرر بيرر Beyrer ، أوبرتوفيل Oberteufel أن القياس يركز على المهارات أو المعرفة في الوقت الذي قيس فيه ، أما التقوم فهو عملية مستمرة تهدف إلى الحكم على مقدار التغير لفترة زمنية محددة (١٤) .
ويتضح مما سبق أن هناك شبه اجماع على أن التقوم أعم وأشمل من القياس ، وأن القياس عبارة عن احدى الأدوات التي يستخدمها التقوم في تقدير ووزن وإصدار الأحكام على الظواهر والأفراد والموضوعات والأحداث .

١ - ٢ أهمية التقوم والقياس في مجال الميكانيكا الحيوية .

أن استخدام وسائل التقوم وبالذات الاختبارات والمقاييس تعد أحد الدعائم الرئيسية التي يرتكز عليها علم الميكانيكا الحيوية في إرساء قواعده كعلم حيث يقول هوخموث Hochmuth في هذا الصدد «أن تقدم الميكانيكا الحيوية اعتمد اعتماداً كبيراً على مستوى التطور الذي طرأ على وسائل التقوم والقياس والتي اعتمدت بدورها على مستوى التقدم العلمي والفني بصفة عامة» (٣) .
كما يرجع الفضل في ارتفاع المستوى العلمي الحادث في مجال الميكانيكا الحيوية الى التطور المستمر لأجهزة التصوير السينمائي وأجهزة قياس القوى وامكانية استخدامها كوسائل لتقوم حركة الانسان .
ولقد بلغت أهمية التقوم والقياس في مجال الميكانيكا الحيوية حتى أصبحت عاملاً مؤثراً للنجاح في إجراء الأبحاث على الحركات التي تتم في مناطق بعيدة بواسطة جهاز تسجيل القوى باستخدام أجهزة القياس بالأبراق اللاسلكي Radiotelemetric مما أدى الى اكتشاف معلومات جديدة والتنبؤ بتقدم المعلومات عن الميكانيكا الحيوية بصورة سوف تفوق ما عليه الآن .

١ - ٣ طرق ووسائل التقوم في مجال الميكانيكا الحيوية .

علم الميكانيكا الحيوية هو العلم الذي يبحث في الأداء الحركي للانسان والحيوان ويدرس فيه الحركة التي يقوم بها ، ويسعى هذا العلم في الميدان الرياضي الى دراسة المنحنى الخصائص للمسار الحركي للحركة الرياضية سعياً وراء تحسين التكنيك

الرياضي وذلك بهدف تصحيحه وتطويره وفقاً لحدث النظريات العلمية للتدريب الرياضي. لذا يلجأ العاملون في مجال الميكانيكا الحيوية للحركات الرياضية إلى استخدام طرق ووسائل التقويم المناسبة لدراسة الحركات الميكانيكية التي يأتي بها الإنسان أو الحيوان مع مراعاة خصائص تلك الحركات وشروط أجهزتها الحركية التي تعتمد على العوامل البيولوجية للأعضاء من الناحية الوظيفية.

وبالرغم من أن الاتجاه الحديث للتقويم في مجال الميكانيكا الحيوية ينحوي نحو التقويم الموضوعي إلا أنه في بعض الأحيان عندما يتعلق الأمر بتقويم الحركات الرياضية بطريقة سريعة وهدف ترتيب اللاعبين كما يحدث في بطولات الجعبار ، والتمرينات الفنية والغطس والباله والرقص والعروض الرياضية يلجأ المتخصصون إلى استخدام طريقة التقويم الذاتي والتي يتم حبكها بشروط وتعليمات دقيقة بهدف رفع موضوعيتها.

ويرتبط التقويم الذاتي في مجال الميكانيكا الحيوية بطريقة المحلفين بينما يرتبط التقويم الموضوعي بطريقة التحليل الحركي.

• طريقة المحلفين .

تتلخص هذه الطريقة في تعيين عدد من المحلفين أو الخبراء أو الحكام يؤخذ رأي كل منهم في مستوى الأداء الحركي للمهارة المراد تقويمها وفق محددات وتعليمات وإرشادات قانون اللعبة وتجمع درجات المحلفين وتقسّم على عددهم والمتوسط الناتج يعتبر درجة تقويم مستوى الأداء الحركي للمهارة .

ويحدد عدد المحلفين وفق تعليمات وإرشادات القانون الدولي للنشاط الرياضي التابع له المهارة المراد تقويمها ففي الجعبار على سبيل المثال نجد أن طريقة المحلفين المستخدمة في الحكم على مستوى أداء اللاعبين تتلخص في تعيين خمسة حكام من قائمة الحكام المعتمدين بالاتحاد المصري للجعبار على كل جهاز وتختار اللجنة الفنية أحدهم بالأسم رئيساً على الحكام الأربعة الآخرين الذين يعبر كل منهم عن رأيه في الأداء الحركي للاعب الجعبار بالدرجات التي تتراوح بين صفر ، ١٠ درجات حيث يتم حذف أعلى درجة وأقل درجة ويؤخذ متوسط الدرجتين المتوسطتين حيث يعبر هذا المتوسط عن الدرجة النهائية التي حصل عليها اللاعب ويبنى رأي الحكام الأربعة حسب تعليمات وإرشادات القانون الدولي للجعبار .

• طريقة التحليل الحركي

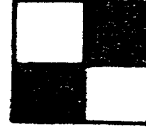
أن الارتقاء بالتدريب والتدريس الى المستويات العالية لم يسمح أن يترك للمدرب أو المدرس الحكم على صحة الحركة بالتقدير العام مهما كانت قدرته لأن النظر لا يمكنه إستيعاب الأداء الحركي الذي يقل زمنه عن $\frac{1}{4}$ من الثانية لذلك يحتاج الأمر إلى تسجيل الحركة بالتصوير السينمائي أو قياس القوى كدالة بالنسبة للزمن لا مكان دراسة المتغيرات المظهرية من حيث التقدير البياني للمتغيرات الحركية حتى يمكن التعرف على المقادير المختلفة للقوة التي يبني عليها حقيقة الأداء ويستخدم لتحقيق ذلك عدة وسائل منها مايلي :-

- ١ - القياس اللحظي بواسطة الخلايا الضوئية Electronic Stroboscopic .
 - ٢ - جهاز ضبط الزمن Cronograph .
 - ٣ - التصوير بالأثر الضوئي Chronophotography .
 - ٤ - تصوير النبضات الضوئية (فوتوجرافيا) Cyclogrametry .
 - ٥ - جهاز تسجيل السرعة Speedograph .
 - ٦ - التصوير السينمائي Cinematography .
 - ٧ - التصوير الدائري Chrono cyclography .
 - ٨ - منصة قياس القوى Force Platforme .
- ونظرا لانتشار استخدام الوسائل (٦ ، ٧ ، ٨) في بحث ودراسة الحركة الرياضية سوف نتناولها بالشرح التفصيلي فيما يلي :-

٦ - التصوير السينمائي .

تطور في الأعوام الأخيرة التصوير السينمائي في المجال العلمي باستخدام أداة التصوير السينمائية ذات الدقة العالية في السرعات بالإضافة الى التطور الكبير الذي طرأ على وسائل التحميف وقد استفاد العمل العلمي من هذا التطور وخاصة في ميدان الميكانيكا الحيوية حيث أصبح من المستطاع استخدام آلات التصوير السينمائي في تصوير اعداد كبيرة من الصور السينمائية في وحدات زمنية صغيرة ، بحيث أصبحت المسافة بين وضع الجسم من صورة الى أخرى متناهية في الصغر (ds) ، وكذا الفترة الزمنية لحدوث هذه الحركة للجسم أصبحت أيضا متناهية في الصغر (dt) (٣٠) .

- إجراءات تنظيم عملية التصوير السينمائي .
- تتطلب اجراءات تنظيم عملية التصوير السينمائي ما يلي :-
- أولاً - الأجهزة والمعدات .
- ١ - كاميرة تصوير سينمائية ٨ مم أو، ١٦ مم ذات سرعات متعددة وتعمل بمصدر كهربائي .
- ٢ - حامل ثلاثي للكاميرة التصوير .
- ٣ - أفلام خام ذات حساسية مناسبة لنوع ومكان ووقت التصوير .
- ٤ - علامات أرشادية ضابطة تحدد خلفية الصور كما في شكل (١) .



شكل (١)
العلامات الارشادية الضابطة

- عارضة قياس مقسمة بدقة لتحديد مقياس الرسم عند تحليل الصور كما في شكل (٢) .



شكل (٢)

عارضة تحديد مقياس الرسم

- ٦ - شريط قياس صلب لتحديد أبعاد التصوير .
- ٧ - خيط في نهاية مسبار يثبت أسفل حامل الكاميرا .
- ٨ - ميزان مائي .
- ٩ - مثلث كبير لرسم الخطوط المتعامدة .
- ١٠ - شريط من البلاستر اللزج (ألوان) لتعليم مراكز مفصل الجسم .
- ١١ - مقص .
- ١٢ - جهاز قياس شدة الإضاءة لتحديد فتحة العدسة المناسبة لسرعة التردد المستخدمة في الكاميرا في حالة عدم وجود هذا الجهاز بالكاميرا .
- ١٣ - ساعة اليكترونية كبيرة (ب.ب. ١٠٠٠ ، ١٠٠ ، ١٠ من الثانية) توضع في مجال التصوير - يرجع إليها في حساب الزمن في حالة عدم معايرة الكاميرا .
- ١٤ - لوحات مرقمة لتحديد ترتيب المحاولات أثناء التصوير .
- ١٥ - الأدوات أو الأجهزة الخاصة بالمسابقة الرياضية المقرر تصوير اللاعبين خلال أدائها .
- ١٦ - عدد ٤ مصادر اضاءة قوة كل منها ١٠٠٠ KW لا استخدامها في حالة اجراء التصوير داخل صالات التدريب .
- ١٧ - ستارة من القماش الأسود على شكل مربع طول ضلعه ٤ متر لاستخدامها كخلفية عند التصوير .

ثانيا - اعداد مكان التصوير .

يتم اعداد مكان التصوير وفق الخطوات التالية :-

- ١ - تحديد المجال الذي سيتم فيه التصوير ومكان الهدف المراد تصويره سواء كان على الأرض أو على جهاز (مثل جهاز المتوازيين أو العقلة أو الحصان ... الخ) .

- ٢ - توضع الستارة السوداء (الخلفية) خلف الغرض المراد تصويره بحيث يكون الغرض في منتصفها مع ملاحظة تثبيتها .
- ٣ - توضع العلامات الإرشادية الضابطة في خلفية مجال التصوير وفي مجال الحركة بالضبط .
- ٤ - توزيع مصادر الاضاء على أركان مجال التصوير في حالة ما اذا تم التصوير في صالة مغلقة .
- ٥ - التأكد من عدم وجود أى إنحرافات في مكان التصوير ويتم ذلك باستخدام الميزان المالى .

ثالثا - اعداد وضع كاميرة التصوير .

- ١ - تأكد من أن الكاميرا تعمل .
- ٢ - تأكد من أن الكاميرا قد ضبطت على السرعة المطلوب استخدامها في التصوير بعد معايرتها .
- ٣ - ضع الفيلم في الكاميرا وتأكد من وضعه الصحيح فيها وذلك بتشغيلها لمدة ثانية أو ثانيتين .
- ٤ - ضع الكاميرا على حامل التصوير الثلاثى .
- ٥ - تأكد من عدم وجود أى انحراف أو تغيير في مستوى كاميرة التصوير وذلك باستخدام الميزان المالى .
- ٦ - تأكد من أن المحور البصرى المار من بؤرة عدسة الكاميرة عموديا على المستوى الفراغى لمسار الحركة للغرض المرصود وأن ارتفاع عدسة التصوير في مستوى الغرض المرصود فاذا كان الغرض المرصود هو الشخص فيجب أن تكون عدسة الكاميرا في مستوى حوض الشخص وعمودية على منتصف المسافة بين مفصلى الفخذين بينما تكون عدسة الكاميرة في مستوى ارتفاع الجهاز الذى يتم عليه أداء المهارة وعمودية على نقطة اتصال اللاعب بالجهاز (نقطة التعلق أ ، الارتكاز) من أحد الجانبين إذا كان التصوير سوف يتم على المحور الأفقى ، وتحقق بقياس المسافة بين عدسة الكاميرا والأرض بنحيط أو بالشريط ومطابقتها بارتفاع الجهاز .
- ٧ - في حالة تصوير الحركة على المحور الرأسى تتبع ما جاء في البند (٦٣) مع ملاحظة أن تكون الكاميرا عمودية على المستوى الأفقى بمعنى أن يكون المحور الرأسى لعدسة الكاميرا مواز للمحور الرأسى لمسار الحركة .

٨ - في حالة تصوير المسار حول المحورين الرأسى والأفقى ننفذ ما جاء في البندين (٧٠٦) مع ملاحظة .
اجراء تشغيل الكاميرتين في تزامن واحد بمعنى التحكم في تشغيل الكاميرتين بمصدر كهربائى واحد .

٩ - لضمان عدم حدوث إنحراف أو تغيير عند إعادة الصورة مرة أخرى بعد تصويرها، يجب إلى جانب جعل المحور البصرى للكاميرة التصوير عموديا على مستوى الحركة أن تكون زاوية الصورة متناهية في الصغر عن طريق التصوير من مسافات كبيرة باستخدام عدسات مقربة بالاضافة إلى جعل الزاوية دائما قائمة تقريبا .

ثالثا - تجهيز اللاعب للتصوير

١ - يجب أن يرتدى اللاعب الملابس الرياضية المستخدمة بحيث تكون ملتصقة بالجسم تماما أو أن يتحرر من ملابسه، فيما عدا لباس بحر أو شورت قصير مناسب .
٢ - يراعى ان يكون هناك تباين بين لون الملابس الرياضية التى يرتديها اللاعب وبين لون خلفية التصوير فاذا كانت خلفية التصوير سوداء يفضل ان يكون لون ملابس اللاعب بيضاء والعكس صحيح. كما يجب ان يتحقق هذا التباين فى اللون أيضا بين الجهاز او الأداة وكل من الملابس والخلفية وذلك لتسهيل عملية نقل النموذج التخطيطى للاوضاع التى يمر بها اللاعب خلال المسار الحركى والتى سوف تحدد كنقاط للدراسة فيما بعد .

٣ - توضع علامات واضحة على شكل (X) أو نقطة كبيرة (•) على النقاط التشريحية لمفاصل جسم اللاعب المواجهة لعدسة التصوير ويتحقق ذلك يلصق شريط من البلاستيك اللزج بأحدى الشكلين السابق تحديدهما على النقاط التشريحية للمفاصل بحيث يكون طول الشريط الملتصق من ١ : ١٥ سم كما يراعى أن أماكن النقاط التشريحية لمفاصل الجسم تحدد كما يلى :-

- توجد النقطة المثلة لمسقط مركز ثقل الرأس فوق الحافة العليا الوحشية للفتحة السمعية .
- مركز مفصل الكتف تمثله نقطة على النتؤ الأخر ومى لعظم اللوح .
- مسقط مفصل المرفق تمثله نقطة فوق العقدة الوحشية لعظم العضد Lateral epicondyle .

- مسقط مركز مفصل رسغ اليد تمثله نقطة على نتوء عظم الكعبرة Processus styloideus .

- مسقط مركز مفصل الفخذ تمثله نقطة على المدور الكبير لرأس عظم الفخذ .
- مسقط مركز مفصل الركبة تمثله نقطة أعلى العقدة الوحشية لنهاية عظم الفخذ من أسفل .

- مسقط مركز مفصل رسغ القدم تمثله نقطة على الكعب الوحشى لعظم الشظية .

وفي حالة تصوير الحركات ذات المدى الواسع فإنه يجرى إستبدال العلامات الصغيرة للبلاستر اللزج يوضع أشرطة من البلاستر تحيط بالوصلات عند مستوى مركز ثقلها .

- يجب مراعاة عند تصوير الحركات الرياضية التى تستخدم فيها أداة (جلة ، رفع انقال ... الخ) ان تضاف علامة تحدد مركز ثقل هذه الأداة .

رابعاً - إجراء عملية التصوير

بعد الانتهاء من الاجراءات السابقة فى البنود أولاً ، ثانياً ، ثالثاً ، يتم التصوير وتسجيل جميع البيانات المتعلقة بكل محاولة فى الاستمارة الخاصة بها الموضحة فيما يلى :-

استمارة تسجيل بيانات التصوير

الهدف التاريخ
الدارس الحركة
زمن البداية الزمن الكلى
زمن العرض العدسة الحاجز/البورى
حالة الاضاءة
فنية الاضاءة (النوع والعدد)
الخلفية
علامات الرجوع
المطابقة

----- معايرة سرعة آلة التصوير -----
----- ارتفاع آلة التصوير ----- بعد آلة التصوير عن الهدف -----
----- مقياس الفيلم -----
----- الموضوعات (العدد، علامات المفاصل، ... الخ) -----

----- تكرار الفيلم (الهيكل، أمر التصوير، ... الخ) -----

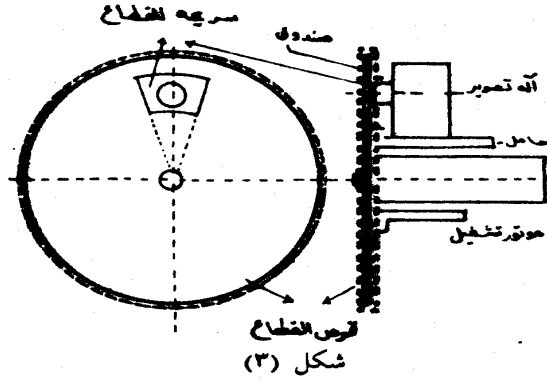
----- التعليق -----

٧ - التصوير الدائري chrono cyclography .

يشير كل من ريشير Richer (١٩٧٤)، هوخموث Hochmuth (١٩٧٤)،
بتروف Petrov (١٩٦٧) إلى ارتباط تحليل وتقويم سلسلة الصور المتتابعة المأخوذة
من النموذج التخطيطي باستخدام التصوير السينمائي (مجموعة التصوير اللحظي
المتسلسل) من خلال النموذج التخطيطي القياسي للحركة (الكينوجرام) بالعديد
من أخطاء الضبط والتوجيه عند رسم ورصد كل صورة على حدة، والتي يؤدي
تجميعها التراكمي إلى التأثير على الدقة القياسية لمنحنى علاقة (المسافة - الزمن)،
بالإضافة إلى تطلب ذلك الكثير من الوقت والجهد سواء في تجهيز الكينوجرام أو في
الحصول على المعطيات والنتائج منه. في حين نجد أن التحليل والتقويم في حالة
التصوير الدائري لا يستدعي ذلك سوى دراسة صورة كلية واحدة تتزامن فيها بدقة
مجموعة من اللقطات أو النقاط الضوئية المسجلة لمراحل الحركة المرصودة والتي يؤدي
بمجرد استعراضها إلى مدنا بمعلومات فورية سريعة عن طبيعة المسار الحركي للأداء
موضوع الدراسة (نفرديديف Nefredf ١٩٧٢، دونسكوي Donskoy ١٩٧١
وغيرهم (٢) .

ويرى هوخموث أنه بالرغم من أن مساوئ التصوير السينمائي يمكن تلافيها في
التصوير الدائري إلا أن الأخير يعيبه ضرورة وجود خلفية معتمدة إلى جانب ضرورة
ظهور الهدف المرصود بصورة مضادة تماما - أبيض بقدر الامكان - بالإضافة إلى أن

هذا الأسلوب لا يكون قابلاً للاستخدام إذا كان اللاعب لا يغير موضعه في الحركة كما يحدث في الدوران حول المحور الطول للجسم ويعتمد التصوير الدائري على أساس أن حركة أى جسم من الأجسام يمكن تصويرها في فترات زمنية يثبت بعدها عن بعض (dt) لعدة أوضاع متغيرة في صورة واحدة على الفيلم الأصلي عن طريق الإضاءة والتصوير على فترات زمنية قصيرة، ويحصل الفرد على هذا باستخدام آلة تصوير عادية يدور أمام عدستها الشبكية قرص دائري ذو ثقب يدور على محور يتردد شكل (٣) .



رسم تخطيطي لجهاز التصوير الدائري
(عن هوخموث)

وبهذا الأسلوب يحصل الفرد على صورة تعبر بدقة عن الشكل الايضاحي للغرض المصور .
ويلاحظ انه في حالة ما اذا كان ثقب القرص الدائري الحركة على شكل قطاع دائري، فإن زمن التصوير t_B يمكن معرفته باستخدام المعادلة التالية :-

$$t_B = \frac{\Phi}{360} \cdot \frac{1}{r} \text{ (sec) } \dots (1)$$

حيث Φ = زاوية القطاع بالدرجة في الثانية .

$$V = \frac{1}{\text{التردد في الثانية}}$$

ويتوقف زمن التصوير على كل من زاوية القطاع والتردد، ومن المناسب في هذه الحالة صنع هذا القرص بطريقة يمكن معها تغيير زاوية القطاع، وهكذا يستطيع الفرد ان يغير من ضبط زمن الصورة عند تغير التردد بما يتفق وما تتطلبه ظروف الإضاءة وسرعة الحركة .

فمثلا عندما تبلغ سرعة الحركة (١٥ م/ث) أو ما يزيد على ذلك، يكون من الضروري للحصول على صورة واضحة ودقيقة، ان يختار الشخص dt بحيث تساوى $\frac{1}{25}$ ث أو أقل، وبالإضافة إلى ذلك فإنه وفقا لزمن التصوير الذي تم اختياره، الإضاءة وحساسية الفيلم يكون لزامنا علينا تحديد شدة الإضاءة، والتأكد من ضبط العدسة على الرقم المبين بدقة تامة .

وهكذا فإن خلال الوقت الذي يحجب فيه القطاع الكامل عدسة التصوير، لا يمر أى إشعاعات ضوئية جانبية، وفي هذه الحالة يجب علينا وضع خلية معتمدة لا تسمح بتسرب الضوء حول عدسة القطاع انظر شكل (٣) .

وعند مركز المحور البصرى لآلة التصوير يكون لهذا الصندوق المعتم وعند كل من جانبيه فتحة دائرية يعتمد قطرها على زاوية العدسة، كما يجب وضع حاجز عند الفتحة الخلفية لهذا الصندوق المعتم بشكل يجعل العدسة الشبكية لا تسمح بمرور أى ضوء عند غلقها، بينما يسمح بإزاحتها في اتجاه محورها لاحكام ضبط المسافة . وفي حالة تثبيت آلة التصوير على مسار حركة معينة وفتحها بمقدار معين يصور الهدف المتحرك على الفيلم الخام من خلال القطاع الحر المختار التي تدور فيه العدسة الدائرية وذلك عند جعل الخلفية غير مرتبطة بالشئ المصور، ووفقا للتفاضل الزمنى dt ، يتم تكرار عملية التصوير هذه، حيث يكون الجسم المصور قد قام في هذا الزمن يقطع مسافة تفاضلية معينة يرمز لها بالرمز (ds) أثناء حركته المستمرة، لذلك فإن هذا الاسلوب يبين بناءً على الفارق الحقيقى في المسافة بالنسبة لبعده عن وضع الصورة السابقة أمراً نسبياً دقيقاً مأخوذاً من واقع الفيلم . وتوضع هذه العلاقة النسبية موضع الاعتبار حيث يمكن عن طريقه حساب السرعة وفقا للمعادلة التالية :

$$V = \frac{ds}{dt} \quad (m/sec) \quad (2)$$

وفي حالة تعدد وتغير أشكال الحركة الرياضية بشكل لا يحدث فيه حجب صورة لأخرى أمام العدسة الشبكية يصبح من الممكن أجراء عملية ضبط العنصر

الزمنى dt عن طريق تغيير عدد القطاعات بالقرص (١ ، ٢ ، ٣ قطاع) بالإضافة إلى تغير التردد .

وعن طريق معرفة بعد الهدف المصور وبالتقدير المبدئى المنتظر لسرعة الحركة يمكن معرفة العنصر الزمنى الصحيح باستخدام المعادلة التالية :

$$dt = \frac{ds_B}{V_p} \quad (sec) \dots (3)$$

حيث أن ds_B = بعد الهدف المصور في اتجاه الحركة مضاف إلى قيمته كمية تعوض الفارق المطلوب إيجادها بين كل صورتين .
 V_p = سرعة الحركة .

وفي هذه الحالة لحساب تردد التصوير تستخدم المعادلة التالية :

$$V = \frac{1}{dt} = \frac{V_p}{ds_B}$$

ويلاحظ أنه لا يمكن استخدام طريقة الحساب هذه الا عندما تكون الحركة الانتقالية في خط مستقيم .

اما في حالة الحركات المعقدة - حركات انتقالية مركبة ، حركات دورانية تتميز بحركات اضافية لأجزاء الجسم في معظم الاحوال - فن الضرورى بالإضافة لذلك تجربة ما اذا كانت dt لها قيمة حقيقة أم لا (٢ ، ٣) .

٨ - منصة قياس القوى

تعددت أنواع أجهزة تسجيل القوى وفق طبيعة الأداء الحركى غير أنها تعتمد في تصميمها على أساسين :

- ١ - الأساس الميكانيكى .
- ٢ - الأساس الكهبرى .

ويشير هوخموث إلى أن أجهزة تسجيل القوى المبنية على أساس ميكانيكى يعيبها ما لها من قصوراً ذاتياً كبيراً نسبياً مما يؤثر على القراءات ويمكن الاعتماد على نتائجها في الاستفاد بها في حالات اجراء الابحاث الأولية ويعنى بذلك بعض الأجهزة المبسطة المعروفة عن إيلاكوف وجندلاخ ، ماير ، يور ، واتنى لأرى أنه في الامكان التغلب على القصور الذاتى عند تصميم مثل هذه الأجهزة وفي هذه الحالة تصبح النتائج

المسجلة عن طريق هذه الاجهزة دقيقة ويمكن الاعتماد عليها في حل المشكلات الحركية المتعلقة بالتكنيك الرياضى ، على هذا الأساس فقد قام المؤلف بتصميم جهاز لقياس محصلة القوى المؤثرة على مركز ثقل الجسم في اتجاه المركبتين X ، Y خلال أداء حركات الجمباز على اجهزة المتوازيين ، العقلة والعارضتين المختلفتا الارتفاع للبنات .

ويتميز هذا الجهاز بالاضافة الى دقة قياساته إمكانية تصنيعه محليا وقلة تكاليفه وسهولة استخدامه .

جهاز تسجيل القوى للمؤلف

يتكون الجهاز من الوحدات التالية :

أولا - وحدة ناقل الحركة .

ثانيا - وحدة المسجل .

أولا - وحدة ناقل الحركة

يتكون من الأجزاء (١) ، (٢) ، (٣) التالية :-

١ - الجزء رقم (١)

يتكون من مستطيل من قضبان الحديد الصلب طوله (٨٠ سم) وعرضه ١٥ سم) - نصف قطر القضيب ($\frac{1}{4}$ بوصة) - تم تثبيته في قاعدة المسجل (١) .

٢ - الجزء رقم (٢)

ثبت في القضيب رقم (١) من المستطيل (١) وصلة من حديد الزهر حرة الحركة على القضيب رقم (١) ويخرج من هذه الوصلة قضبان من الحديد الصلب - نصف قطر كل منها ($\frac{1}{4}$ بوصة) - الأول طوله (٣٠ سم) وعمودى على القضيب رقم (١) وتنتهى بوصلة إسطوانية تثبت في طرفها العلوى بكرة من الحديد الزهر حرة الحركة وقد روى التحكم في إرتفاع القضيب الأول عن طريق مسمار قلاووظ ثبت في الوصلة المتصلة بالقضيب رقم (١) في المستطيل (١) أما القضيب الثانى فطوله (٤٠ سم) ويكون موازى للقضيب رقم (١) في المستطيل (١) وثبت في نهاية وصلة ثبت في طرفيها بكرتان حرتان الحركة ويمكن التحكم في القضيب الثانى بمسمار قلاووظ ثبت في الوصلة المثبتة في القضيب رقم (١) في المستطيل (١) كما يمكن التحكم في الوصلة المثبتة في المستطيل الثانى بمسمار قلاووظ ثبت بها .

٣- الجزء رقم (٣)

ثبت في القضيب رقم (١) من المستطيل (١) وصلة من حديد الزهر حرة الحركة على القضيب رقم (١) ويخرج منها قضيب من الحديد الصلب ثبت في نهايته بكرتان من الحديد الزهر حرتان الحركة ويمكن التحكم في هذا القضيب بمسار قلاووظ مثبت في الوصلة كما يمكن التحكم في حركة الوصلة بمسار تحكم مثبت أيضا في الوصلة كما مبين في الشكل (٤).

ثانيا - المسجل (الكائب)

يتكون المسجل من الاجزاء التالية :-

١- الجزء رقم (١)

يتكون من قاعدة خشبية على شكل مستطيل طوله (٦٠ سم) وعرضه (٥٠ سم) ثبت في أطرافه الأربعة من أسفل أربعة قواعد يمكن التحكم في طول كل منها عن طريق « رجلاش » خاص بكل منها كما ثبت بجوار كل من القواعد الأربعة أربعة عجلات من الكاوتشوك لتسهيل نقل الجهاز .

٢- الجزء رقم (٢)

ثبت في أحد طرفي الجانب (١) من القاعدة الخشبية موتور كهربائي يخرج منه قضيب ثبت في نهايته بكرة وفي الطرف الآخر من الجانب (١) ثبت صندوق من الحديد الصلب وضعت به تروس تغيير السرعات متصلة بقضيب متصل في نهايته ببكرة متصلة ببكرة المحرك الكهربائي عن طريق سير من الجلد كما زود صندوق التروس بالذراع (م) يتحكم في تغيير السرعات كما روعى خروج الطرف الثاني (و) للقضيب المتصل بالتروس من صندوق التروس لوصلة بإسطوانة المسجل .

٣- الجزء رقم (٣)

يتكون من إسطوانة من الحديد الزهر طولها (٣٠ سم) وقطرها (١٩ سم) ثبت في وضع أفقي في الجزء (ص) المثبت في القاعدة الخشبية للجهاز بحيث يتصل إحدى طرفيها بالطرف (و) لقضيب التروس والطرف الآخر في قضيب ثبت في الجزء (ص) بحيث يجريه دوران الإسطوانة - مع عقرب الساعة او عكسه - كما ثبت في كل من جداري الجزء (ص) بروز صمم أحدهما بحيث يسمح بتركيب الورق ثم وضع بين بكرة الورق والإسطوانة قضيب من الصلب لضمان تحرك الورق في الاتجاه المطلوب أثناء دوران إسطوانة المسجل .

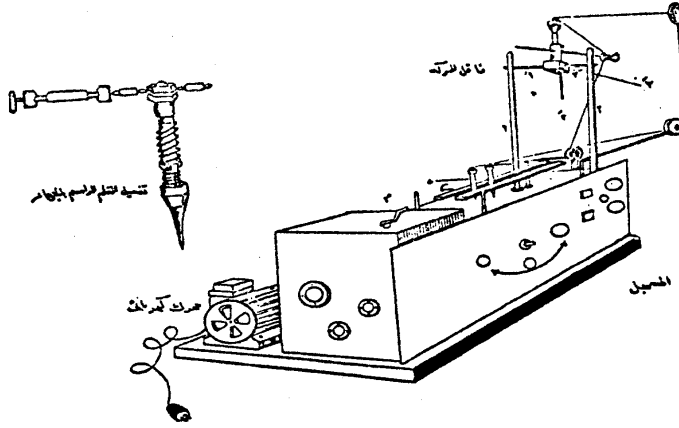
٤ - الجزء رقم (٤)

يتكون من قضيبان من النحاس مثبتان على أربع أعمدة متصل بكل عمود وصلة بها « رجلاش » يسمح برفع وخفض القضيبان وثبتت الأعمدة الأربعة في الجزء (ص) ثم ثبت في نهاية كل قضيب بكرة من النحاس حرة الحركة وفي الطرف الآخر ثبت مساربه ثقب كما شق في كل من القضيبين فتحة تسمح بدخول مثبت قلم التدوين .

٥ - الجزء رقم (٥)

يتكون من مثبتا قلمي التدوين، وكل منها عبارة عن إسطوانة من النحاس (١) داخلية في ياي من الحديد الصلب تنتهي في كل من طرفيها بضامولة رابطة، وتتصل هذه الاسطوانة بإسطوانة أخرى (٢) من النحاس أيضا مرتبطة على قضيب وحرة الحركة، ومثبت في كل من طرفيها مساربه ثقب كما في شكل (٤) .

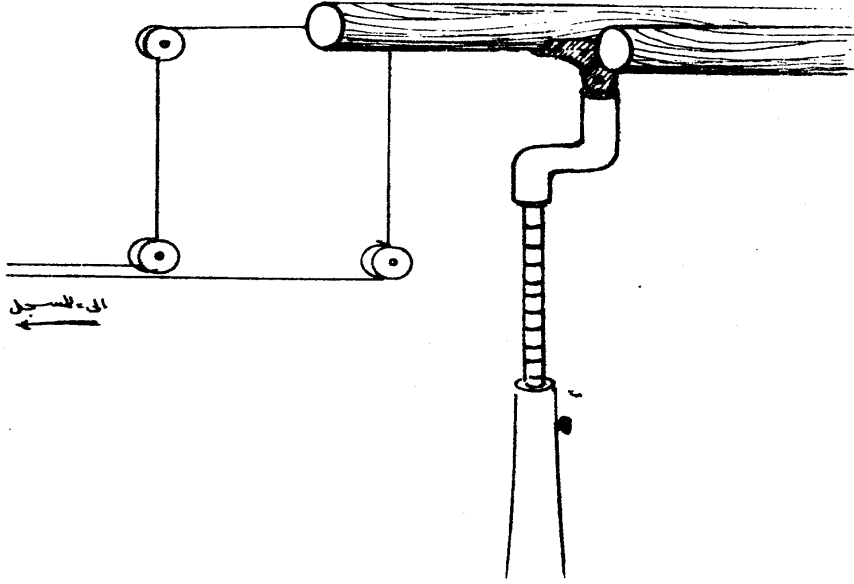
جهاز للتدوين



شكل (٤)

رسم تخطيطي لجهاز تسجيل القوى للمؤلف

إجراءات لقياس بجهاز تسجيل القوى للمؤلف .
 ١ - يوصل الجهاز بأحدى عارضتى المتوازيين وذلك عن طريق تثبيت طرف الحيط النايلون فى مصدر الحركة الأفقية لعارضة المتوازيين - منتصف المستوى الرأس لعارضة المتوازيين - كما فى شكل (٥) .
 وتثبت طرف الحيط النايلون فى مصدر الحركة الرأسية لعارضة المتوازيين - منتصف المستوى الأفقى لعارضة المتوازيين وعلى استقامة النقطة المثبت فيها طرف الحيط الأول - . كما فى شكل (٥)



شكل (٥)
 صورة لتركيب جهاز تسجيل القوى للمؤلف على عارضة المتوازيين

٢- حساب المعامل الاستبدال على كل من المحورين الرأسى والافقى :-
يتم تعيين الزمن الذى يتم فيه التسجيل دورة واحدة ، وبمعلومية قيمة محيط
اسطوانه التسجيل يمكن تعيين الزمن اللازم لكى تدور فيه اسطوانه التسجيل ١
مم (Kt) باستخدام المعادلة التالية :-

$$V_{ec.} = \frac{dx}{dt} = \frac{13.6}{15} = 90.067 \text{ mm/sec} \dots (5)$$

ومن ذلك يمكن استنتاج أن الزمن اللازم لكى يتم فيه دوران إسطوانه التسجيل

$$K_t = \frac{dt}{dx} = 0.011 \text{ sec} \quad \text{١ مم (Kt) هو:}$$

وبمعلومية Kt يتم حساب الزمن المستغرق خلال الدفع (t) من العلاقة التالية :-

$$t = (K_t \cdot X) \quad (\text{sec}) \quad (6)$$

حيث (X) المسافة المقطوعة على المحور الافقى بالسلم خلال الدفع ، كما يتم معايرة
المحور الرأسى والمحور الأفقى باستخدام أوزان معلومه وكذلك بحساب التغير المقابل على
المحور الرأسى Yg ، المحور الأفقى Xg ، يتم حساب المعامل الاستبدال Kf ، Kf لكل
منها من العلاقة التالية :-

$$K_f = \frac{G}{y_g} (k_g / s^2) \dots (7), \quad \bar{K}_f = \frac{G}{X_g} (k_g / s)^2 \dots (7)$$

حيث Kf = المعامل الاستبدال فى الاتجاه الرأسى .

، \bar{K}_f = المعامل الاستبدال فى الاتجاه الأفقى .

، Yg = المسافة بالمليمتر المقابلة للوزن على المحور الرأسى .

، Xg = المسافة بالمليمتر المقابلة للوزن على المحور الأفقى .

٣- يأخذ اللاعب وضع الارتكاز على جهاز المتوازيين ثم يتم تشغيل الجهاز
لتسجيل مقدار تحميل اللاعب على عارضة المتوازيين حيث تمثل القراءة على ورقه
المسجل الصفر النسبى .

٤- يؤدى اللاعب الحركة المراد دراستها مع تشغيل الجهاز حيث يعبر المنحنى
الخاص بالتدوين - الاحمر - الرأسى عن محصلة القوى المؤثرة على CG خلال مرحلة
اتصال اليدين بعارضة المتوازيين ويلاحظ ضرب القيمة فى العدد (٢) لان القياس
هنا قد تم على عارضة واحدة .

٥ - وباستخدام المعامل الاستبدالي Kf ، المعامل الاستبدالي \bar{Kf} يمكننا الحصول على منحنى محصلة القوى في الاتجاه Y بوحدة كجم م / ث ، منحنى محصلة القوى في الاتجاه X بوحدة كجم م / ث . ومنه يمكن حساب المساحة تحت المنحنى للحصول على منحنى الدفع .

كما يمكن استخدام التصوير السينمائي للحركة وتسجيل القوى في تزامن واحد عن طريق استخدام مصدر كهربائي واحد يتحكم فيه مفتاح تشغيل واحد لتشغيل كاميرة التصوير ، جهاز تسجيل القوى في تزامن واحد مما يتيح فرصة تطابق ربط أى كادر في الفيلم على النقطة المثلثة له على منحنى القوة وبهذه الكيفية يمكن الحصول على المسار الحركي لمركز ثقل الجسم ومنه يتم تحديد ذراع الدوران لامكان حساب دفع الدوران باستخدام المعادلة التالية :

$$M_y = P_y \cdot r_y \quad \dots (8)$$

$$M_x = P_x \cdot r_x \quad (9)$$

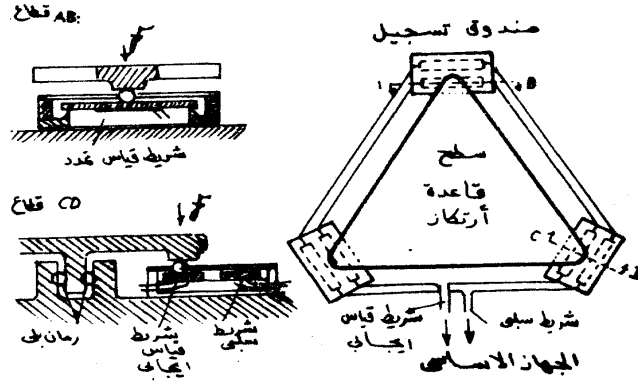
وبمعلومية M_x ، M_y يمكن حساب محصلة دفع الدوران M_z باستخدام المعادلة التالية :-

$$M_z = \sqrt{(M_y)^2 + (M_x)^2}$$

ويضيف هوخموت أن الاجهزة المبنية على اساس كهربي مثل اجهزة القياس بالاستطالة (المحدد) بالرغم من كونها تتميز بالدقة العالية لمعطياتها الا أن التجارب العملية قد دلت أنه بالرغم من تشابه المادة والقياسات الخاصة بأعمدة الصلب ورغم استخدام شرائط قياس متشابهة تماما ، ومضمونة الحساسية من المصنع الذي ينتجها (مجال سماح متشابهة) الا أنها اظهرت اختلافات أيضا مما يتطلب اجراء اختبار أولى لواحد منها قبل استخدامها .

وتعتبر هذه الاجهزة الاوسع انتشارا في مجال بحوث الميكانيكا الحيوية بالرغم من تعقيد تصنيعها وتكاليفها الباهظة .

ويوضح الشكل (٦) جهاز قياس قوى ، يستخدم في قياسات القوى ، في الاتجاه الرأسى على شكل تحيطلى للدالة ، بضغط سطح القاعدة المثلثة التي

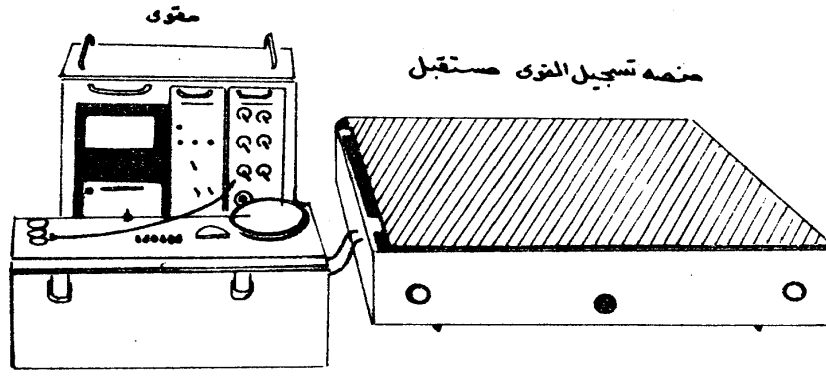


شكل (٦)
رسم تخطيطي لجهاز القوى في الاتجاهين الرأسى والأفقى
(عن هوخموث)

يؤدي عليها اللاعب الوثبة على ثلاثة أماكن مرتكزة على عمود من الصلب قائم على نقطتين حرتي الحركة . وتمثل هذه الأعمدة المصنوعة من الصلب القاعدة المرنة في حقيقة الأمر . ويكون شريط قياس الاستطالة ملصقا على الجانب السفلي لها . وعلى أساس حدوث تحميل يحدث عنه استطالة .

وعن طريق الاستطالة يغير السلك من مقاومته للكهرباء بينما يكون التغير في المقاومة متناسبا تناسباً طردياً مع استطالة المعدن ومن جانب آخر فإن استطالة المعدن في إطار فعالية قانون هوك hock يكون متناسبا تناسباً طردياً مع القوة الخارجية المؤثرة سواء أكان ذلك بسبب الانحراف بالضغط أو بالشد وبذلك يكون تغير المقاومة الكهربائية عبارة عن مقياس لقيمة القوة المسببة للاستطالة والتي يتم استقبالها على مدون يسجلها على شريط ترددي يمكن الحصول عليه فوراً .

كما يوضح الشكل (٧) جهاز تسجيل القوى مربع الشكل لقياس القوى في الاتجاهين الرأسى والأفقى وفي هذا الجهاز يتم العمل بتحميل ناشئ عن الشد فقط على أعمدة الصلب .



كاتب مشريط مستقبل ترددي

شكل (٧)

رسم تخطيطي لجهاز تسجيل القوى في الاتجاهين
الرأسي والأفق يعمل بتحميل ناشئ عن الشد
فقط على أعمدة الصلب (عن هوكموث)

الفصل الثاني

- ٢ - ٠ دراسة الحركة الرياضية .
- ٢ - ١ التحليل الميكانيكي الحيوى للحركات الرياضية .
- ٢ - ٢ مفهوم التحليل البيوميكانيكى .
- ٢ - ٣ التخطيط للتحليل البيوميكانيكى .
- ٢ - ٤ التحليل الكينماتيكى الحيوى للحركات الرياضية .
- ٢ - ٥ التحليل الكينماتيكى الحيوى للحركات الرياضية .
- ٢ - ٦ التحليل الديناميكى الحيوى للحركات الرياضية .



٢ - ٠ دراسة الحركة الرياضية .

أنطلاقاً من المسلمة التي تشير إلى أن الإنسان يعتبر كآلة حية يخضع في حركته للقوانين الطبيعية والميكانيكية تظهر أهمية استغلال الإنسان للقوانين الميكانيكية المؤثرة على أدائه الحركي عند دراسته للحركات الرياضية .

ومما لا شك فيه كما اشارت معظم الدراسات التي تناولت الاداء الحركي أن هذه القوانين الميكانيكية تأتي بثأرها إذا ما نفذت بطريقة يتحقق معها التوافق في الأداء ولكي يتم ذلك لابد من فهم العناصر الميكانيكية المؤثرة في الأداء الحركي وأنها يصلح إستخدامه حتى يمكن الاستفاده منها لتحقيق الواجب الحركي بتوافق تام . ولكي تتمكن من تحديد العناصر الميكانيكية المؤثرة في الأداء الحركي بطريقة علمية يجدر بنا التنوية إلى ضرورة التعرف على أنواع الحركات من وجهة النظر الميكانيكية حيث يتم من خلالها تحديد العناصر الميكانيكية المؤثرة على الأداء الحركي .

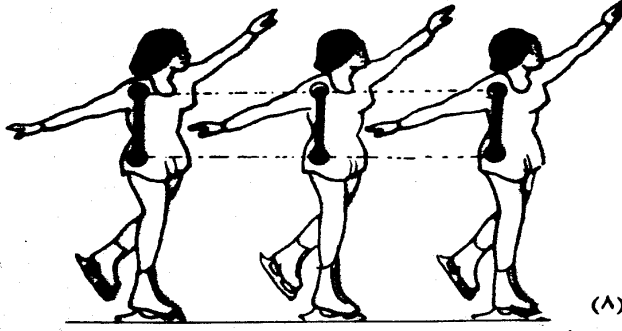
أنواع الحركات Forms of Motion .

تشمل أنواع الحركات من حيث مسارها الهندسي

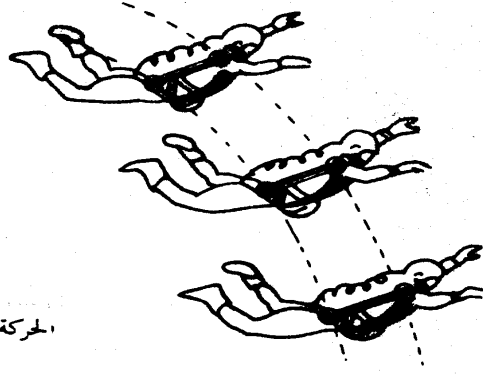
الأنواع التالية :-

١ - الحركة الخطية (الانتقالية) Translation .

وفيها تقطع جميع أجزاء الجسم أو مراكز ثقل الجسم خطوطاً متوازية خلال إنتقاله وتحدث في خط مستقيم أو في خط منحنى وفي هذه الحالة تعرف بالحركة الانتقالية المنحنية كما في شكل (٨) ، شكل (٩) (٣ ، ٥ ، ١٣ ، ١٥ ، ٢٦ ، ٣٠) .



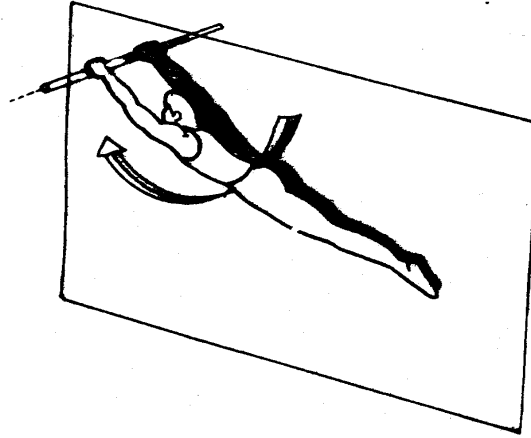
الحركة الانتقالية في خط مستقيم



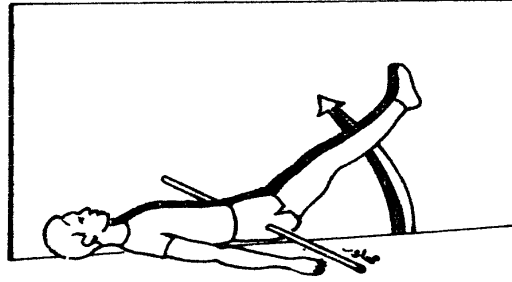
شكل (٩)
الحركة الأنتقالية في خط منحنى

٢ - الحركة الدورانية Rotation .

وترسم فيها أى نقطة من الجسم دائرة أو قوس من دائرة حول محور داخل أو خارج الجسم في نفس الاتجاه وفي نفس اللحظة (٣٥) ، كما في شكل (١٠) ، شكل (١١) .



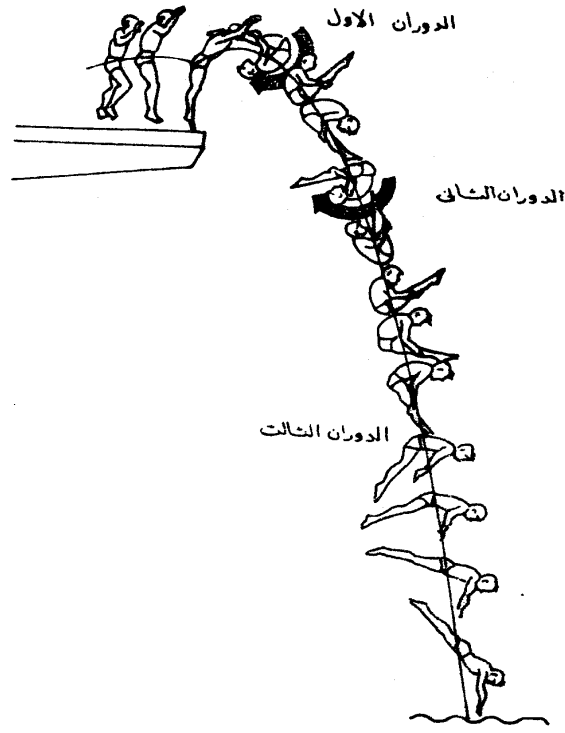
شكل (١٠)
الدوران حول محور ثابت



شكل (١١)
الدوران حول محور متحرك

٣ - الحركة العامة General Motion .

وهي خليط من الحركة الانتقالية والحركة الدورانية حيث تتم فيها الحركة الدائرية حول محور الدوران وفي نفس الوقت ينتقل الجسم وهذا النوع من الحركات شائع حدوثه في النشاط الرياضي خاصة في المهارات التي يدور فيها الجسم حول أحد محاوره وفي نفس الوقت ينتقل الجسم كما يحدث خلال الدورة الهوائية المتكورة المزدوجة على الأرض في الجمباز أو دورتين هوائيتين منحنتين أماميتين في الغطس . شكل (١٢) (٣) .



شكل (١٢)
الحركة العامة

مما سبق يتضح أن الحركة الرياضية تكون إما انتقالية أو دورانية أو عامة ومنها يمكن إستنباط أن تحرك جسم الإنسان في النشاط الرياضي يتم إما عن طريق إتصاله بجسم آخر كالأرض أو الجهاز أو حراً طليقاً في الهواء .
والجسم في الحالة الأولى يتأثر بمواصفات الجسم الذي يتحرك عليه ويؤثر فيه حيث يتحدد نوع وكمية الحركة وبالتالي كيفية الأداء الحركي بمدى تأثير الجسم المتحرك - جسم الانسان - في الجسم المتصل به أو العكس .

أما في الحالة الثانية عندما يصبح الجسم طليقا في الهواء يكون تحت تأثير قوة الجاذبية الأرضية والعوامل الجوية - قوة احتكاك الهواء ، مقاومة الهواء - ويصبح عاجزا عن تغيير مساره الذي إكتسبه خلال لحظة كسر الاتصال حيث يصبح كمقذوف ينطبق عليه قانون المقذوفات ، غير أن جسم الإنسان يتميز بوصفه سلسلة حركية كينماتيكية متعددة الحركة يمكنه خلق الظروف المناسبة التي تجعله قادرا على تغيير سرعات أجزائه خلال تخليقه في الهواء عن طريق تغيير أوضاعها بالنسبة لبعضها البعض مما يؤدي إلى تغيير شكل الجسم الذي يؤدي إلى تمكينه من الدوران حول المحور العرضي أو السهمي أو الطولي للجسم كل على حده أو معاً في وقت واحد لتسهيل الحركات أو ابتكار حركات جديدة أو الإبداع في الأداء .

٢ - ١ التحليل البيوميكانيكي للمهارات الرياضية .

- مفهوم التحليل البيوميكانيكي .

يقصد بلفظ تحليل في المجالات المختلفة للمعرفة الانسانية الوسيلة المنطقية التي يجرى بمقتضاها تناول الظاهرة موضع الدراسة بعد تجزئتها إلى عناصرها الأولية الأساسية المؤلفة لها ، حيث تبحث هذه العناصر الأولية كل على حدة تحقيقاً لفهم أعمق للظاهرة ككل .

وانطلاقاً من هذا المفهوم لمدول « تحليل » يمكن عند دراسة الحركة الانسانية أن يكون التحليل تشريحياً أو فسيولوجياً وكميائياً أو نفسياً أو تربوياً أو ميكانيكياً . وينبغي أن يوضع في الاعتبار أن ورود تجزئية الظاهرة هنا ليست هدف في ذاته وإنما وسيلة لامكان الوصول إلى الإدراك الشمولي للظاهرة ككل - خاصة اذا كانت ظاهرة حركة الكائن البشري - والذي لا يمكن تحقيقه إلا من خلال تجميع الأجزاء والعناصر في وحدة متكاملة .

التحليل البيوميكانيكي .

ينبغي أن تقرر قبل بداية التحليل البيوميكانيكي الهدف منه ، الاتجاه العام والغرض الأساسي له ، فمثلاً إذا إقتصر الواجب الرئيسي للبحث على توصيف شكل الحركة في مسابقة ما ، وعلى التركيب الكينماتيكي لها وجب أن يشمل التحليل الميكانيكي الحيوي على الطرق التي تتيح إمكانية تعيين الخصائص الكينماتيكية لهذه الحركة ، ثم يجرى بعد ذلك تحليل العلاقات الارتباطية بينها والذي يتحقق من خلاله

الوحدة الكلية المتكاملة - النظرة الشمولية - لهذه المهارة الرياضية - بينما يؤدي إقتصار الواجب الرئيسى للبحث على تحديد الأسباب الميكانيكية لهذه المهارة أو تلك ومدى ارتباط ذلك بفاعلية المسابقة الرياضية إلى ضرورة أن يقوم التحليل الميكانيكى الحيوى على إستخدام الطرق الديناميكية للبحث ، حيث تتيح هذه الطرق الديناميكية الحيوية إمكانية تحديد الخصائص الديناميكية الحيوية للمهارة قيد الدراسة .

وبجب التنوية إلى أن التحليل الميكانيكى الحيوى ليس له نسق أو نمط جامد حيث يتعلق إلى حد كبير بظروف إجرائه ، ومدى توافر الأجهزة والمعدات اللازمة له .. الخ ، ورغم ذلك فإنه يمكن إجراء التحليل الميكانيكى الحيوى وفق مخطط نموذجى مقترح يتضمن القواعد الأساسية التى تحدد الطابع العام لعمل الباحث .

نموذج تخطيطى للتحليل الميكانيكى الحيوى للمهارة الرياضية .

أ - تحديد تسمية دقيقة للمهارة الرياضية وفقاً للمصطلحات المتبعة فى المجال الرياضى التخصصى .

ب - وضع هدف أو أهداف محددة للتحليل الميكانيكى الحيوى .

ج - اختيار طرق البحث وأجهزة القياس اللازمة لحل مختلف واجبات الدراسة .

د - الكشف عن الارتباطات والعلاقات الداخلية بين الخصائص المنفردة للمهارة فى حدود الأهداف السابق تحديدها عن طريق استخدام الطرق الاحصائية .

و - صياغة الاستخلاصات المناسبة حول تقوم المهارة الرياضية موضع الدراسة ووضع التوصيات وفقاً لنتائج التحليل الميكانيكى الحيوى السابق اجراؤه .

٢ - ٢ التحليل الكينماتيكي الحيوى للمهارات الرياضية :

يتطلب دراسة الخصائص الكينماتيكية لأى مهارة رياضية تحليل الأداء الحركى لهذه المهارة لتحديد المدلولات الكينماتيكية التالية :

أ - تعيين المسار الحركى لمركز ثقل الجسم ولمراكز ثقل أجزاء الجسم المختلفة خلال أداء المهارة الرياضية .

ب - تعيين المسار الزمنى لأداء المهارة الرياضية .

جـ - تعيين مسار السرعة اللحظية لكل من مراكز ثقل أجزاء الجسم المختلفة ومركز ثقل الجسم خلال المسار الحركي لأداء المهارة الرياضية .
 د - تعيين مسار العجلة اللحظية لكل من مراكز ثقل أجزاء الجسم المختلفة ومركز ثقل الجسم خلال المسار الحركي لأداء المهارة الرياضية .
 هـ - تعيين زاوية انطلاق الجسم لحظة كسر الاتصال خلال المسار الحركي لأداء المهارة الرياضية .
 و - تعيين مسار السرعة الزاوية بالنسبة للزمن لمراكز ثقل كل من جسم ، أجزائه خلال المسار الحركي لأداء المهارة الرياضية .
 ز - تعيين مسار العجلة الزاوية لمراكز ثقل كل من أجزاء الجسم أو الجسم خلال المسار الحركي لأداء المهارة الرياضية .
 ح - حساب زمن الجسم المقذوف - سواء كان جسم الإنسان أو أداة - والمسافة الأفقية خلال مرحلة الطيران .

أ - تعيين المسار الحركي لمراكز ثقل كل من أجزاء الجسم والجسم خلال أداء المهارة الرياضية .

إن تحديد المسار الحركي لمراكز ثقل كل من أجزاء الجسم والجسم خلال أداء المهارة الرياضية يعتبر من أهم متطلبات دراسة الخصائص الكينماتيكية للمهارة الرياضية ولكي تتمكن من الحصول على نتائج الخطوات التالية :

أولاً - تعيين موضع مركز ثقل كل من أجزاء الجسم والجسم .
 لكي يتمكن الفرد من تحديد التغير في موضع كتلة جسم الإنسان بالنسبة للمكان والزمان بطريقة دقيقة لابد من معرفة موضع مركز ثقل كتلة الجسم بالنسبة للأوضاع المختلفة التي يتخذها جسم الإنسان بالإضافة إلى ضرورة معرفة عزم القصور الذاتي للكتلة بالنسبة لمختلف الأوضاع التي يتخذها الجسم في حالة الحركة الدورانية لذا فقد شغلت الرغبة في التوصل إلى معرفة موضع مركز ثقل كتلة جسم الإنسان الباحثين منذ زمن بعيد حيث قام الكثيرون منهم بورللي Borelli (٣) ، موسو Mosso (٣٠) ، Mayer ، وير Weber ، ديمنى Demeny ، ريشير Richer ، هاى كرافت وشين Haycraft and Sheen ، هارلس Harles ، ريشه Riesche ، شايدت Scheidt (٢٦) ، برونه وفيشر Braune and Fischer ، كنول Knoll ،

إيجرز Eggers ، ديوزر Raymond - Bois (٣٠) ، بازلر Basler (٣٦) ، بإجراء وتطوير طرق البحث المختلفة لمعرفة ذلك ويمكن تقسيم هذه الطرق إلى مايلي : -

١ - الطريقة المباشرة (باستخدام الجسم كوحدة واحدة) .

٢ - الطريقة الغير مباشرة (باستخدام الجسم كأجزاء) .

١ - الطريقة المباشرة .

كان بورلى (٣) أول من توصل إلى تحديد موضع مركز ثقل كتلة جسم الإنسان وللتوصل لذلك وضع شخصا فى وضع الرقود على لوح من الخشب مركّزاً على رأس منشور وقام بتحريك اللوح حتى حدث وضع إتران للجسم وبذلك يكون قد أوجد خط تأثير مركز ثقل كتلة الجسم غير أن الأمر هنا لا يتعلق بتحديد مركز ثقل كتلة جسم الشخص وحده بل بتحديد حركة الثقل المشترك لكل من جسم الشخص والقاعدة المرتكز عليها هذا الجسم أيضاً حيث أنه عن طريق تحريك اللوح الخشبي فوق الدعامة المرتكز عليها يكون هناك ثقل جسم الشخص على أحد طرفي اللوح الخشبي بينما يكون مركز ثقل اللوح موجوداً عند الطرف الآخر للمحافة .

وخلال القرن التاسع عشر وأوائل القرن العشرين قام فريق من الباحثين بتطوير طريقة بورلى حيث أجرى الأخوان فيشر تجربتهما على نفس الأسس الماثلة لطريقة بورلى مع محاولتهما تجنب الخطأ الذى وقع فيه بورلى وذلك بوضع الشخص فوق قاعدته قاما سلفاً بتثبيتهما فى وضع الأتران مع تحريك الجسم الذى أجريا عليه تجربتهما هنا وهناك ، ويتضح صعوبة هذه الطريقة إذا ما تخيلنا إيجاد مركز ثقل كتلة جسم الشخص فى أوضاع متعددة وصعبة ناتجة من أدائه لدورتين هوائيتين خلفيتين متكوريتين على الأرض مثلاً ، لذا فقد توصل ديوزر Raymond إلى جهاز أطلق عليه اسم ميزان مركز الثقل يتكون من قاعدة مثبتة وضعت فوق حافيتين تثبت أحدهما فوق ميزان من الموازين المستخدمة فى وزن الأفراد وبقدر بعد المسافة بين خط الثقل ونقطة الارتكاز للميزان يستخرج مقداراً معيناً لوزن الجسم ووفقاً لقانون الروافع فإن من الممكن حساب تلك المسافة ولقد أدت هذه الطريقة إلى تبسيط خطوات التجارب بشكل ملحوظ يرغم من أنها لا تصلح إلا لتحديد خط الثقل فقط أما بالنسبة لتحديد مركز ثقل كتلة جسم ما فإن من الضروري إيجاد ثلاثة خطوط للثقل

بحيث لا يجوز أن يقع أكثر من اثنين منها على مستوى واحد ونظراً لثمتت الأجسام بخاصية التماثل فإن من الممكن في معظم الأحيان الاستغناء عن خط الثقل الثالث . وقد قام بازلر بإضافة تطويرات جديدة على ميزان مركز الثقل لرايموند مستخدماً في تجاربه الكثيره منصة مثثة الشكل متساوية الزوايا بحيث يرتكز عند إحدى زواياه على جسم ثابت بينما يرتكز في زاويتييه الأخرتين فوق ميزان لوزن الأشخاص . وباستخدام هذا الجهاز يمكن إيجاد خطين للثقل يمثل نقطة تقاطعها مركز ثقل الجسم . (٣)

٢ - الطريقة غير المباشرة .

تعتمد الطرق المستخدمة للحصول على المدلولات التي يمكن عن طريقها تحديد موضع مركز ثقل كتلة جسم الإنسان على مبدأ معرفة موضع مركز ثقل كتلة كل جزء من أجزاء جسم الإنسان كل على حده وقد إستخدم في سبيل ذلك دراسات مختلفة منها :

- دراسة الجثث
- دراسات رد فعل اللوح
- دراسة غمر الأجسام .
- دراسات النماذج الرياضية .

٢ - الدراسات المتنوعة

وقد أمكن عن طريق هذه الدراسات الوصول إلى معرفة مراكز ثقل كتلة أجزاء الجسم المختلفة ووضعت قائمة دونت بها تلك المدلولات، وقد أشترك في ذلك التجارب الى جانب هارلسي كل من فيشر وبراون ولقد نجح فيشر في عمل ما أطلق عليه اسم دائرة التناسب معتمداً على تلك المدلولات والقوائم مما أمكن معرفة التغير في موضع مركز ثقل كتلة الجسم وتسجيلها أثناء مجرى الحركات الذي يأتي بها الإنسان كما استخدم فيشر وبراون إمكانية طريقة التسجيل الضوئي المرئي بصرياً لاختلاف مراكز الثقل الخاصة بأجزاء الجسم كل على حدة بإستخدام لمبات كهربائية في حجرة مظلمة عند دراستها لحركة سير الإنسان .

أما مالر Mahler فقد تمكن من تحديد مركز ثقل كتلة الجسم مستعيناً بالقيم التي إستخرجها فيشر ومتبعاً في ذلك طريقة المضلع الخطي - الجبلي - أما كل من إيجرز وكنول فقد إستخدما أيضاً القيم التي إستخرجها فيشر وبراون بطريقتيها الخاصة حيث قاما بحساب خطوط الثقل إعتياداً على معادلات العزم في اتجاهي المركبة

الرأسية والمركبة الأفقية التابعتين لنظام إحداثى واحد ومن المعلوم أن في الاتحاد السوفيتى أجريت تجارب بالطريقة التجريبية إستخدمت فيها نماذج بدلا من الأشخاص تبحر عليها التجارب حيث أستخدم ابلاكوف Ablakof نموذجاً معدنيا وأجرى عليه تجارب وفقا للقيم الخاصة بفيشر وتمكن من تحديد مركز ثقل كتلة الجسم في وضع الاتزان أما شنوكالوف Stukalow فقد أستخدم جهاز يتكون من لوح يمثل القاعدة موضوعاً عليها صفائح رقيقة يمكن تحريكها ويمثل وزن لوح القاعدة الوزن النسبي للجدع كما تمثل الصفائح الرقيقة في وزنها الأوزان النسبية لأجزاء الجسم كل على حده ويتم وزن الجهاز الذى يوضع في الوضع الملائم لأشكال حركة الجسم ثم يتم حساب مركز ثقل كتلة الجسم ويلاحظ أن مقدار الثقل المبدول يكون أقل من اللازم بعض الشيء في كافة الحالات التى يتم فيها العمل باستخدام أشخاص تبحر عليهم التجارب معتمدة في ذلك على الأوزان الجزئية ومراكز الثقل الجزئية لها أما التجارب التى يتم فيها استخدام جثث آدمية أو أجزاء منها تعطى المدلولات والنتائج بالشكل الذى يضع عامل الفروق الفردية واختلاف الجنس في الاعتبار مما ينتج عنه أخطاء عديدة (٣) .

وفى ما يلى نذكر أكثر الطرق العملية التجريبية والتحليلية إنتشارا واستخداما في تحديد موضع مركز ثقل كتلة جسم الإنسان .

١ - الطريقة التحليلية لتحديد موضع مركز ثقل كتلة الجسم وفق رأى كنول

ويجوز (٣٠) .

تعتمد هذه الطريقة على قانون أفضل الاوضاع علما بأن هناك توجد حالة خاصة تتمثل في أن القوى تتقاطع بخطوط متوازية التأثير وتنطبق على تأثيرات القوى الموضحة في الشكل (١٣) الشروط التالية لحدوث التوازن :

$$S - F_1 - F_2 - F_3 - F_4 = 0 \quad (11)$$

$$Sr_s - F_1 r_1 - F_2 r_2 - F_3 r_3 - F_4 r_4 = 0 \quad (12)$$

فإذا كان مقدار القوى (F_1 إلى F_2) ومسافاتهما العمودية (r_1 إلى r_2) الفاصلة بينها وبين محور الدوران (D) معلومة لنا يصبح في الإمكان معرفة (r_s) الخاصة بقوة الأرتكاز (S) عن محور الدوران فإذا كان الأمر يتعلق في حالة القوى بأوزان الأجسام فإنه في الامكان في هذه الحالة معرفة خط ثقل النظام بمعلومية البعد (r_s) حيث تأخذ معادلة القوى الصورة التالية : -

$$r_s = \frac{F_1 r_1 + F_2 r_2 + F_3 r_3 + F_4 r_4}{F_1 + F_2 + F_3 + F_4} \quad (13)$$

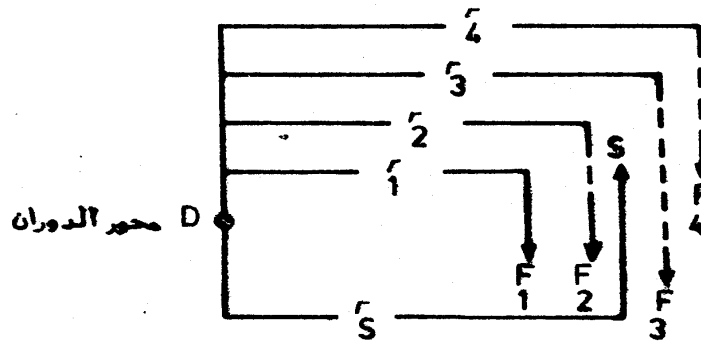
وتطبق المعادلة التالية بصفة عامة على القوى :

$$r_s = \frac{\sum_{i=1}^n F_i r_i}{F_T} \quad (14)$$

ونظرا إلى أن حاصل جمع مقادير القوى يمكن التعويض عنها بقوة كلية قدرها F_T فإنه يمكن وضع المعادلة في الصورة التالية :

$$r_s = \frac{\sum_{i=1}^n F_i r_i}{F_T} \quad (15)$$

وهذه الطريقة يمكن استخدامها في تحديد موضع مركز ثقل كتلة جسم اللاعب وذلك إذا كان من المعلوم لنا وضع مركز ثقل كل جزء من أجزاء الجسم على حده وكذلك وزن الجسم وكما سبق القول أنفا أن نتيجة للأبحاث



شكل (١٣)

خط الثقل وقوة الارتكاز

التي أجريت على أجزاء من جثث آدمية لتحديد مراكز ثقلها وأوزانها فقد تم التوصل إلى متوسطات حسابية هامة تلخصها فيما يلي :

جدول (٦)

الوزن النسبي لأجزاء جسم الإنسان بالنسبة لوزن الجسم كله (عن فيشر و بيرنشتاين)

(٣)

| أجزاء الجسم | الوزن النسبي وفق رأى فيشر | الوزن النسبي رجال | وفق رأى بيرنشتاين سيدات | النسبة التقريبية |
|---------------|------------------------------|----------------------|----------------------------|------------------|
| الرأس | ٠٠٧٠٦ | ٠٠٦٧٢ | ٠٠٨١٢ | ٠٠٧٠٠ |
| الذراع | ٠٠٤٢٧ | ٠٠٤٦٣ | ٠٠٤٣٩ | ٠٠٤٣٠ |
| المخض الأيمن | ٠٠١١٥ | ٠٠٢١٢ | ٠٠١٢٨ | ٠٠١٢٠ |
| الساق الأيمن | ٠٠٥٢٧ | ٠٠٤٦٥ | ٠٠٤٣٤ | ٠٠٥٠٠ |
| القدم اليمنى | ٠٠١٧٩ | ٠٠١٤٦ | ٠٠١٢٩ | ٠٠٢٠٠ |
| المخض الأيسر | ٠٠١١٥ | ٠٠٢١٢ | ٠٠١٢٨ | ٠٠١٢٠ |
| الساق اليسرى | ٠٠٥٢٧ | ٠٠٤٦٥ | ٠٠٤٣٤ | ٠٠٥٠٠ |
| القدم اليسرى | ٠٠١٧٩ | ٠٠١٤٦ | ٠٠١٢٩ | ٠٠٢٠٠ |
| العضد الأيمن | ٠٠٣٣٦ | ٠٠٢٦٥ | ٠٠٢٦٠ | ٠٠٣٠٠ |
| الساعد الأيمن | ٠٠٢٢٨ | ٠٠١٨٢ | ٠٠١٨٢ | ٠٠٢٠٠ |
| اليدين اليمنى | ٠٠٠٨٤ | ٠٠٠٧٠ | ٠٠٠٥٥ | ٠٠١٠٠ |
| العضد الأيسر | ٠٠٣٣٦ | ٠٠٢٦٥ | ٠٠٢٦٠ | ٠٠٣٠٠ |
| الساعد الأيسر | ٠٠٢٢٨ | ٠٠١٨٢ | ٠٠١٨٢ | ٠٠٢٠٠ |
| اليدين اليسرى | ٠٠٠٨٤ | ٠٠٠٧٠ | ٠٠٠٥٥ | ٠٠١٠٠ |
| مجموع | ١٠٠ | ١٠٠ | ١٠٠ | ١٠٠ |

مؤخذ تمكن كلاوسير clauser من تحديد نسبة أوزان أجزاء الجسم بالنسبة لوزن الجسم الكلى وفق الجدول التالى : -

جدول (٢)

الوزن النسبي لأجزاء الجسم المختلفة بالنسبة لوزن الجسم الكلى عن كلاوسير (٣٠)

| أجزاء الجسم | الوزن النسبي |
|---------------|--------------|
| الرأس | ٠.٧٣٠ ر. |
| الجذع | ٠.٥٠٧٠ ر. |
| الفخذ الأيمن | ٠.١٠٣٠ ر. |
| الساق الأيمن | ٠.٤٣٠ ر. |
| القدم اليمنى | ٠.١٥٠ ر. |
| الفخذ الأيسر | ٠.١٠٣٠ ر. |
| الساق الأيسر | ٠.٤٣٠ ر. |
| القدم اليسرى | ٠.١٥٠ ر. |
| الععضد الأيمن | ٠.٢٦٠ ر. |
| الساعد الأيمن | ٠.١٦٠ ر. |
| اليدين اليمنى | ٠.٠٧٠ ر. |
| الععضد الأيسر | ٠.٢٦٠ ر. |
| الساعد الأيسر | ٠.١٦٠ ر. |
| اليدين اليسرى | ٠.٠٧٠ ر. |
| المجموع | ١.٠٠ |

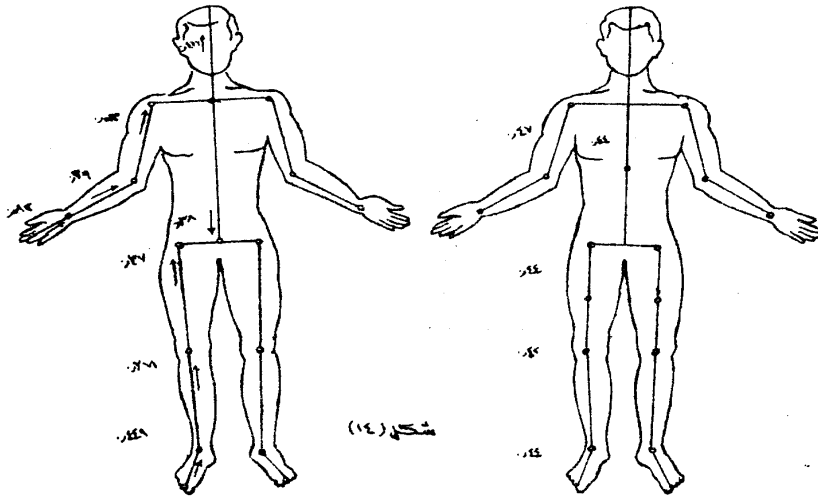
كما تمكن فيشر من التوصل إلى أن مركز ثقل الأطراف تقع على محاورها الطولية تماماً بينما المسافة الخاصة بمركز ثقل كتلة الجسم فتؤخذ من المفصل العلوى والتي تعتبر كنصف قطر الحركة وهى فى نفس الوقت علاقة ثابتة بالنسبة للطول الكلى للعضو كما فى شكل (١٤) أما مركز ثقل الجذع فإنه يقع على الجزء الموضح فى الشكل (١٤) أى فى المسافة التى تصل بين المحور العرضى لمفصل الكتفين ومفصل الفخذين وتعتبر المسافة بين المحور العرضى لمفصل الكتفين وبين مركز الثقل فى هذه الحالة بمثابة نصف

قطر حركة مركز الثقل أما بالنسبة للرأس فإن مركز ثقلها يقع خلف عظم الحنجر .
 في حين تمكن كلاوسير من تحديد موضع مركز ثقل كتلة كل جزء من أجزاء
 الجسم على حدة وفق الجدول (٣) ، الشكل (١٤ - ب) التاليين : -

جدول (٣)

نسبة أنصاف أقطار مراكز ثقل كل جزء من أجزاء جسم الانسان بالنسبة لطول
 محاورها الطولية (عن كلاوسير) (٣٠) .

| أجزاء الجسم | نسبة انصاف أقطار مركز الثقل أجزاء الجسم على المحور الطولى للجزء |
|-------------|---|
| الرأس | ٤٦ر٤٪ عن قمة الرأس أو ٥٣ر٦٪ عن تقاطع الذقن والرقبة . |
| الخدع | ٣٨٪ لفوق عظمة القص أو ٦٢٪ عن محور المقعدة . |
| العضد | ٥١ر٣٪ عن محور الكتفين أو ٤٨ر٧٪ عن محور المرفق . |
| الساعد | ٣٩٪ عن محور المرفق أو ٦١٪ عن محور الرسغ . |
| اليـد | ٨٢٪ عن محور الرسغ أو ١٨٪ عن السلامية الثالثة . |
| الفتخذ | ٣٧ر٢٪ عن محور المقعدة أو ٦٢ر٨٪ عن محور الركبة . |
| الساق | ٣٧ر١٪ عن محور الركبة أو ٦٢ر٩٪ عن محور رسغ القدم . |
| القدم | ٤٤ر٩٪ عن العقب أو ٥٥ر١٪ عن قمة الأصبع الأطول للقدم . |



شكل (١٤)

أنصاف أقطار مركز ثقل كل جزء من أجزاء الجسم بالنسبة لمركز
ثقلها النسبي
(ب)

أنصاف أقطار مركز الثقل لأجزاء الجسم كل منها على حدة
عن نقطة F_{center}
(P)

ولتحديد مركز ثقل كتلة الجسم بأكمله يستخدم الأحداثيات المتعامدة ونحدد فوق الصورة أو الرسم الكروكي الذي يمثل الجسم بمقياس رسم محدد ثم نضع علامات على النقطة المتوسطة للمفصل وبيان المحور الطولي لأجزاء الجسم الذي يوضح انصاف أقطار الحركة لمراكز الثقل لكل ثقل على حدة ثم نقيس القيمتين الاحداثيتين (X)، (Y) الخاصتين بمراكز الثقل كل منها على حدة ثم نضع هذه القيم في صورة جدول ثم نحسب المقدار المستخرج من الوزن النسبي لأجزاء الجسم وبعد ذلك عن المحور الاحداثي (X) وبالمثل (Y) أي نحسب العزوم الخاصة بمراكز ثقل أجزاء الجسم بإارتباطها بالمحور الاحداثي المعلوم كنقطة دوران وحتى يمكن حساب قيمتي الاحداثيتين (Xs)، (Ys) باستخدام المعادلة (15) .
والخاصتين بمركز الثقل المشترك لجميع أجزاء الجسم نوجد قيم (X)، (Y) منفصلتين .

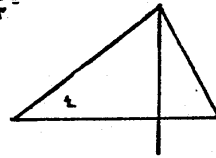
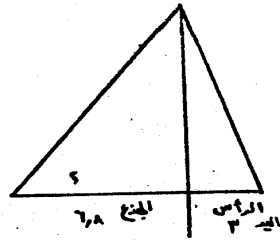
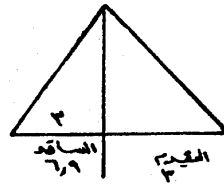
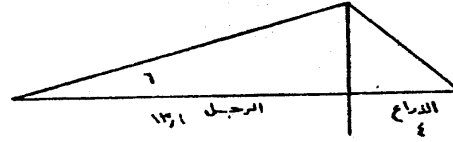
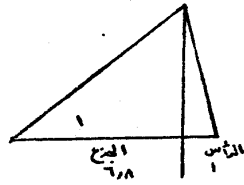
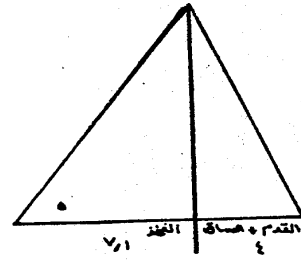
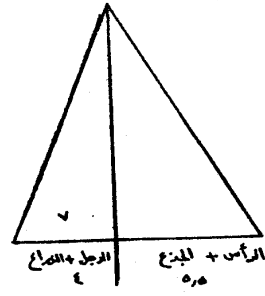
ونظراً لأن الوزن الكلى يكون له قيمة واحدة وعلماً بأنه من الضروري وفقاً للمعادلة (15) قسمة قيمة العزوم على الوزن الكلى فإن قيم (X) ، (Y) يمثلان بالفعل القيمتين للاحداثيين (Xs) ، (Ys) وهما خاصتان بمركز ثقل كتلة الجسم المشترك (٣ ، ٣٠) .

٢ - طريقة الشابلونة المعدلة للمؤلف لتحديد مركز ثقل كتلة جسم الإنسان (٨) .

اعتمدت طريقة تحديد مركز ثقل كتلة الجسم باستخدام الشابلونة لدينا على استخدام الوزن النسبي لأجزاء جسم الإنسان بالنسبة لوزن الجسم كله ، نسبة أنصاف أقطار مراكز ثقل كتلة كل جزء من أجزاء جسم الإنسان بالنسبة لطول محاورها الطولية عن فيشر ونتيجة للأبحاث التي قام بها كلاوسير وآخرون تم تعديل دائرة التناسب لفischer وفق الجدول (٣) ، الشكل (١٤ - ب) السابق ذكرهما ، وبناءً على هذا التعديل وبالإضافة إلى أن دينا لم يضع في الاعتبار وزن اليد . النسبة بين وزن الساعد والعضد عند تحديد مركز ثقل الذراع حيث أنه إعتبر مركز ثقل الذراع هو النقطة المنصفة للخط الواصل بين مركز ثقل كتلة كل من الساعد والعضد وهو بذلك يساوى بين الوزن النسبي للساعد والوزن النسبي للعضد مع إهمال الوزن النسبي لليد ، كما أن عند تحديد مركز ثقل القدم : الساق إعتبر أنه النقطة المنصفة للخط الواصل بين مركز ثقل كتلة القدم ، مركز ثقل كتلة الساق وهو بذلك يساوى بين الوزن النسبي للقدم ، الوزن النسبي للساق وهذا يخالف ما جاء في دائرة التناسب لفischer مما يؤثر في تحديد موقع مركز ثقل كتلة الجسم كله في النهاية وهذا ما يعيب طريقة دينا ويجعلها غير دقيقة .

لذا فقد قام المؤلف (٨) باستخدام نفس الأسس التي بنيت عليها طريقة دينا إلا أنه إعتد في تصميم الشابلونة على التعديل الذى أدخله كلاوسير وآخرون بالنسبة لأنصاف أقطار مراكز ثقل كتل الأجزاء ، بالنسبة للأوزان النسبية لهذه الأجزاء بالنسبة لوزن الجسم كما راعى أن تشتمل الشابلونة جميع أجزاء الجسم وينسب أوزانها بالنسبة لوزن الجسم كله في تحديد مراكز ثقلها وتنحصر طريقة تحديد مركز ثقل كتلة الجسم باستخدام الشابلونة المعدلة للمؤلف في الخطوات التالية : -

- يحدد موضع مركز ثقل كتلة كل عضو من أعضاء الجسم كما يلي :
- ١ - يحسب طول المحور الطول لكل عضو من أعضاء الجسم على حده .
 - ٢ - يحدد موضع مركز ثقل كتلة كل عضو من أعضاء الجسم على حده باستخدام نسبة انصاف أقطار مراكز كتلة كل جزء من أجزاء الجسم بالنسبة لطول محاورها الطولية لكلاوسير والموضحة في الجدول (٣) .
 - ٣ - تحديد مركز ثقل كتلة الرأس + الجذع .
 - يوصل مركز ثقل كتلة الرأس بمركز ثقل كتلة الجذع .
 - توضع الشابلونة (١) عمودية على الخط الواصل بين مركز كتلة الرأس + الجذع بحيث تنطبق قاعدة الشابلونة على الخط تماما مع ملاحظة أن النسبة الأصغر تكون في اتجاه مركز ثقل الجذع ثم تحرك الشابلونة حتى تصل الى الخط الأفقي في الشابلونة الذي ينطبق تماما على الخط الواصل بين مركز ثقل كتلة الرأس والجذع مع ملاحظة ان يكون الخط الرأسى الذى يقسم قاعدة الشابلونة بنسبة ١ : ٦٩ عموديا على الخط الواصل بين مركز ثقل كتلة كل من الرأس والجذع حيث تصبح هذه النقطة هى مركز ثقل كتلة الرأس + الجذع .
 - ٤ - بنفس الخطوات السابقة يتم تحديد كل من مركز ثقل كتلة اليدين والساعدين باستخدام الشابلونة (٢) ، مركز ثقل كتلة كل من الذراعين باستخدام الشابلونة (٣) ، مركز ثقل كتلة القدم + الساق باستخدام الشابلونة (٤) ، مركز ثقل كتلة كل من الرجلين باستخدام الشابلونة (٥) ، مركز ثقل كتلة كل من الذراعين + الرجلين باستخدام الشابلونة (٦) . مع ملاحظة في حالة الاوضاع التى تتباعد فيها الذراعين أو الرجلين يتم تحديد مركز ثقل كل ذراع على حدة ثم يوصل مركز ثقل كل ذراع بالآخر وتنصف المسافة بينهما حيث يصبح النقطة المنصفة ممثلة لمركز ثقل كتلة الذراعين ويتم بالمثل تحديد مركز ثقل كتلة الرجلين .
 - ٥ - نصل مركزى ثقل كتلتى (الرأس + الجذع) ، (الذراعين + الرجلين) وباستخدام الشابلونة (٧) وبفس الخطوات المتبعة في (٢) تحدد نقطة تلاقى الخط الرأس بالخط الافقى بالشابلونة (٧) وتكون هى نقطة تأثير مركز ثقل كتلة الجسم كله انظر شكل (١٥) .



شكل (١٥)
التأثيرات المستخدمة في تحديد CG خلال
المسار الحركي لأداء المهارات الرياضية

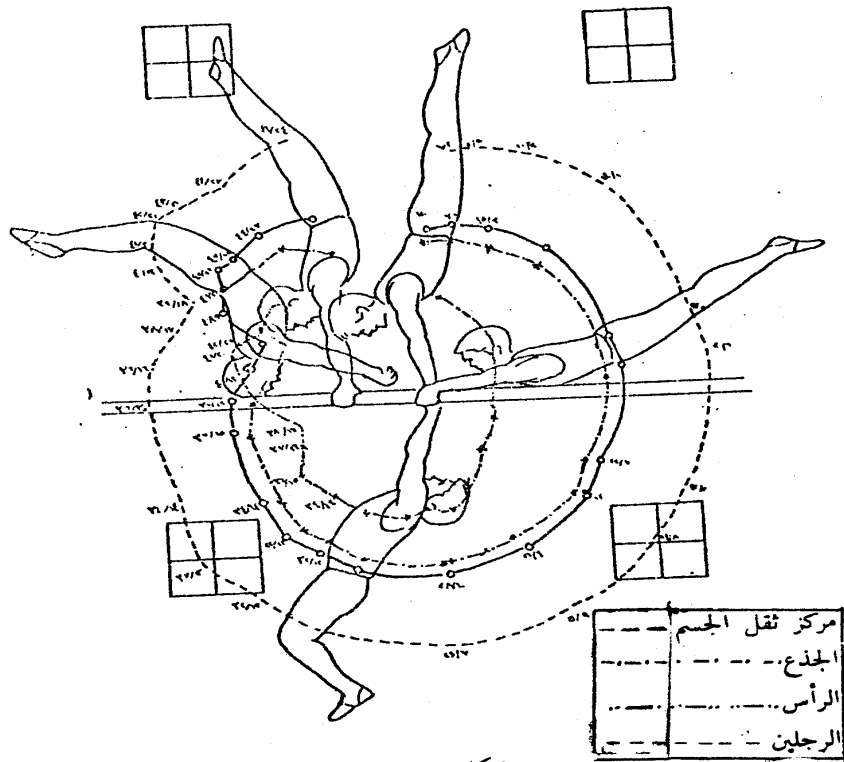
ثانيا - تحديد المسار الحركي لمراكز ثقل كل من أجزاء الجسم والجسم .
بعد تحديد مراكز ثقل كتلة كل من أجزاء الجسم والجسم باستخدام إحدى
الطريقتين السابقتين ولتكن طريقة الشابلونة للمؤلف ، تتبع الخطوات التالية لرسم
المسار الحركي لمراكز ثقل كتل كل من أجزاء الجسم والجسم خلال أداء الحركة
الرياضية ولتكن الدائرة الأمامية الكبرى على جهاز المتوازيين (مهارة كيموتسو) :-

١ - تحدد العلامات الإرشادية على الرسم التخطيطي النموذجي المنقول من الفيلم
السينمائي لكل وضع من الأوضاع المحددة كنقاط لدراسة المسار الحركي وبمقياس
رسم معلوم وليكن (اسم : ١٠ سم) .

٢ - تحدد مراكز ثقل كل جزء من أجزاء الجسم والجسم على كل نموذج تخطيطي
لكل وضع من الأوضاع المحددة كنقاط للدراسة .

٣ - تحدد العلامات الإرشادية على ورقة شفافة ثم نضع الورقة الشفافة على كل
نموذج تخطيطي لكل وضع من الأوضاع المحددة كنقاط للدراسة والسابق تحديد
مراكز ثقل كتل كل من أجزاء الجسم والجسم بحيث تنطبق العلامات الإرشادية فوق
بعضها تماما ثم تحدد على الورقة الشفافة مكان كل من مراكز ثقل كتل كل من
أجزاء الجسم والجسم بعلامات مختلفة ولتكن العلامة (X) لمركز ثقل كتلة الرأس ،
العلامة (.) لمركز ثقل كتلة الرجلين ، (O) لمركز ثقل كتلة الجذع ، العلامة (*)
لمركز ثقل كتلة الجسم وتسجيل هذه العلامات ينشأ لنا أماكن أوضاع مراكز ثقل
كتل كل من أجزاء الجسم أو الجسم على الورقة الشفافة .

٤ - توصل العلامات المتشابهة حيث ينتج لنا مسارات لمراكز ثقل كتل كل من
أجزاء الجسم والجسم خلال أداء مهارة كيموتسو كما في شكل (١٦)



شكل (١٦)

المسارات الحركية لمراكز ثقل كل من أجزاء الجسم والجسم خلال أداء مهارة
كيموتسو على جهاز المتوازيين

ب - تعيين المسار الزمني لأداء المهارة الرياضية .
تعتبر المهارة الرياضية نظاما ديناميكيا معقدا أو متعدد التركيب للأفعال الحركية
المرتبطة ببعضها البعض والموجهة لتحقيق الهدف الرئيسي للأداء الحركي .. ويعتبر
الزمن من أهم العوامل المؤدية إلى ربط مختلف العناصر الحركية المستقلة في النظام
الكلي للأداء المهارى.

ويشجع استخدام الفيلم السينمائي المصور إعداد رسوم بيانية لطول أزمنة الفترات المكونة للحركة سواء كان العرض البياني على شكل الكرونوجرام الخطي أو الدائري .

ويتم تحديد الطول الزمني للفترة في الكرونوجرام الخطي من خلال رسم شريحة مستقيمة تناسب في طولها مع عدد صور الفيلم المقابلة لهذه الفترة من الحركة موضع الدراسة كما في شكل (١٧) .

بينما يتحدد الطول الزمني للفترة في الكرونوجرام الدائري بقياس طول القوس على محيط الدائرة الذي يتناسب مع عدد الصور المقابلة لهذه الفترة الزمنية من الحركة قيد الدراسة كما في شكل (١٨) . وبفضل الكرونوجرام الدائري لعرض التقسيم الزمني لفترات الحركة المتكررة المغلقة مثل الجري .

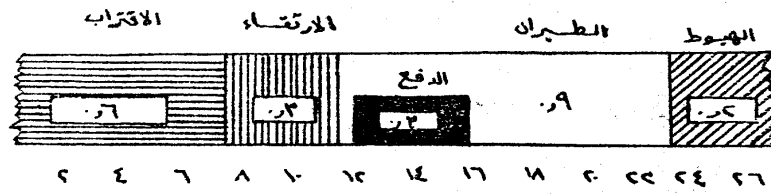
ويتطلب ذلك تقسيم محيط الدائرة إلى أقواس ذات مسافات متساوية تتطابق في عددها مع عدد الصور (N) الخاصة بالحركة المرصودة كما يتطلب إيجاد نصف قطر الدائرة باستخدام العلاقة التالية :-

$$r = \frac{I}{2\pi} \dots\dots\dots(16)$$

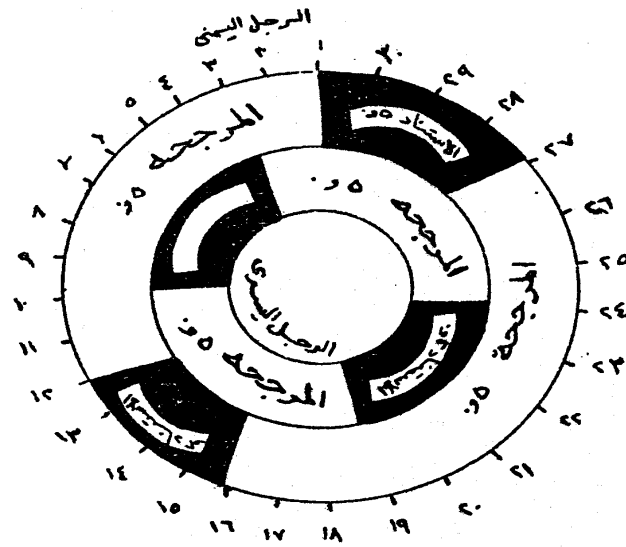
حيث I = طول محيط الدائرة بالسنتيمترات ، π = ط وهو مقدار ثابت يساوي ٣.١٤ .

فعلى سبيل المثال إذا كانت الدورة المغلقة للحركة تستغرق ١٩ صورة ينبغي أن يكون طول محيط الدائرة ١٩ سم وبذلك يمكن إيجاد طول نصف القطر (r) كما يلي :-

$$r = \frac{I}{2\pi} = \frac{19}{2 \times 3.14} = \frac{19}{6.28} = 3.0 \text{ cm}$$



شكل (١٧)
كروتوجرام خطى لحركة القفز فتحا على المهر



شكل (١٨)
كروتوجرام دائرى للحركة المقلقة فى الجرى

ج - تعيين مسار السرعة اللحظية :

لمراكز ثقل كل من أجزاء الجسم والجسم خلال أداء المهارة الرياضية .

من المعروف أنه إذا تحرك جسم ما مسافة قدرها $(s = s_2 - s_1)$ في زمن قدرة $(t = t_2 - t_1)$ فإنه يمكن حساب قيمة السرعة المتوسطة من العلامة التالية : -

$$V = \frac{s_2 - s_1}{t_2 - t_1} \dots \dots \dots (17)$$

ولكن في معظم الاحيان عندما يتعلق الأمر بدراسة الاختلافات الجوهرية بين الاساليب التكنيكية المختلفة لأداء الحركة الرياضية يتطلب ذلك معرفة سرعة مركز ثقل كل من أجزاء الجسم والجسم بعد قطعه مسافات متباعدة في أزمنة متناهية في الصغر وتقرب من الصفر ويعنى ذلك دراسة السرعات اللحظية لمراكز ثقل كل أجزاء الجسم والجسم في الأوضاع المختلفة المحددة كنقاط للدراسة خلال المسار الحركي لأداء المهارة الرياضية والتي يمكن الحصول عليها باستخدام المعادلة التالية : -

$$V = \lim_{\Delta t \rightarrow 0} \frac{s_2 - s_1}{t_2 - t_1} = \frac{ds}{dt} \dots \dots \dots (18)$$

وحتى يمكن تعيين مسار السرعة اللحظية لمراكز ثقل كل من أجزاء الجسم والجسم خلال المسار الحركي لاي مهارة رياضية ولتكن على سبيل المثال مهارة كيموتسو على جهاز المتوازيين نتبع الخطوات التالية : -

١ - تحديد زمن الصورة بمعلومية سرعة كاميرة التصوير السينمائي باستخدام المعادلة التالية : -

$$\text{زمن الصورة} = \frac{1}{\text{سرعة الكاميرة}} \dots \dots \dots (19)$$

، بمأن سرعة الكاميرا المستخدمة في تصوير حركة كيموتسو تساوى ٢٤ صورة في الثانية .

$$\text{إذن زمن الصورة} = \frac{1}{24} = 0.042 \text{ ثانية}$$

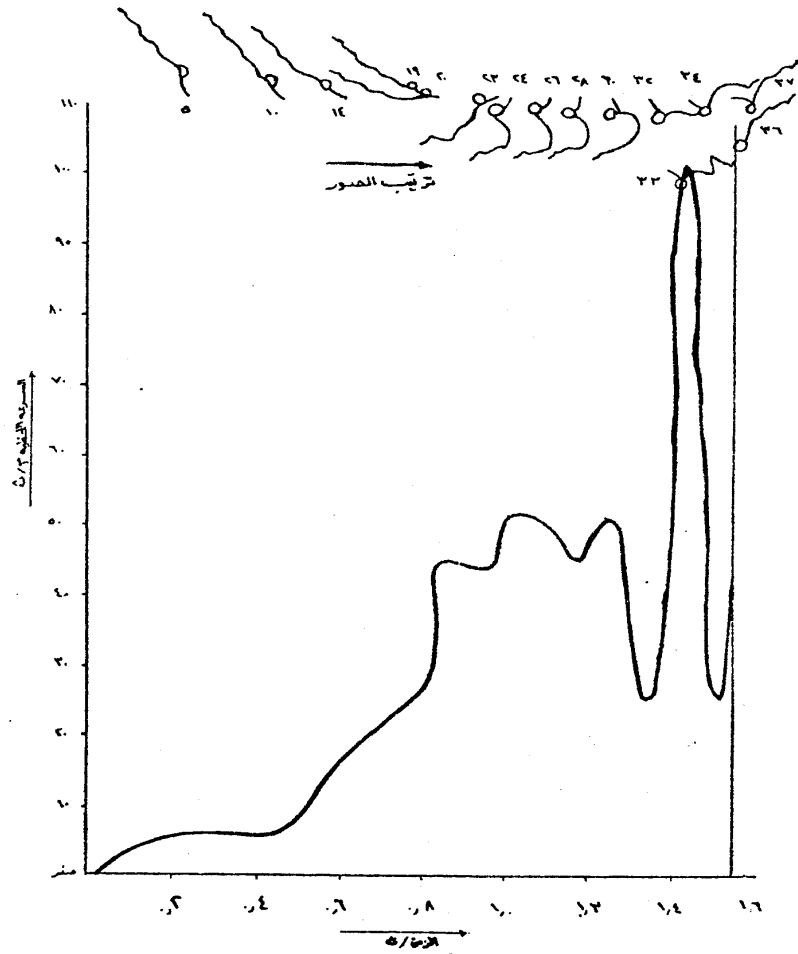
٢ - تحديد ترتيب كل من الأوضاع المختارة كنقاط للدراسة على الفيلم وفق التغيرات المكانية لمراكز ثقل كل من الجسم وأجزائه والتي يرى الباحث أهميتها في التأثير على المسار الكلى للمهارة .

- ٣ - تحديد فرق الصور بين الوضع الأول والوضع الثاني ، ثم بين الوضع الثاني والثالث وهكذا حتى آخر وضع .
- ٤ - نضرب ترتيب الوضع على الفيلم في زمن الصورة فنحصل على الزمن الكلي عند هذا الوضع وهكذا حتى آخر وضع . ويعتبر الزمن عند آخر وضع زمن أداء المهارة .
- ٥ - نضرب فرق الصور بين كل وضع وآخر في زمن الصورة فنحصل على فرق الزمن بين كل وضع وآخر .
- ٦ - نقيس المسافة بين الوضع الأول والثاني بمسطره المنحنيات حيث نحصل على فرق الإزاحة بين الوضعين الأول والثاني وبنفس الطريقة يمكن الحصول على الإزاحة بين الوضعين الثالث والرابع وهكذا حتى آخر وضع حيث نحصل على فرق الإزاحة بين كل وضعين متتاليين مع ملاحظة ضرب الإزاحة في مقياس الرسم للحصول على الإزاحة الحقيقية على المسار .
- ٧ - نقسم فرق الإزاحة بين كل وضعين على فرق الزمن لها وحاصل القسمة يمثل السرعة اللحظية عند الوضع التالي .
- ٨ - نجدول البيانات السابقة كما في الجدول (٤) .
- ٩ - تمثل العلاقة بين السرعة اللحظية والزمن بمنحنى بياني يمثل فيه المحور (X) الزمن والمحور (Y) السرعة اللحظية كما في شكل (١٩) .
- ١٠ - توضع الصور المتتابعة للمهارة فوق الشكل البياني وفي مستوى أزمنتها كما في شكل (١٩) .
- وبنفس الخطوات يمكن تحديد السرعة اللحظية لكل من مراكز ثقل كتل الاجزاء وحدولتها والتعبير عنها بيانا .

جدول (٤)

السرعة اللحظية لمركز ثقل كتلة الجسم بالنسبة للزمن خلال المرجحة لاسفل ولأعلى حتى لحظة كسر الاتصال خلال المسار الحركي لمهارة كيموتسو على جهاز المتوازيين

| الرقم متسلسل | ترتيب الصور | زمن الصورة (ث) | زمن الصور (ث) | فرق الصور | فرق الزمن (ث) | الازاحة (م) | فرق الازاحة (م) | السرعة اللحظية (م/ث) |
|-----------------|----------------|----------------------|---------------------|--------------|---------------------|----------------|-----------------------|----------------------------|
| ١ | ٠ | ٠.٠٤٢ | ٠ | ٠ | ٠ | ٠ | ٠ | ٠ |
| ٢ | ٥ | ٠.٠٤٢ | ٠.٢١ | ٥ | ٠.٢١٠ | ١.٦٠ | ١.٦٠ | ٧.٦٠ |
| ٣ | ١٠ | ٠.٠٤٢ | ٠.٤٢ | ٥ | ٠.٢١ | ٣.٢٠ | ١.٦٠ | ٧.٦٠ |
| ٤ | ١٤ | ٠.٠٤٢ | ٠.٥٨٨ | ٤ | ٠.١٦٨ | ٦.٢٠ | ٣.٠ | ١٧.٩ |
| ٥ | ١٩ | ٠.٠٤٢ | ٠.٧٩٨ | ٥ | ٠.٢١٠ | ١٢.٠٠ | ٥.٨ | ٢٧.٦٠ |
| ٦ | ٢٠ | ٠.٠٤٢ | ٠.٨٤٠ | ١ | ٠.٠٤٢ | ١٣.٩٠ | ١.٩ | ٤٥.٢٠ |
| ٧ | ٢٣ | ٠.٠٤٢ | ٠.٩٦٦ | ٣ | ٠.١٢٦ | ١٩.٥٠ | ٥.٦ | ٤٤.٤٠ |
| ٨ | ٢٤ | ٠.٠٤٢ | ١.٠٠٨ | ١ | ٠.٠٤٢ | ٢١.٧٠ | ٢.٢ | ٥٢.٤٠ |
| ٩ | ٢٦ | ٠.٠٤٢ | ١.٠٩٢ | ٢ | ٠.٠٨٤ | ٢٥.٩٠ | ٤.٢ | ٥٠.٠٠ |
| ١٠ | ٢٨ | ٠.٠٤٢ | ١.١٧٦ | ٢ | ٠.٠٨٤ | ٢٩.٧٠ | ٣.٨ | ٤٥.٢٠ |
| ١١ | ٣٠ | ٠.٠٤٢ | ١.٢٦٠ | ٢ | ٠.٠٨٤ | ٣٤.٠٠ | ٤.٣ | ٥١.٢٠ |
| ١٢ | ٣٢ | ٠.٠٤٢ | ١.٣٤٤ | ٢ | ٠.٠٨٤ | ٣٦.١٠ | ٢.١ | ٢٥.٠٠ |
| ١٣ | ٣٣ | ٠.٠٤٢ | ١.٣٨٦ | ١ | ٠.٠٤٢ | ٣٨.٢٠ | ٢.١ | ٥٠.٠٠ |
| ١٤ | ٣٤ | ٠.٠٤٢٠ | ١.٤٢٨ | ١ | ٠.٠٤٢ | ٤٢.٥٠ | ٤.٣ | ١٠.٢٤٠ |
| ١٥ | ٣٦ | ٠.٠٤٢ | ١.٥١٢ | ٢ | ٠.٠٨٤ | ٤٤.٧٠ | ٢.٢ | ٢٦.٢٠ |
| ١٦ | ٣٧ | ٠.٠٤٢ | ١.٥٥٤ | ١ | ٠.٠٤٢ | ٤٦.٥٠ | ١.٨ | ٤٢.٩٠ |



شكل (١٩)

منحنى السرعة اللحظية لمركز ثقل الجسم خلال مرحلة الاتصال أثناء اداء مهارة
كيموتسو على جهاز المتوازيين

د - تعيين مسار العجلة اللحظية :

لمراكز ثقل كل من الجسم وأجزاء الجسم خلال أداء المهارة الرياضية .
عند تعيين منحني العجلة اللحظية لمراكز ثقل كل من الجسم وأجزاء الجسم تتبع نفس الخطوات السابقة ذكرها في تحديد منحني السرعة اللحظية مع ملاحظة أن العجلة المتوسطة عبارة عن معدل التغير في السرعة والتي يمكن التعبير عنها بالمعادلة التالية :

$$\bar{a} = \frac{U_2 - U_1}{t_2 - t_1} \dots\dots\dots (20)$$

وأن العجلة اللحظية يمكن التعبير عنها بالمعادلة التالية : -

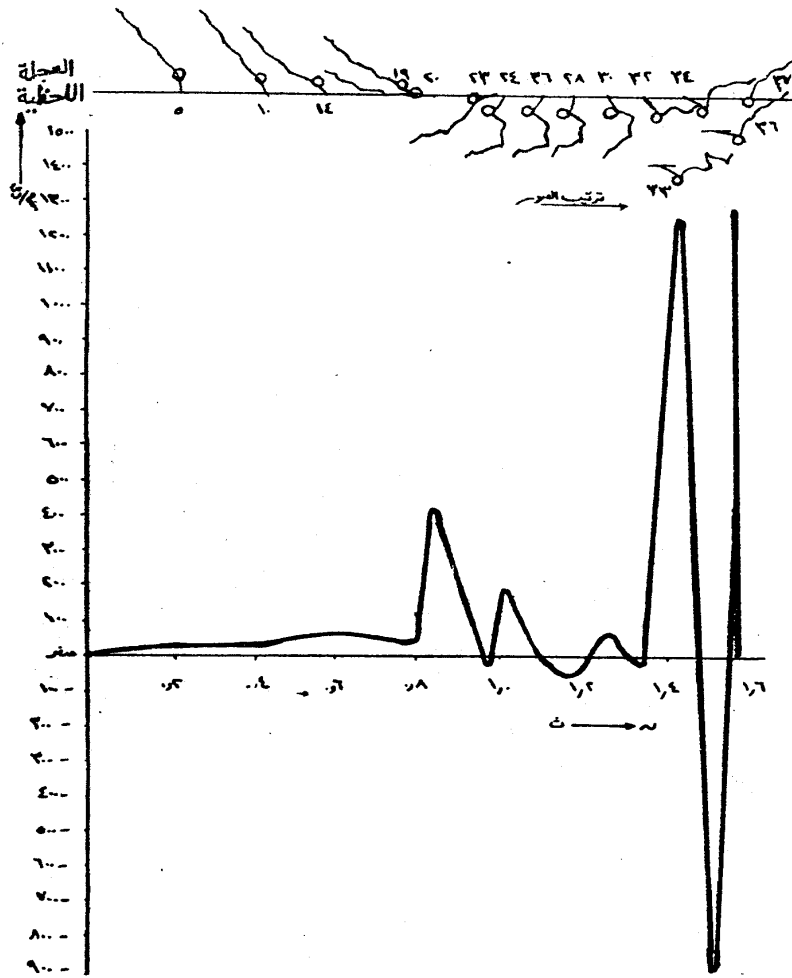
$$\bar{a} = \lim_{\Delta t \rightarrow 0} \frac{V_2 - V_1}{t_2 - t_1} = \frac{dV}{dt} \dots\dots\dots (21)$$

بالإضافة الى استخدام الجدول (٥) بعد اضافة عمود تاسع لتسجيل العجلة اللحظية عند كل صورة من الصور المحددة لنقاط دراسة مسار مركز ثقل كتلة الجسم ثم يعبر عنها بيانيا كما في شكل (٢٠)

جدول (٥)

المجلة اللحظية لمركز ثقل كتلة الجسم خلال المرحلة لأسفل ولأعلى حتى لحظة كسر الاتصال خلال المسار الحركي لمهارة كيمونسو على جهاز المتوازيين

| م | ترتيب الصور | زمن الصورة (ث) | زمن الصور (ث) | فرق الصور | فرق الزمن (ث) | السرعة اللحظية (م/ث) | فرق السرعة (م/ث) | المجلة اللحظية (م/ث ^٢) |
|----|-------------|----------------|---------------|-----------|---------------|----------------------|------------------|------------------------------------|
| ١ | ٠ | ٠.٤٢ | ٠ | ٠ | ٠.٢١ | ٠ | ٧.٦ | ٠ |
| ٢ | ٥ | ٠.٤٢ | ٠.٢١ | ٥ | ٠.٢١ | ٧.٦٠ | ٠ | ٣٦.١٩ |
| ٣ | ١٠ | ٠.٤٢ | ٠.٤٢ | ٥ | ٠.٢١ | ٧.٦٠ | ٠ | ٣٦.١٩ - |
| ٤ | ١٤ | ٠.٤٢ | ٠.٥٨٨ | ٤ | ٠.١٦٨ | ١٧.٩٠ | ١٠.٣ | ٦٩.٣٠ |
| ٥ | ١٩ | ٠.٤٢ | ٠.٧٩٨ | ٥ | ٠.٢١ | ٢٧.٦٠ | ٩.٧ | ٤٦.٢٠ |
| ٦ | ٢٠ | ٠.٤٢ | ٠.٨٤٠ | ١ | ٠.٠٤٢ | ١٧.٦ | ١٧.٦ | ٤١.٩١٠ |
| ٧ | ٢٣ | ٠.٤٢ | ٠.٩٦٦ | ٣ | ٠.١٢٦ | ٤٤.٤٠ | ٠.٨ | ٠.٦٤٠٠ |
| ٨ | ٢٤ | ٠.٤٢ | ١.٠٠٨ | ١ | ٠.٠٤٢ | ٥٢.٤٠ | ٨.٠٠ | ١٩.٠٥٠ |
| ٩ | ٢٦ | ٠.٤٢ | ١.٠٩٢ | ٢ | ٠.٠٨٤ | ٥٠.٠٠ | ٢.٤٠٠ | ٢٨.٦٠ - |
| ١٠ | ٢٨ | ٠.٤٢ | ١.١٧٦ | ٢ | ٠.٠٨٤ | ٤٥.٢٠ | ٤.٨٠ | ٥٧.١٠ - |
| ١١ | ٣٠ | ٠.٤٢ | ١.٢٦٠ | ٢ | ٠.٠٨٤ | ٥١.٢٠ | ٦.٠٠ | ٧١.٤٠ |
| ١٢ | ٣٢ | ٠.٤٢ | ١.٣٤٤ | ٢ | ٠.٠٨٤ | ٢٥.٠٠ | ٢٦.٢٠ - | ٣١.٩٠ - |
| ١٣ | ٣٣ | ٠.٤٢ | ١.٣٨٦ | ١ | ٠.٠٤٢ | ٥٠.٠٠ | ٢٥.٠٠ | ٥٩.٥٢٠ |
| ١٤ | ٣٤ | ٠.٤٢ | ١.٤٢٨ | ١ | ٠.٠٤٢ | ١٠.٢٤٠ | ٥٢.٤٠٠ | ١٤٧.٦٠ |
| ١٥ | ٣٦ | ٠.٤٢ | ١.٥١٢ | ٢ | ٠.٠٨٤ | ٢٦.٢٠ | ٧.٦٤ - | ٩٠.٩٥٠ - |
| ١٦ | ٣٧ | ٠.٤٢ | ١.٥٥٤ | ١ | ٠.٠٤٢ | ٤٢.٩٠ | ١٦.٧ | ٣٩٧.٦٠ |



شكل (٢٠)

منحنى العجلة اللحظية بالنسبة للزمن لمركز ثقل الجسم خلال المسار الحركي لمهارة
كيموتسو على جهاز المتوازيين.

هـ - تعيين زاوية انطلاق الجسم لحظة كسر الاتصال خلال المسار الحركي لأداء المهارة الرياضية .

تعتبر زاوية انطلاق الجسم - سواء كان جسم الانسان أو أداة رياضية - من أهم المتغيرات الكينماتيكية المؤثرة على منحني الطيران ، لذا فإن معرفة كيفية تحديدها من مدلولات المسار الحركي لمركز ثقل كتلة الجسم يعتبر أمراً هاماً لا يمكن إغفاله . وتنحصر خطوات تعيين زاوية انطلاق الجسم لحظة كسر الاتصال خلال المسار الحركي لأداء المهارة الرياضية فيما يلي :-

١ - ننقل المسار الحركي لمركز ثقل كتلة جسم اللاعب على ورقة مربعات ثم نحدد المحورين (X ، Y)

٢ - نحدد على المسار رقم الصورة عند لحظة كسر الاتصال ثم نحدد كل من بعدها عن المحور (Y) وترمز له بالرمز (Y₂) وعن المحور (X) وترمز له بالرمز (X₂) كما في شكل (٢١) .

٣ - نحدد على المسار رقم الصورة قبل لحظة كسر الاتصال ثم نحدد كل من بعدها عن المحور (Y) وترمز له بالرمز (Y₁) ، عن المحور (X) وترمز له بالرمز (X₁) .

٤ - ولحساب زاوية الانطلاق Θ نستخدم المعادلة التالية :-

$$\Theta = \arctan \frac{Y_2 - Y_1}{X_2 - X_1} \dots (22)$$

ففي المثال السابق يوضح الشكل (٢١) أن لحظة كسر الاتصال عند الصورة

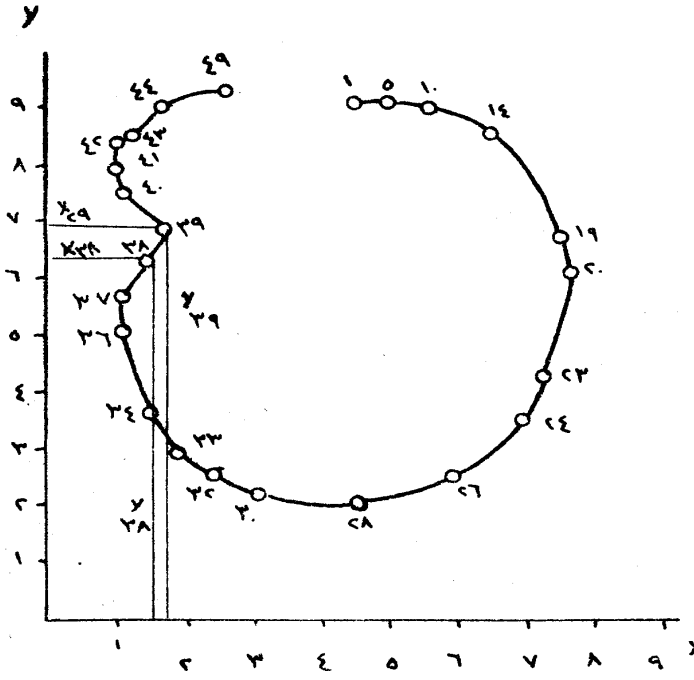
(٣٧)

$$0.45 = X_2 , 0.53 = Y_2 .$$

وأن الصورة قبل لحظة كسر الاتصال هي الصورة (٣٦)

$$X_1 = 0.41 , Y_1 = 0.16$$

$$\therefore \theta = \arctan \frac{0.53 - 0.16}{0.45 - 0.41} = \frac{37}{4} = (83.80)$$



شكل (٢١)

تحديد زاوية الانطلاق لحظة كسر الاتصال خلال المسار الحركي لمهارة كيموتسو على جهاز المتوازيين .

و - تعيين مسار السرعة الزاوية لمركز ثقل كل من أجزاء الجسم والجسم خلال أداء المهارة الرياضية .

تعرف السرعة الزاوية لنقطة (جسم) ذات حركة دائرية منتظمة بأنها النسبة بين الازاحة الزاوية (الانتقال الزاوي) التي يقطعها نصف القطر (r) والزمن (t) المقابل لهذه الازاحة . ولما كانت السرعة الزاوية لحركة الجسم ووصلاته البيوميكانيكية تتميز عادة بالتغير ، لذا فإنه يجرى حساب معدل الازاحة الزاوية ، في وحدة الزمن أو ما يسمى بالسرعة الزاوية المتوسطة ويرمز لها بالرمز (ω) . فإذا

تحركت نقطة على محيط دائرة وقطع نصف قطرها الزاوية من (θ_1) إلى (θ_2) في الفترة الزمنية (من t_1 إلى t_2) فإن السرعة الزاوية المتوسطة $(\bar{\omega})$ لحركة هذه النقطة تحسب باستخدام المعادلة :

$$\bar{\omega} = \frac{\theta_2 - \theta_1}{t_2 - t_1} = \frac{d\theta}{dt} \dots \text{Rad / sec} \dots (23)$$

ونظراً إلى أن السرعة الزاوية المتوسطة لا تعطي أى فكرة عن السرعات الزاوية التي تحركت بها النقطة خلال اللحظات الزمنية المختلفة فإنه بفضل حساب ما يسمى بالسرعة الزاوية اللحظية لحركة هذه النقطة (ωt) .

السرعة الزاوية اللحظية (ωt) .
وهي عبارة عن الكمية التي تؤول إليها السرعة الزاوية المتوسطة $(\bar{\omega})$ عندما تؤول الفترة الزمنية المناظرة (dt) إلى الصفر . وبناءً على ذلك يمكن تعيين السرعة الزاوية اللحظية للنقطة المتحركة في اللحظة الزمنية المعطاه من خلال تفاضل (Δt) بالنسبة للزمن (Δt) باستخدام المعادلة التالية :-

$$\omega t = \lim_{\Delta t \rightarrow 0} \frac{\theta_2 - \theta_1}{t_2 - t_1} = \frac{d\theta}{dt} (24)$$

وما سبق يتضح أنه كلما صغرت الفترة الزمنية (Δt) الداخلة في معادلة حساب السرعة الزاوية المتوسطة يؤدي ذلك إلى اقتراب قيمة هذه السرعة الزاوية المتوسطة من قيمة السرعة الزاوية اللحظية .
ولتحديد السرعة الزاوية اللحظية لمركز ثقل كتلة الجسم أو أحد أجزائه خلال المسار الحركي لأداء المهارة الرياضية تتبع نفس الخطوات السابقة في تعيين السرعة الحظية مع الأخذ في الاعتبار وضع الازاحة الزاوية بدلا من الازاحة اللحظية وتطبق المعادلة (24) .

في المثال السابق لكي نحدد السرعة الزاوية اللحظية لمراكز ثقل كتلة الجسم وكل من الرأس ، الجذع ، والرجلين ، نحدد بالمنقلة الازاحة الزاوية لمركز ثقل كتلة الجسم

وكذا لكل من الرأس ، الجذع ، والرجلين على المسار الحركي لكل منهم . ثم نجدون البيانات كما في الجدول (٦) .

جدول (٦)

الازاحة الزاوية لمراكز ثقل كتلة كل من الرأس والجذع ، الجسم ، والرجلين خلال المرجحة لأعلى ولأسفل حتى لحظة كسر الاتصال خلال المسار الحركي لمهارة كيموتسو على جهاز المتوازيين .

| م | ترتيب الصور | الرأس (بالدرجة) | الجذع (بالدرجة) | الجسم (بالدرجة) | الرجلين (بالدرجة) |
|----|-------------|--------------------|--------------------|--------------------|----------------------|
| ١ | ٠ | ٠ | ٠ | ٠ | ٠ |
| ٢ | ٥ | ١٢ | ١٠ | ٨ | ٦ |
| ٣ | ١٠ | ٢٩ | ٢١ | ١٧ | ١١ |
| ٤ | ١٤ | ٣٩ | ٣٧,٥ | ٣٤ | ٢٢ |
| ٥ | ١٩ | ٨٤ | ٧٥ | ٦٨ | ٤٨ |
| ٦ | ٢٠ | ١٠٨ | ٨٧ | ٨٣ | ٧٢ |
| ٧ | ٢٣ | ١٤٠ | ١٢١ | ١١٤ | ٨٣ |
| ٨ | ٢٤ | ١٥٩ | ١٣٤ | ١٢٦ | ١١٧ |
| ٩ | ٢٦ | ١٨٣ | ١٥٧ | ١٤٨ | ١٣١ |
| ١٠ | ٢٨ | ١٩٨ | ١٧٩ | ١٧٠ | ١٥١ |
| ١١ | ٣٠ | ٢١٢ | ٢٠١ | ١٩٣ | ١٧٨ |
| ١٢ | ٣٢ | ٢٢١ | ٢١١ | ٢٠٤ | ٢٠٠ |
| ١٣ | ٣٣ | ٢٢٩ | ٢٢٠ | ٢١٥ | ٢١٧ |
| ١٤ | ٣٤ | ٢٣٩ | ٢٣٠ | ٢٢٧ | ٢٢٩ |
| ١٥ | ٣٦ | ٢٤٩ | ٢٥٥ | ٢٥١ | ٢٤٣ |
| ١٦ | ٣٧ | ٢٧٣ | ٢٦٨ | ٢٦٣ | ٢٦٨ |

ثم نوجد كل من :

١ - فروق الازاحة الزاوية بين الصور التي حددت كنقاط للدراسة ونحولها الى التقدير الدائري باستخدام الجداول الرياضية أو نضربها في المقدار $(\frac{\pi}{180})$ حيث ط = ٣١٤ =

٢ - ثم نحدد فرق الزمن . ثم نطبق المعادلة (24) لحساب السرعة الزاوية اللحظية عند كل صورة من الصور المحددة كنقاط للدراسة . ثم نجدول البيانات كما في الجدول (٧) .

جدول (٧)

السرعة الزاوية لمركز ثقل كتلة الرأس خلال المرجحة لأسفل ولأعلى حتى لحظة كسر الاتصال خلال المسار الحركي لمهارة كيموتسو على جهاز المتوازيين .

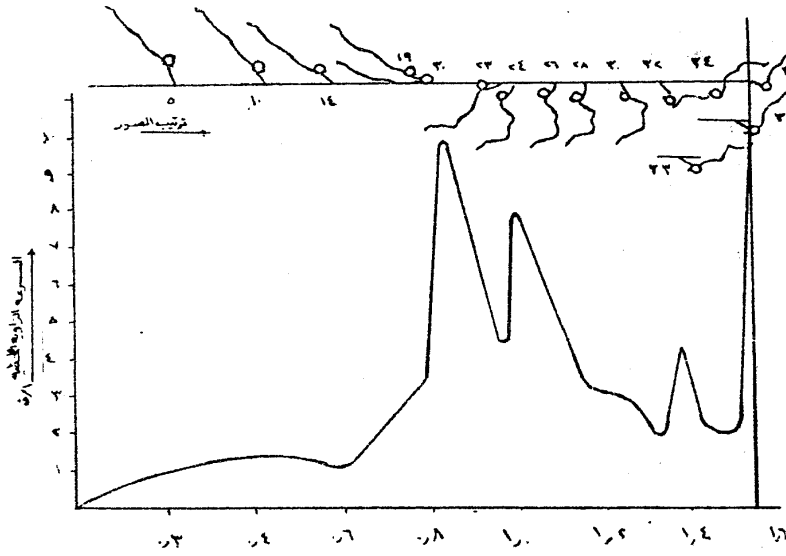
| م | ترتيب الصور | الزمن (ثانية) | فرق الزمن (ثانية) | الازاحة الزاوية (درجة) | فرق الازاحة | | السرعة الزاوية اللحظية (ا/ث) |
|---|-------------|---------------|-------------------|------------------------|-------------------|--------------------------|------------------------------|
| | | | | | الزاوية (بالدرجة) | الزاوية بالتقدير الدائري | |
| ١ | ٠ | ٠ | ٠ | ٠ | ١٢ | ٠.٢٠٩٠٠ | ٠.٩٩٧٠ |
| ٢ | ٥ | ٠.٢١ | ٠.٢١ | ١٢ | ١٧ | ٠.٢٩٧ | ١.٤١٢ |
| ٣ | ١٠ | ٠.٤٢ | ٠.٢١ | ٢٩ | ١٠ | ٠.١٧٤٤٠ | ١.٠٣٨٠ |
| ٤ | ١٤ | ٠.٥٨٨ | ٠.١٦٨ | ٣٩ | ٤٥ | ٠.٧٨٥١٠ | ٣.٧٤٠ |
| ٥ | ١٩ | ٠.٧٩٨ | ٠.٢١ | ٨٤ | ٢٤ | ٠.٤١٨٧٠ | ٩.٩٧٠ |
| ٦ | ٢٠ | ٠.٨٤ | ٠.٠٤٢ | ١٠٨ | ٣٢ | ٠.٥٥٨٦٠ | ٤.٤٣٠ |
| ٧ | ٢٣ | ٠.٩٦٦ | ٠.١٢٦ | ١٤٠ | | | |

جدول (٧)

السرعة الزاوية لمركز ثقل كتلة الرأس خلال المرجحة لأسفل ولأعلى حتى لحظة كسر
الاتصال خلال المسار الحركي لمهارة كيموتسو على جهاز المتوازيين .

| | | | | | | | |
|-------|--------|----|-----|------|------|----|----|
| ٧٩٠٠ | ٠٣٣١٦٠ | ١٩ | ١٥٩ | ٤٠٤٢ | ١٠٠٨ | ٢٤ | ٨ |
| ٥٣٤٠ | ٠٤١٨٩٠ | ٢٤ | ١٨٣ | ٠٠٨٤ | ١٠٩٢ | ٢٦ | ٩ |
| ٣١٢٠ | ٠٢٦١٨٠ | ١٥ | ١٩٨ | ٠٠٨٤ | ١١٧٦ | ٢٨ | ١٠ |
| ٢٩١٠ | ٠٢٤٤٤٠ | ١٤ | ٢١٢ | ٠٠٨٤ | ١٢٦٠ | ٣٠ | ١١ |
| ١٨٧٠ | ٠١٥٧١ | ٠٩ | ٢٢١ | ٠٠٨٤ | ١٣٤٤ | ٣٢ | ١٢ |
| ٣٣٢٠ | ٠١٣٩٦٠ | ٠٨ | ٢٢٩ | ٠٠٤٢ | ١٣٨٦ | ٣٣ | ١٣ |
| ٢٠٧٨٠ | ٠١٧٥٠ | ١٠ | ٢٣٩ | ٠٠٨٤ | ١٤٣٨ | ٣٤ | ١٤ |
| ٢٠٧٨٠ | ٠١٧٥٠ | ١٠ | ٢٤٩ | ٠٠٨٤ | ١٥١٢ | ٣٦ | ١٥ |
| ٩٩٧٠ | ٠٥١٩٠ | ٢٤ | ٢٧٣ | ٠٠٤٢ | ١٥٥٤ | ٣٧ | ١٦ |

ثم نعبّر عن السرعة اللحظية لمركز ثقل الرأس بيانيا كما في شكل (٢٢) .
وبنفس الطريقة المتبعة في جدول (٧) يمكن جدولة المدلولات الخاصة لتحديد
السرعة الزاوية اللحظية لمراكز ثقل كل من الجسم والجذع والذراعين والرجلين كل
على حدة والتعبير عنها بيانيا .



شكل (٢٢)

منحنى السرعة الزاوية اللحظية لمراكز ثقل الرأس
خلال المرجحة لأسفل ولأعلى حتى لحظة كسر الاتصال خلال
المسار الحركي لمهارة كيموتسو على جهاز المتوازيين

ز - تعيين مسار العجلة الزاوية لمراكز ثقل كل من أجزاء الجسم أو الجسم خلال أداء المهارة الرياضية .

تعرف العجلة الزاوية بأنها معدل تغيير السرعة الزاوية ويعبر عنها جبرياً بالمعادلة التالية :-

$$\bar{\omega} = \frac{\omega_f - \omega_i}{t_f - t_i} \dots (25)$$

حيث (ω_i, t_i) السرعة الزاوية الابتدائية والزمن الابتدائي و (ω_f, t_f) السرعة الزاوية النهائية والزمن النهائي و $(\bar{\omega})$ العجلة الزاوية المتوسطة .
 لنفرض أن لاعب الجحبار في المثال السابق كانت السرعة الزاوية لمركز ثقل كتلة رأسه عند لحظة مروره على الوضع الأفقي خلال المرححة لأسفل كانت (9.97 rad/sec) ، وكانت السرعة الزاوية لمركز ثقل كتلة رأسه عند وصوله تحت عارضة المتوازيين بعد مضي (0.084 sec) كانت (2.91 rad/sec) فإن العجلة الزاوية المتوسطة لمركز ثقل الرأس تكون :

$$\bar{\omega} = \frac{9.97 - 2.91}{0.084} = 84.1 \text{ rad/sec}$$

وتعطي المعادلة (25) قيمة العجلة الزاوية اللحظية وذلك عندما تتحول قيمة الفترة الزمنية المناظرة الى الصفر أى أن العجلة الزاوية اللحظية تعطى بالمعادلة التالية :

$$\omega = \lim_{\Delta t \rightarrow 0} \frac{\omega_f - \omega_i}{t_f - t_i} = \frac{d\omega}{dt} \dots (26)$$

وبأخذ المعادلة التالية (23) في الاعتبار بالنسبة للسرعة الزاوية ينتج أن :

$$\omega = \frac{d\Theta}{dt}$$

حيث تحصل على العجلة الزاوية على أنها المعامل التفاضلي الثاني لمسار الزاوية بالنسبة للزمن ويعبر عنها بالمعادلة :

$$\dot{\omega} = \frac{d\omega}{dt} = \frac{d\left(\frac{d\Theta}{dt}\right)}{dt} = \frac{d^2\Theta}{dt^2} = \ddot{\Theta} \dots (27)$$

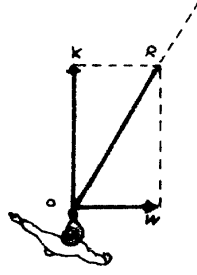
ومن المعروف أن كلا من السرعة الزاوية وعجلتها مقادير متجهة . يمكن تعيينها مقداراً واتجاهاً باستخدام نظام المحاور الكارتيزية المتعامدة ونظام المحاور القطبية . ويفضل في مجال التحليل الحركي استخدام نظام المحاور القطبية . ويمكن للباحث أن يوجد السرعة الزاوية اللحظية باستخدام المعادلة (23) كما سبق ، وكذلك العجلة الزاوية اللحظية باستخدام المعادلة (26) ، حيث تشكل معرفة القيمتين (ω) ، ($\dot{\omega}$) في حالات مثل كسر الاتصال في حركة الوثب أهمية كبيرة . حيث تتعلق هذه الأهمية بالحركة الدورانية للجسم في مرحلة الطيران كما يحدث في حركات القفص والدورات الاكروباتية في الجمباز .

ح - حساب زمن الجسم المقذوف - سواء كان جسم الانسان أو أداة - والمسافة الأفقية خلال مرحلة الطيران .

على الرغم من أن التشابه لا يبدو واضحاً بين العديد من المهارات الرياضية مثل حركة لاعب الأكروبات على الترمبولين وحركة دفع الجلة وحركة لاعب الجولف إلا أن جميع هذه الحركات الرياضية وحركات أخرى كثيرة تعتبر جميعها مقذوفة ، حيث يتوقف نجاح اللاعب في أداء هذه الحركات على مدى نجاحه في قذف جسمه أو قذف الجلة أو قذف كرة الجولف فلاعب الترمبولين يهتم أساساً بالزمن الذي يستمر فيه جسمه في الهواء كمقذوف لأنه يدرك أنه كلما طال هذا الزمن كلما سهل عليه إنجاز الواجب الحركي المنوط إليه في هذا الزمن .

أما قاذف الجلة فإنه لا يهتم كثيراً بطول زمن طيران الجلة في الهواء ولكنه يهتم أساساً بالمسافة الأفقية التي ستقطعها الجلة حتى تصل الى الأرض . بينما تختلف إهتمامات لاعب الجولف عن اللاعبين السابقين حيث أنه يهتم كثيراً بمسار كرة الجولف ، فهو عندما يريد أن يضرب الكرة بغرض مرورها فوق حاجز مثل بعض الأشجار فإنه يهتم بالدرجة الأولى بالمسار فوق هذه الأشجار . مما سبق نجد أنه بالرغم من أن الثلاثة حركات تعتبر حركات مقذوفية إلا أن إهتمامات اللاعبين فيها تختلف وفقاً لهدف الحركة .

ولحساب زمن المقذوف - سواء كان جسم الإنسان أو أداة - تتصور كرة القدم في وضع ثابت على أرض الملعب ، فإذا ضربت الكرة من حارس المرمى مثلاً بغرض قذفها في مسار منحنى ، ودرسنا سرعتها عند الانطلاق سوف نجد أن السرعة المحصلة للكرة يمكن تمثيلها مقداراً واتجاهاً بالسهم (V_r) المبين بالشكل (٢٣) .



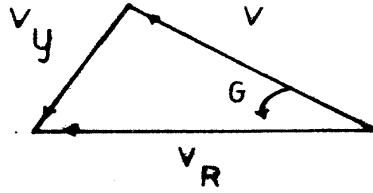
شكل (٢٣)

السرعة المحصلة V_r لقذف كرة قدم ومركبتها
الأفقية (V_x) والرأسية (V_y).

فإذا حللنا هذه السرعة الى مركبتها الأفقية (V_x) ، الرأسية (V_y) فإن تأثير كل منها يمكن دراسته على حدة .
المركبة الأفقية (V_x) .
سوف تؤثر المركبة (V_x) في اتجاه أفقى موازى لسطح الأرض ويتأثر بها زمن الطيران والمدى .

المركبة الرأسية (V_y) .

أما المركبة الرأسية فيلزم دراسة علاقتها بالسرعة المحصلة عن طريق تمثيل السرعة المحصلة ومركباتها بثلاث قوى وتره يمثل السرعة المحصلة بينما ضلعه الرأسى يمثل المركبة الرأسية وضلعه الأفقى يمثل المركبة الأفقية شكل (٢٤) .



شكل (٢٤)
مثلث السرعات

ومن الشكل (٢٤) يمكن استخلاص العلاقات التالية :-

$$i - V_T = \sqrt{(V_y)^2 + (V_x)^2} \dots (28)$$

$$ii - V_y = V_T \sin \beta \dots (29)$$

$$iii - V_x = V_T \cos \beta \dots (30)$$

ويمكن حساب الزمن الذى تستغرقه الكرة حتى تصل الى أقصى ارتفاع باستخدام المعادلة التالية :-

$$t_{up} = \frac{V_T \cdot \sin \cdot \Theta}{g} \dots (31)$$

حيث t_{up} = الزمن الذى تستغرقه الكرة من لحظة انطلاقها من الأرض حتى وصولها لأقصى ارتفاع ، V_T = محصلة السرعة لحظة الانطلاق ، g = عجلة الجاذبية الأرضية .

ولمعرفة زمن الطيران الكلى يلزم معرفة الزمن الذى تستغرقه الكرة للوصول الى الأرض من لحظة وصولها الى أقصى ارتفاع وصلت إليه . فإذا كانت نقطة الهبوط فى نفس مستوى نقطة الانطلاق فإن زمن الصعود سوف يعادل زمن الهبوط ويصبح الزمن الكلى (T) كما بلى :-

$$T = t_{up} + t_{down} = 2t_{up}$$

وحيث أن:

$$t_{up} = \frac{V_T \cdot \sin \Theta}{g}$$

$$\therefore T = \frac{V_T \cdot \sin \Theta}{g} + \frac{V_T \cdot \sin \Theta}{g}$$

$$= \frac{2 V_T \sin \Theta}{g} \dots (32)$$

ولكن في الحركات الرياضية لا تقابلنا مثل هذه الحالة حيث تكون نقطة الانطلاق هي نفس نقطة الهبوط ، ففي حركة قذف الجلة مثلا أو أداء الدورة الهوائية الأمامية المنحنية من الوقوف على اليدين للتزول على الأرض على جهاز المتوازيين نجد أن نقطة الانطلاق أعلا من نقطة الهبوط ولذلك فإن المعادلة السابقة لا تصلح لإيجاد زمن الطيران حيث يكون زمن الطيران أطول في هذه الحالة من السابقة ولحساب هذا الزمن تستخدم المعادلة التالية :-

$$T = \frac{V_t \sin \Theta + \sqrt{(V_t \sin \Theta)^2 + 2gh}}{g} \dots (33)$$

حيث $V_t \sin \Theta$ = المركبة الرأسية للسرعة . g = عجلة الجاذبية ، h = المسافة الرأسية بين نقطة الانطلاق والهبوط . وكما سبق القول فإن اللاعب قد تكون اهتماماته الأساسية منصبة على المسافة الأفقية للمقذوف وليس زمن الطيران ، ولإيجاد المسافة الأفقية (D) للمقذوف يمكن تطبيق المعادلة التالية :-

$$D = V_x \cdot T \dots (34)$$

حيث D = المسافة الأفقية ، V_x = السرعة الأفقية ، T = زمن الطيران .

$$V_x = V_t \cos \Theta$$

ولكن

$$D = V_t \cos \Theta \cdot T$$

٢-٣ التحليل الكيناتيكي الجوى للحركات الرياضية .

تستلزم دراسة الخصائص الكيناتيكية الجوية لأي حركة رياضية تحليل الأداء الحركي لهذه الحركة لتحديد المدلولات الكيناتيكية التالية :-
١- تعيين منحني القوة المؤثرة على مركز ثقل كتلة الجسم كدالة للزمن خلال مرحلة الاتصال .

ب - تعيين منحني دفع القوى المؤثرة على مركز ثقل كتلة الجسم كدالة للزمن خلال مرحلة الاتصال .

ج - تعيين منحني دفع الدوران المؤثرة على مركز ثقل الجسم خلال مرحلة الاتصال .

د - تعيين منحني طاقة الحركة الدورانية للجسم كدالة للزمن خلال مرحلة الاتصال .

هـ - تعيين منحني طاقة الوضع للجسم كدالة للزمن خلال مرحلة الاتصال .

١ - تعيين منحني القوة المؤثرة على مركز ثقل كتلة الجسم خلال مرحلة الاتصال .
تعرف القوة عموماً بأنها الفعل الذي يحاول تغيير حالة سكون أو حركة الجسم المؤثر عليه ، وتوجد أشكال كثيرة للقوة مثل قوة الجاذبية الأرضية ، والضغط والشد . كما أنه معروف من الخبرات الرياضية أن الانقباض العضلي (القوة) ضروري مثلاً لدفع جلة أو للوثب العالى أو لرفع الأثقال أو للتحكم في المهيوط من فوق جهاز الجيمبار أو للتجديف .

كما يتطلب الثبات في وضع الوقوف على اليدين على جهاز المتوازيين بذل قدراً من القوة للاحتفاظ بالجسم في هذا الوضع .

فالقوة في الحالة الأولى هي سبب حدوث الحركة وهذا ما يسمى بالتأثير الديناميكي للقوة أما القوة في الحالة الثانية فقد تسببت في تغيير شكل الجسم المؤثر عليه - تقوس عارضتي المتوازيين - كما تتوازن القوة مع الشد الحادث في هذا الجسم وهذا ما يسمى بالتأثير الاستاتيكي للقوة . والقوة مقدار حسابي يمكن تمثيله ولكن لتحديد قوة الضغط يجب معرفة نقطة تأثيرها ومقدارها وكذا اتجاهها .

وتعتبر القوة العضلية الموجه الأساس للأداء المهارى .

ويمكن تحديد مقادير القوى المؤثرة على مركز ثقل الجسم كدالة للزمن خلال مرحلة الاتصال أثناء أداء أى مهارة رياضية عن طريق ما يلي :-

طريقة القياس .

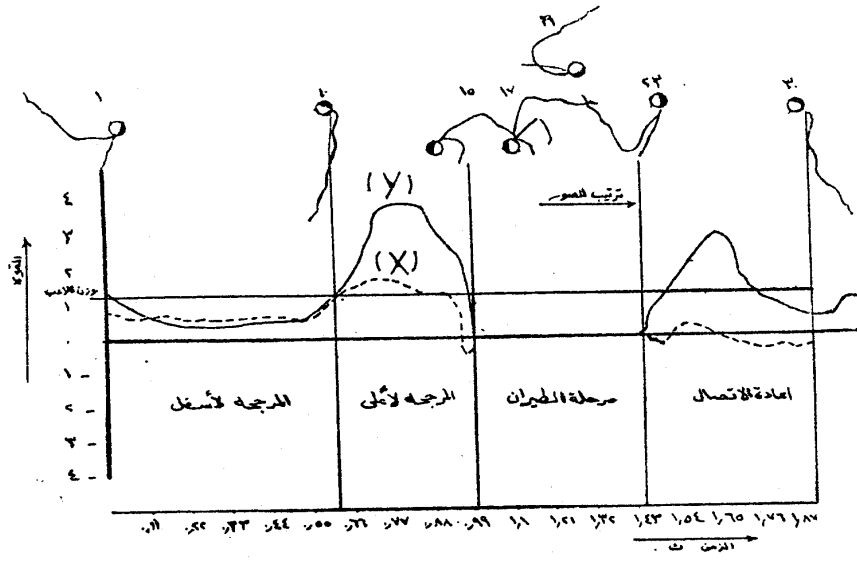
طريقة الحساب .

طريقة القياس .

- تستخدم أجهزة قياس القوى سواء كانت مصممة على أساس ميكانيكى أو على أساس القياس بالاستطالة (التمدّد) . فى معظم الاحيان لتدوين القوى كدالة للزمن فى كل من الاتجاهين الرأسى والأفقى بصورة فورية .
- فمثلاً اذا أردنا الحصول على منحنى التغير فى القوى المؤثرة على مركز ثقل الجسم فى كل من الاتجاهين الرأسى والأفقى ومحصلتها كدالة للزمن خلال المرجحة لأسفل ولاعلى حتى لحظة كسر الإتصال خلال المسار الحركى لمهارة الدورة الهوائية الأمامية المنحنية من الإرتكاز للإرتكاز على جهاز المتوازيين تتبع الخطوات التالية :-
- ١- يركب جهاز تدوين القوى فى احدى عارضتى المتوازيين .
 - ٢- يتم معايرة عارضة المتوازيين المركب فيها جهاز تدوين القوى أنظر الفصل (١) بند (٣) جهاز تدوين القوى للمؤلف .
 - ٣- يؤدى اللاعب الدورة الهوائية الامامية المنحنية من الارتكاز للإرتكاز على جهاز المتوازيين حيث تحصل على المنحنى المبين فى شكل (٢٥) .
 - ٤- باستخدام الجدول (٨) يمكن تحويل وحدة القياس إلى وحدات قياس القوة حيث تحصل على المنحنى المبين بالشكل (٢٦) .
- جدول (٨)

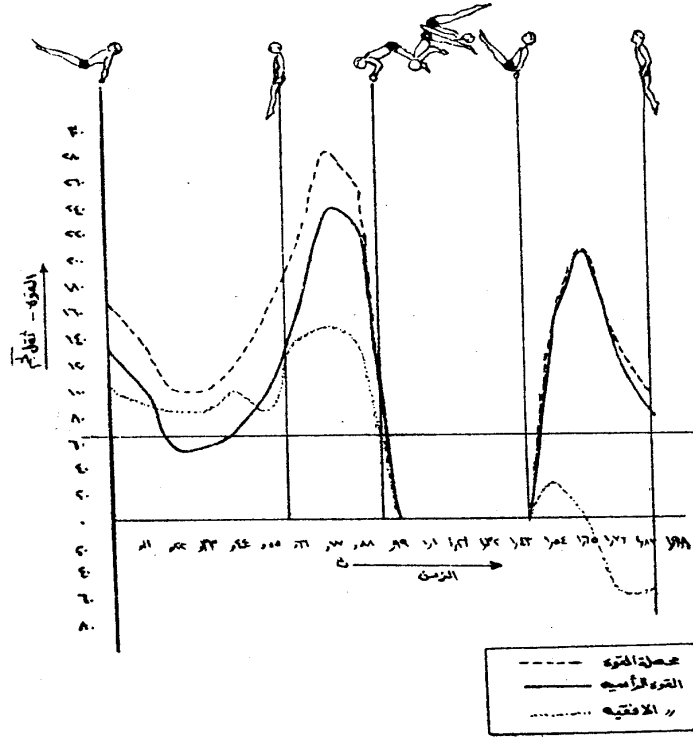
المعامل الاستبدالى على المحور الرأسى والأفقى

| K_f Kgm/sec ² | K_f Kgm/sec ² | X_G m.m | Y_G m m | $G.$ Kgm /sec ² | μ |
|-------------------------------|-------------------------------|--------------|--------------|-------------------------------|-------|
| ٧.١ | ٧.١ | ٧ | ٧ | ٥٠ | ١ |
| ٢.٠ | ٢.٠ | ١٢ | ١٢ | ٦٠ | ٢ |
| ٥.٠ | ٥.٠ | ١٣ | ١٣ | ٦٥ | ٣ |
| ٢.٥ | ٢.٥ | ١٩ | ١٩ | ٨٠ | ٤ |
| ٢.٥ | ٢.٥ | ٢٥ | ٢٥ | ٩٥ | ٥ |
| ٢.٠ | ٢.٠ | ٣٠ | ٣٠ | ١٠٥ | ٦ |
| ٢.٠ | ٢.٠ | ٤٠ | ٤٠ | ١٢٥ | ٧ |
| ٢.٠ | ٢.٠ | ٥٠ | ٥٠ | ١٤٥ | ٨ |



شكل (٢٥)

منحنى التغير في القوى المؤثرة على CG في اتجاه كل من المركبتين
الرأسية والأفقية خلال أداء الدورة الهوائية الامامية المنحنية على جهاز
التوازنين كما دونها جهاز تدوين القوى (للمؤلف)



شكل (٢٦)

منحنى التغير في القوى المؤثرة على CG في اتجاه كل من المركبتين الرأسية والأفقية خلال أداء الدورة الهوائية الأمامية المنحنية على المتوازيين (عن المؤلف) .
وبدلالة كل من المركبتين الرأسية والأفقية يمكن حساب محصلة القوى عن طريق استخدام المعادلة التالية :-

$$F_R = \sqrt{(F_y)^2 + (F_x)^2} \dots \quad (34)$$

طريقة الحساب .

في معظم الحالات التي يتعذر فيها توفر أجهزة تدوين القوى يلجأ الباحث إلى طريقة حساب القوى باستخدام المدلولات الذي يحصل عليها من الفيلم السينمائي وفق الخطوات التالية :-

١ - نحسب مقادير العجلة اللحظية في كل وضع من الأوضاع موضع الدراسة . باستخدام المعادلة (21) .

٢ - نحسب كتلة جسم اللاعب باستخدام المعادلة التالية :-

$$m = \frac{G}{g} \dots (35)$$

حيث $G =$ وزن الجسم ، $g =$ عجلة الجاذبية

٣ - نحسب مقدار القوة المؤثرة على مركز ثقل الجسم في كل وضع من الأوضاع موضع الدراسة عن طريق استخدام المعادلة التالية :-

$$F = m \bar{a} \dots (36)$$

ثم نحدد البيئات ونعبر عنها بيانيا ، فعلى سبيل المثال لو أردنا حساب القوة المؤثرة على مركز ثقل كتلة جسم لاعب الهواجز خلال المسار الحركي في الارتكاز قبل الحاجز تتبع الخطوات التالية :-

١ - نحدد وزن اللاعب وليكن ٧٠ ثقل كجم .

$$\text{إذن كتلته} = \frac{70}{9.81} = 7.10 \text{ كجم}$$

٢ - نحسب مقدار العجلة اللحظية عند الصورة (٢) وليكن (-٢٥٠ م/ث^٢) .

٣ - نحسب مقدار القوة المؤثرة على مركز ثقل الجسم عند الصورة (٢) كما يلي :-

$$\text{القوة} = - 250 \times 7.1 = - 1775 \text{ كجم م/ث}^2$$

٤ - نحسب بنفس الطريقة السابقة القوة المؤثرة على مركز ثقل الجسم في كل

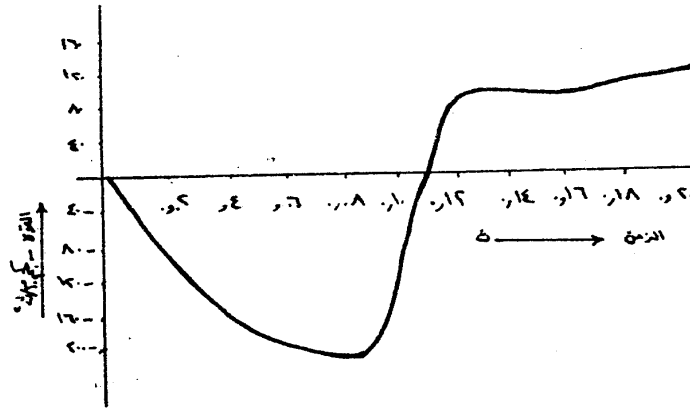
وضع من الأوضاع المحددة كنقاط للدراسة ونحدد البيئات كما في الجدول (٩) ويعبر عنها بيانيا كما في شكل (٢٧) .

جدول (٩)

حساب القوة المؤثرة على مركز ثقل كتلة الجسم
خلال المسار الحركي في الارتكاز قبل الحاجز

| م | ترتيب الصور | الزمن (ث) | المجلة اللحظية م/ث | الكتلة كجم | القوة كجم.م/ث |
|---|-------------|-----------|--------------------|------------|---------------|
| ١ | ١ | ٠ | ٠ | ٧١ | ١٧٧ر٥- |
| ٢ | ٢ | ٠ر٠٤ | ٢٥ر٠- | ٧١ | ٢١٣ر٠- |
| ٣ | ٤ | ٠ر٠٨ | ٣٠ر٠- | ٧١ | ٨٨ر٨ |
| ٤ | ٦ | ٠ر١٢ | ١٢ر٥٠ | ٧١ | ٨٨ر٨ |
| ٥ | ٨ | ٠ر١٦ | ١٢ر٥٠ | ٧١ | ١٢٤ر٣٠ |
| ٦ | ١٠ | ٠ر٢٠ | ١٧ر٥٠ | ٧١ | |

تدل = على بداية الارتكاز



شكل (٢٧)

منحنى القوة المؤثرة على CG كدالة للزمن خلال
المسار الحركي في الارتكاز قبل الحاجز للاعب
الحواجز (عن عبد النبي)

ب - تعيين منحى دفع القوى المؤثرة على مركز ثقل الجسم في اتجاه كل من المركبتين الرأسية والافقية ومحصلتها كدالة للزمن خلال أداء المهارة الرياضية .
يعرف دفع القوة بحاصل ضرب القوة في زمن تأثيرها . ويمكننا استنباط مدلول الدفع من القانون الأساسى للديناميكا وأساس هذا الاستنباط هو القوة المحركة الثابتة . فإذا اكتسبت هذه القوة جسماً من الأجسام التي كانت في حالة ثبات عجلة معينة لمدة معينة ، فإن هذا الجسم يصل إلى سرعة نهائية معينة ويمكن حساب مقدار السرعة النهائية باستخدام المعادلة ($V = at$) وبضرب المعادلة الأساسية للديناميكا في (t) باعتبارها زمن تأثير القوة فإننا نحصل على العلاقة التالية :-

$$F \cdot t = m \cdot a \cdot t$$

فإذا عوضنا عن ($a \cdot t$) بالسرعة النهائية (V) فإن المعادلة تصبح :

$$F \cdot t = m \cdot V \dots (37)$$

وينسب نيوتن الناتج ($m \cdot v$) لكمية الحركة . وكثيراً ما يستخدم حالياً تعبير الدفع ، ويلاحظ ان الجانب الأيسر من المعادلة هو ($F \cdot t$) يتضمن مدلولات عديدة هي ضغط القوة أو طاقة القوة أو دفع القوة وحتى نتجنب حدوث أى خلط في هذا المجال فإنه ينبغي علينا اعتبار أن ($m \cdot v$) التغير في كمية الحركة . ولاصطلاح الدفع أهمية خاصة للعمل في مجال الميكانيكا الحيوية لأن جميع الأجهزة الديناميكية تسجل سير القوة مع الزمن . كما يلاحظ أن القوة تكون بشكل عام غير ثابتة المقدار أثناء مدة تأثيرها ديناميكاً ، وعلى الأخص فيما يتعلق بالحركات الرياضية .
وفي هذه الحالة يعبر مقدار المساحة عن دفع القوة بين زمنين مع مراعاة دالة (القوة - الزمن) ، ويكون مقدار المساحة مساوياً للتغير الخاص بكمية الحركة فيما يتعلق بالجسم المتحرك بعجلة تزايدية أو تقصيرية في هذا الزمن . ويمكن التوصل إلى معرفة المساحة الواقعة بين منحى الدالة والاحداثيات بطريقة الرياضيات باستخدام تكامل الدالة . خلال زمنين معينين ولذا فإن الصياغة العامة التي يعطيها لنا علم الرياضيات والتي تحدد العلاقة بين دفع القوة والتغير في كمية الحركة تكون كما يلي :-

$$\int_{t_1}^{t_2} F(t) dt = m (V_2 - V_1) \dots (38)$$

ونظرا إلى أن العلاقة بين الزمن والقوة بالنسبة للحركات الرياضية ليست دالة يمكن تحليلها باستخدام الرياضيات بشكل عام . ويترب على ذلك عدم القدرة على إيجاد التكاملات المضبوطة عن طريق الرياضيات ، لذلك فإن الفرد يضطر إلى التقريب بما يجعل من الممكن إيجاد المساحات المحصورة بين منحنيات القوة والزمن باستخدام طرق تخطيطية (مم^٢) أو (سم^٢) أو استخدام ميزان استواء السطوح planimeter لتحديد المساحة تحت منحنى دالة القوة والزمن .

ونظرا لتعذر الحصول على ميزان استواء السطوح فإن معظم الباحثين يلجؤون لاستخدام الطريقة البيانية (التخطيطية) في تحديد المساحة واستكمالاً للمثال السابق عندما ترغب في تحديد دفع القوى المؤثرة على مركز ثقل الجسم خلال المرحلة لأسفل ولأعلى حتى لحظة كسر الاتصال خلال المسار الحركي لأداء الدورة الهوائية الأمامية المنحنية من الارتكاز للإرتكاز على جهاز المتوازيين تتبع الخطوات التالية :-

٢- تحسب المساحة في اتجاه كل من المركبتين الرأسية والأفقية كدالة للزمن وفق ما يلي :-

- ١- يقسم المحور السيني المثل للزمن إلى فترات زمنية صغيرة نسبيا ومتساوية .
- ٢- تقسم المساحة تحت المنحنى إلى مساحات مناظرة للفترات الزمنية المحددة سابقا .
- ٣- تحسب المساحات في البند (٣) بيانا (للفترات الزمنية المحددة) .
- ٤- تحسب المساحات المختلفة تحت المنحنى المناظر للأزمنة المختلفة - متخفف الفترات الزمنية - مع الأخذ في الاعتبار تراكم هذه الأزمنة مع السابقة لها لتلك المساحات كما موضح في شكل (٢٨) ، جدول (١٠) .

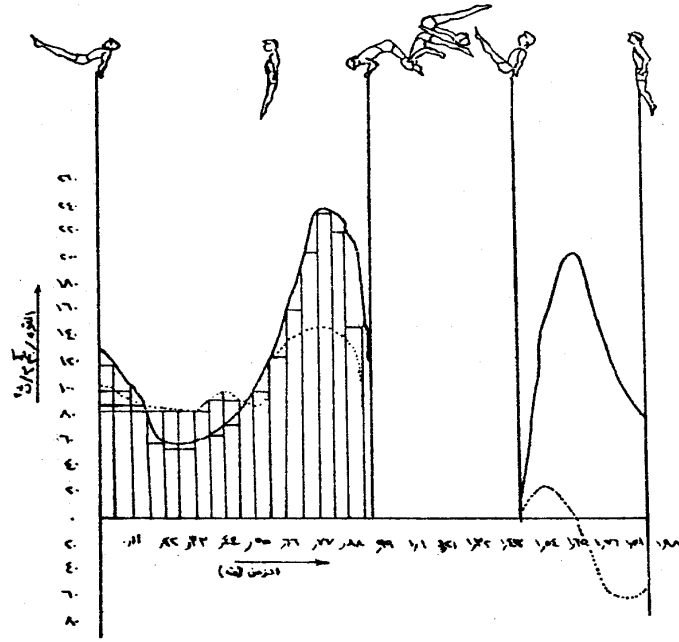
ب- باستخدام الجدول (١٠) يتم رسم منحنى دفع القوى المؤثرة على مركز ثقل الجسم كدالة للزمن في اتجاه كل من المركبتين الرأسية والأفقية خلال المرحلة لأسفل ولأعلى حتى لحظة كسر الاتصال خلال المسار الحركي لأداء الدورة الهوائية الأمامية المنحنية على المتوازيين كما في شكل (٢٩) .

جدول (١٠)

دفع القوة المؤثرة على مركز ثقل كتلة الجسم في اتجاه كل من المركبتين الرأسية والافقية خلال المرجحة لاسفل ولأعلى حتى لحظة كسر الإتصال في الدورة الهوائية الامامية المنحنية من الارتكاز للارتكاز على المتوازيين

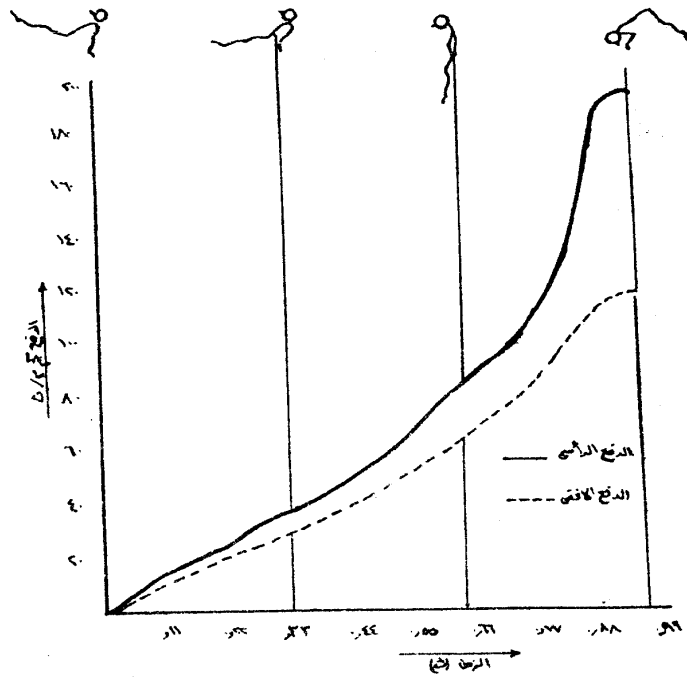
| الرقم مسلسل | ترتيب الصور | الزمن بالثانية | دفع القوى الرأسي كجم . م / ث | دفع القوى الأفق كجم . م / ث |
|-------------|-------------|-------------------|------------------------------------|-----------------------------------|
| ١ | ١ | صفر | صفر | صفر |
| ٢ | ٥ | ٠.٣١ | ٢٤ | ٣٠ |
| ٣ | ١٠ | ٠.٦٣ | ٦٧ | ٦٦ |
| ٤ | ١٥ | ٠.٩٤ | ١٩٤ | ١١٨ |

وبالمثل يتم رسم منحني دفع القوى في اتجاه المركبة الأفقية من منحني القوة - الزمن في اتجاه المركبة الافقية ، كذلك يتم رسم منحني دفع القوى في اتجاه المحصلة من منحني القوة - الزمن في اتجاه المحصلة .



شكل (٢٨)

تقسيم المساحة تحت منحنى دالة القوة - الزمن في اتجاه المركبة الرأسية خلال المراجعة
 لاسفل ولاعلى حتى لحظة كسر الاتصال في الدورة الهوائية الأمامية المنحنية على جهاز
 المتوازيين (عن المؤلف)



شكل (٢٩)
الدفع في الاتجاه الرأسى والافقى (عن المؤلف)

ج - تعيين منحني دفع الدوران المؤثرة على مركز ثقل الجسم حول محور الدوران في اتجاه كل من المركبتين الرأسية والافقية ومحصلتها خلال أداء المهارة الرياضية .
يعرف دفع الدوران بأنه عزم الدوران الذي يكسب الجسم حركة دورانية ذات عجلة ويعرف بحاصل ضرب عزم الدوران (M) في زمن تأثير القوة (t) .
وقد علمنا أن القانون الأساسى للديناميكا في الحركة المستقيمة هو ($F = m \cdot a$) ولكن في الحركة الدائرية نستعوض عن القوة (F) بعزم الدوران (M) وبدلاً من الكتلة (m) ينشأ عزم قصور ذاتي للكتلة قدرة (J) وبدلاً من عجلة المماس (a) تنشأ عجلة زاوية قدرها (α) وبذلك تصبح المعادلة :

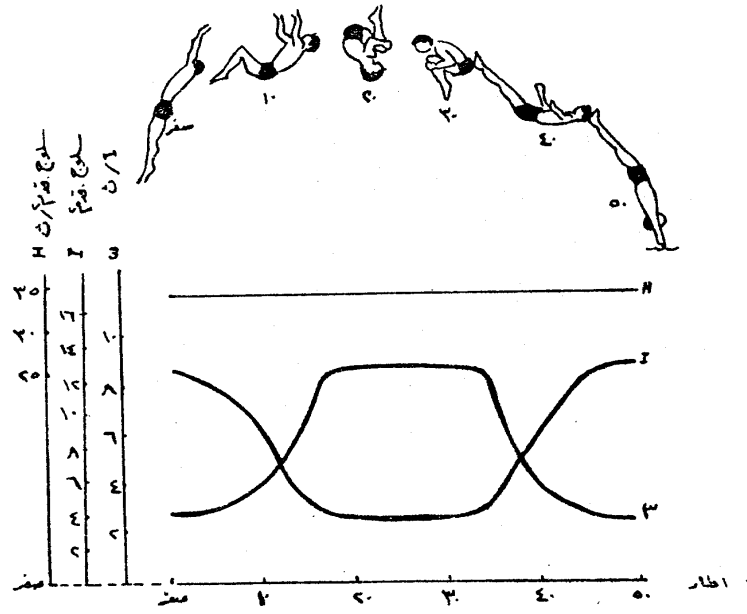
$$H = J \alpha \dots (39)$$

ويمكن التوصل إلى معرفة دفع الدوران أيضا عن طريق مشاهدة مشابهة أو عن طريق ضرب القانون الأساسي للديناميكا في زمن الاستغراق (t) الخاص بتأثير القوة، وبذلك تكون المعادلة :

$$H = M . t = J . \omega \dots (40)$$

(في حالة عزم ثابت بدون سرعة زاوية ابتدائية)

ويلاحظ أنه للحصول على مقدار كمية الحركة الزاوية (دفع الدوران) المتحصل عليها يجب مراعاة أن كمية الحركة الزاوية = مقدار ثابت . ويعني ذلك أن كمية الحركة الزاوية يمكن اختزانها مثل كمية الحركة الخطية . وعندما يؤدي الجسم حركة دورانية فإن كمية حركته الزاوية لا تتغير - مع تجنب أى قوى خارجية - وهذه الحقيقة يمكن ملاحظتها عمليا في الجمباز، الغطس، القفز وفي جميع الرياضيات التي يصبح فيها الجسم طائراً في الهواء خلال المسار الحركي للمهارة فمثلا لاعب الغطس عندما يؤدي دورة هوائية خلفية وتصنف والجسم متكور يلاحظ ان اللاعب لحظة ترك سلم القفز والجسم ممتداً فإنه يحصل على كمية حركة خطية وأخرى دورانية فكمية الحركة الخطية تقذفه ليرتفع في الهواء وتعطيه الزمن اللازم لإتمام مرحلة طيرانه في حين أن كمية الحركة الزاوية تكسبه الدوران خلال أداء الدورة الهوائية والنصف . وباختصار عقب دفع اللاعب سلم القفز يشي مفاصل الفخذين والركبتين للوصول لوضع التكور حيث تصبح كتلة الجسم قريبة جداً من محور الدوران فيقل عزم القصور الذاتي للجسم وتزيد سرعته الزاوية . وليس للقوة الداخلية (القوة العضلية) التي تسببت في تكور الجسم أى تأثير على تغيير كمية الحركة الزاوية للجسم - لأن كمية الحركة الزاوية لا يمكن تغييرها إلا بازدواج خارجي أو بقوة لا مركزية وفق مبدأ بقاء كمية الحركة الزاوية - بل ينحصر تأثيرها في إقلال عزم القصور الذاتي للجسم وبالتالي يؤدي الى زيادة سرعته الزاوية . ويحدث العكس عندما يتم اللاعب الدورة والنصف ويصبح الجسم في وضع يسمح له بالهبوط في الماء حيث يمد اللاعب جسمه فيزيد عزم قصوره الذاتي وتقل سرعته الزاوية استعدادا للدخول في الماء كما في شكل (٣٠) .



شكل (٣٠)

العلاقة بين السرعة الزاوية وعزم القصور الذاتي عند ثبات كمية الحركة الزاوية في قفزة دورة هوائية خلفية ونصف والجسم متكور

أما في حالة تغير العزم ووجود سرعة زاوية ابتدائية فإن المعادلة تصبح :-

$$\int_{t_1}^{t_2} M(t) dt = (J\omega)_2 - (J\omega)_1 \quad (41)$$

وقد قام كل من ميلر Miller (١٩٧٠) ، رامى Ramy (١٩٧٣) ، هاى Hay وولسن Wilson (١٩٧٥) بمحاولات لحساب كمية الحركة الزاوية بأساليب تقنية مختلفة تلخصها فيما يلى :-

أولاً - طريقة ميلر .

يفترض ميلر في طريقته لحساب كمية الحركة الزاوية ثبات وضع الجسم خلال النقطة التي لا تؤثر القوة الخارجية على الجسم فيها وعلى ذلك تم حساب عزم القصور الذاتي للجسم كله (J_T) حول المحور الأفقي للجسم من مدلولات التحليل السينمائي باستخدام طريقة التجزئة ونظرية المحاور المتوازية وحددت السرعة الزاوية من خلال إزاحتها الزاوية بعدد من كوادرات الفيلم واستخدام العلاقة التالية :-

$$H_T = J_T \cdot \omega \dots (42)$$

في حساب كمية الحركة الزاوية للجسم حول المحور الأفقي .
حيث H_T = كمية الحركة الزاوية .
 J_T = عزم القصور الذاتي للجسم كله .
 ω = السرعة الزاوية للجسم كله .

ثانياً - طريقة رامى .

وفق رامى طريقته في الربط بين استخدام الفيلم السينمائي ومنصة تسجيل القوى لتحديد منحنيات (عزم القوة - الزمن) ومن ثم التغير في كمية الحركة الزاوية تجريبياً بواسطة الجسم . استخدام العلاقة التالية لحساب التغير الناتج في كمية الحركة الزاوية :-

$$\vec{\Delta H} = \int (\vec{F} \cdot \vec{r}) dt \dots (43)$$

حيث \vec{F} = القوة العضلية المبذولة من قبل اللاعب والمقاسة بمنصة القوى ، H = التغير في كمية الحركة الزاوية . r = بعد مركز ثقل الجسم لتوجيه القوة عند اتصاله بمنصة القوة لانتاج القوة .

ثالثاً - طريقة هاى . ويلسن .

استخدما هاى . وويلسن في طريقتهما أسلوب التجزئ باستخدام بيانات التصوير السينمائي لتحديد القيمة القياسية للتغير في كمية الحركة الزاوية بين كوادرات الفيلم المتابعة عن طريق المعادلة التالية :-

$$H_T = \sum (I_{Ti} \omega_i + m_i r_i^2 \omega_i^*) \dots (44)$$

حيث $I_T =$ عزم القصور الذاتي للعضو حول المحور الأفقي المار بمركز ثقله والموازي لمحور الدوران. $\omega_i =$ السرعة الزاوية للعضو حول المحور الأفقي المار بمركز ثقله. $m_i =$ كتلة العضو. $r_i =$ المسافة بين مركز ثقل العضو ومركز ثقل الجسم كله. $\omega =$ السرعة الزاوية لمركز ثقل العضو حول مركز ثقل الجسم كله.

كما قاما هـى وويلسن بدراسة مقارنة بين الثلاثة طرق السابقة لحساب كمية الحركة الزاوية لجسم الانسان واستفرت نتائج هذه الدراسة عن عدم وجود فرق معنوي بين القياسات التي يمكن الحصول عليها باستخدام هذه الطرق الثلاثة كما اشارا إلى أن القياسات في الطرق المستخدمة ليست دقيقة بدرجة عالية إلا أنه من الممكن استخدام إحدى الطرق السابقة لحساب كمية الحركة الزاوية وقد أوصا باختيار طريقة ميلر لسهولة تطبيقها.

غير أن الأمر عندما يتعلق باستخدام التصوير السينمائي وجهاز تدوين القوى في إيجاد التغير في كمية الحركة الزاوية يفضل استخدام طريقة رامى .

ففي حالة تحديد التغير في كمية الحركة الزاوية (التغير في دفعات الدوران) المؤثرة على مركز ثقل الجسم حول المحور التخيلي المار بمفصلي الكتفين في اتجاه كل من المركبتين الرأسية. الأفقية خلال المرجحة لأسفل ولأعلى حتى لحظة كسر الاتصال خلال أداء الدورة الهوائية الامامية المنحنية من الارتكاز للارتكاز على جهاز المتوازيين باستخدام مدلولات التصوير السينمائي وجهاز تدوين القوى نتج الخطوات التالية :-

١ - يتم تصوير وتدوين القوى في تزامن واحد للاعب خلال المرجحة لأسفل ولأعلى حتى لحظة كسر الاتصال .

٢ - يحدد مركز ثقل كتلة جسم اللاعب .

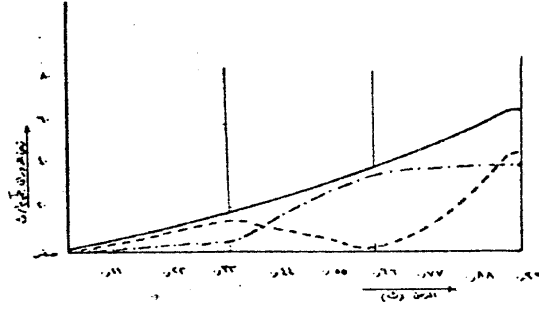
٣ - يحدد ويقاس ذراع العزم على النموذج القياسي التخطيطي لكل من المركبتين الرأسية والأفقية لكل وضع من الأوضاع المحددة كنقاط للدراسة خلال المرجحة لأسفل ولأعلى حتى لحظة كسر الاتصال .

٤ - يضرب ذراع العزم في مقياس الرسم للحصول على ذراع العزم الحقيقي ويتم حساب دفعات الدوران باستخدام المعادلتين التاليتين :-

$$M_y = P_y \cdot r_y \dots (45)$$

$$M_x = P_x \cdot r_x \dots (46)$$

حيث Mx = دفع الدوران في الاتجاه الرأسى . P_y = دفع القوة في الاتجاه الرأسى .
 P_x = دفع القوة في الاتجاه الأفقى . P_y = ذراع القوة في الاتجاه الرأسى .
 Mx = دفع الدوران في الاتجاه الأفقى .
 ٥ - تجداول البيانات كما في جدول (١١) ويرسم منحني دفع الدوران المؤثرة على مركز ثقل الجسم في اتجاه كل من المركبتين الرأسية والأفقية خلال المرحلة لاسفل ولأعلى حتى لحظة كسر الاتصال للدورة الهوائية الأمامية المنحنية من الارتكاز للارتكاز على جهاز المتوازيين كما في شكل (٣١) .



شكل (٣١)

منحني دفع الدوران المؤثرة على مركز ثقل الجسم في اتجاه كل من المركبتين الرأسية والأفقية خلال المرحلة لاسفل ولأعلى حتى لحظة كسر الاتصال خلال الدورة الهوائية الأمامية المنحنية من الارتكاز للارتكاز على المتوازيين (عن المؤلف)

جدول (١١)

دفع القوى ودفع الدوران المؤثرة على مركز ثقل الجسم في اتجاه كل من المركبتين الرأسية، الأفقية خلال المرحلة لأسفل ولأعلى حتى لحظة كسر الاتصال خلال أداء الدورة الهوائية الأمامية المنحنية من الارتكاز للارتكاز على الموازين

| ترتيب الصور | (ث) (م) | (كجم.م/ث) (كجم.م ^٢ /ث) | دفع الدوران | دفع القوى الأفقي | دفع القوى الأفقي | دفع الدوران | دفع القوى الأفقي | دفع القوى الأفقي | دفع الدوران |
|-------------|---------|-----------------------------------|-------------|------------------|------------------|-------------|------------------|------------------|-------------|
| ١ | صفر | صفر | صفر | صفر | صفر | صفر | صفر | صفر | صفر |
| ٥ | ٠.٣١ | ٠.٦٢ | ٩ | ٠.٥٥٨ | ٠.١٥٥ | ٠.١٥٥ | ٠.١٥٥ | ٠.١٥٥ | ٠.١٥٥ |
| ٨ | ٠.٥٥ | ٠.٤٠ | ٢٨.٠٥ | ١.١٢٢ | ٠.٦٠ | ٠.٦٠ | ٠.٦٠ | ٠.٦٠ | ٠.٦٠ |
| ١٦ | ١.٠ | ٠.٣٧ | ١٢١.٢٠ | ٤.٤٨٤ | ٠.٤٥ | ٠.٤٥ | ٠.٤٥ | ٠.٤٥ | ٠.٤٥ |

وفي حالة استخدام مدلولات التصوير السينائي في إيجاد كمية التغير في دفع الدوران يصبح من الأفضل استخدام طريقة ميلر .
ففي حالة تحديد كمية دفع الدوران المؤثرة على مركز ثقل الجسم في اتجاه كل من المركبتين الرأسية والأفقية خلال المرجحة لاسفل ولاعلى حتى لحظة كسر الاتصال خلال المسار الحركي لأداء مهارة كيموتسو على جهاز المتوازيين باستخدام طريقة ميلر تتبع الخطوات التالية :-

أولاً - حساب عزم القصور الذاتي لكتلة جسم الانسان نظريا .

يعتبر فيشر Fescher وبراون Braun أول من حاولا تحديد عزم القصور الذاتي لكتلة اجزاء جسم الانسان (١٨٨٩ م) حيث قاما بتحديد عزم القصور الذاتي لاطراف جثث مجمدة واستخدما في ذلك طريقة المرجحة .
وقد اكتشف دريليز Drillis ، كونتينى Contini ، بلويشتين Bluestein (١٩٦٤ م) ، جور فينكل Gurfinkel ، سفرونوف Saphronov (١٩٦٩ م) طرق تحديد عزم القصور الذاتي لأطراف جسم الإنسان أما يوهل Pohl (١٩٣٠ م) . هوخموث (١٩٦٠ م) ، نوبار Nubar (١٩٦٢ م) ، دى. يوز Du - Bois ، سانتشس Santschi (١٩٦٢ م) ، بويست Bouisset ، بيرتوزون Petuzon (١٩٦٧ م) ، كورزاكوف Korsakov وآخرون (١٩٧٠ م) تمكنوا من تحديد عزم القصور الذاتي لجسم الانسان بأكمله ونتيجة لهذه التجارب العملية تمكن ويتست Whitsett من إيجاد قيم عزوم القصور الذاتي لاجزاء الجسم البشرى كل على حدة حول المحور العرضى المار بمركز ثقل كل منها كما في جدول (١٢) .

ويمكن استخدام هذه القيم لتحديد عزم القصور الذاتي للجسم كله ، عن طريق استخدام نظرية المحاور المتوازية والتي تمكن من تحديد عزم القصور الذاتي للجسم حول أى محور يحدد اذا ما حدد عزم القصور الذاتي للجسم حول المحور المار بمركز ثقله والموازي لمحور الدوران ، ويمكن التعبير عن ذلك جبريا بالمعادلة التالية :-

$$J_A = \sum I_{CGi} + m_i d_i^2 \dots (47)$$

جدول (١٢)

عزم القصور الذاتي لأعضاء الجسم المختلفة كل على حدة حول المحور العرضي المار بمركز ثقل كل منها .

| اعضاء الجسم | عزم القصور الذاتي (سلوخ. قدم ^٢) | عزم القصور الذاتي (كيلو جرام . متر ^٢) |
|-------------|---|---|
| الرأس | ٠.١٨٣ر | ٠.٢٤١ر |
| الجزع | ٠.٩٣٠ر | ١.٢٥٥ر |
| العضد | ٠.١٥٧ر | ٠.٢١٢ر |
| الساعد | ٠.٠٥٦ر | ٠.٠٧٦ر |
| اليـد | ٠.٠٠٤ر | ٠.٠٠٥ر |
| الفخذ | ٠.٧٧٦ر | ٠.١٠٤٨ر |
| الساق | ٠.٣٧٢ر | ٠.٥٠٢ر |
| القدم | ٠.٠٢٨ر | ٠.٠٣٨ر |

حيث $J_A =$ عزم القصور الذاتي للجسم حول المحور الاقنى المار بالنقطة A $ICG_i =$ عزم القصور الذاتي للعضو حول المحور الموازي لمحور الدوران والمار بمركز كتلته، $m_i =$ كتلة العضو، $d^2 =$ مربع البعد بين المحاور المتوازية .
ولايضاح طريقة حساب عزم القصور الذاتي لجسم اللاعب حول محور الدوران، نفترض أننا نرغب في حساب عزم القصور الذاتي لكتلة جسم لاعب الجمنباز حول عارضتي المتوازيين خلال مرحلة الاتصال أثناء المسار الحركي لأداء مهارة كيموتسو .

خطوات تحديد عزم القصور الذاتي لمركز ثقل كتلة جسم اللاعب حول عارضتي المتوازيين خلال مرحلة الاتصال أثناء أداء مهارة كيموتسو .

١ - تحدد كتلة اللاعب باستخدام العلاقة التالية :-

$$m = \frac{G}{g}$$

ساقط من اصل

2
1
1
1

1
1
1
1

ساقط من اصل

2
1
1
1

1
1
1
1

ومعملومية المعامل الاستبدال K_A والمساحة الواقعة تحت منحنى دفع الدوران -
الزمن (S) ، (\bar{S}) يمكن حساب دفع الدوران الرأسى (H_y) ، دفع الدوران
الافقى (H_x) من العلاقة التالية :-

$$H_y = K_A \int y(x) dt \dots (53)$$

$$H_x = K_A \int \bar{y}(x) dt \dots (54)$$

$$S = \int y(x) dt \quad \text{حيث}$$

$$\bar{S} = \int \bar{y}(x) dt \quad ،$$

ثم تجدول البيانات فى جدول (١٤) .

هـ - تعيين منحنى طاق الحركة الدورانية للجسم خلال مرحلة الاتصال أثناء أداء
المهارة الرياضية .

من المعروف أن طاقة الحركة الدورانية حول محور ثابت تساوى حاصل ضرب
نصف كتلة الجسم \times مربع نصف القطر \times مربع السرعة الزاوية .

$$KE_R = \frac{1}{2} m \cdot r^2 \omega^2 \quad \text{أى أن :}$$

حيث أن (ω) = السرعة الزاوية ، r = نصف قطر الدوران ، m = كتلة الجسم ،
 KE_R = طاقة الحركة الدورانية

$$\therefore J = m \cdot r^2$$

$$\therefore KE_R = \frac{1}{2} J \omega^2 \dots (55)$$

حيث إن J = عزم القصور الذاتى
ويلاحظ أن العلاقة

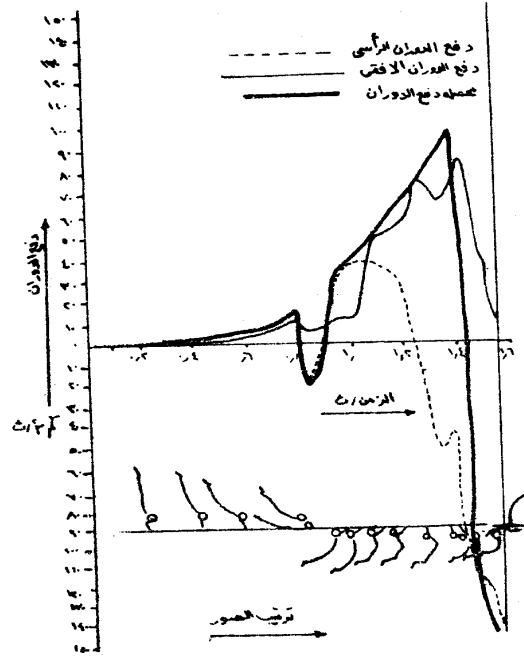
$$J = m r^2$$

لا تنطبق الا على حالة جسم من جسيمات كتلة تتحرك حركة دورانية . أما بالنسبة
للجسم بأكمله ، فعلى استخلاص القيمة الكلية لكل عزم من عزوم القصور الذاتى
الحاص بـ جسيمات الكتلة كلها كما سبق باستخدام المعادلة (47) بالنسبة لجسم
الإنسان .

جدول (١٤)

دفع الدوران المؤثرة على مركز ثقل كتلة الجسم في اتجاه كل من المركبتين الرأسية والافقية ومحصلتها كدالة بالنسبة للزمن خلال مرحلة الاتصال حتى لحظة كسر الاتصال خلال المسار الحركي لمهارة كيموتسو على المتوازيين

| م | ترتيب الصور | الزمن (ث) | دفع الدوران الرأسى كجم م. ث | دفع الدوران الافقى كجم م. ث | محصلة دفع الدوران كجم م. ث |
|----|-------------|-----------|-----------------------------|-----------------------------|----------------------------|
| ١ | ٥ | ٠.٢١ | ٠.١٤٧٠ | ٠.٩٨٩٠ | ١.٠ |
| ٢ | ١٠ | ٠.٤٢ | ٠.٥٥٣٠ | ٢.٩٤٩٠ | ٣.٠ |
| ٣ | ١٤ | ٠.٥٨٨ | ٣.٣٣٤٠ | ٦.١٥٥٠ | ٧.٠ |
| ٤ | ١٩ | ٠.٧٩٨ | ١٠.٩٩٢٠ | ١٠.٢٠٧٠ | ١٥.٠ |
| ٥ | ٢٠ | ٠.٨٤٠ | ١٨.٦٣١٠ | ٣.٧٢٦٠ | ١٩.٠٠٠ |
| ٦ | ٢٣ | ٠.٩٦٦ | ٣٢.١٨٦٠ | ١٠.٩٥٧٠ | ٣٤.٠٠ |
| ٧ | ٢٤ | ١.٠٠٨ | ٣٧.١٨٩٠ | ١١.٧٤٧٠ | ٣٩.٠٠ |
| ٨ | ٢٦ | ١.٠٩٢ | ٢٧.١٠٥٠ | ٤٩.٦١٥٠ | ٤٨.٠٠ |
| ٩ | ٢٨ | ١.١٧٦ | ٣١.٢٤٣٠ | ٥٣.٥٥٢٠ | ٦٢.٠٠ |
| ١٠ | ٣٠ | ١.٢٦٠ | ٠.٩٩٥٤٠ | ٧٤.٦٧٧٠ | ٧٥.٠٠ |
| ١١ | ٣٢ | ١.٣٤٤ | ٤٩.٩٩٨٠ | ٦٤.٩٩٤٠ | ٨٢.٠٠ |
| ١٢ | ٣٣ | ١.٣٨٦ | ٤٢.٤٩٣٠ | ٨٤.٩٦٧٠ | ٩٥.٠٠ |
| ١٣ | ٣٤ | ١.٤٢٨ | ٩٤.٧٠٦٠ | ٣٧.٨٨٠٠ | ١٠٢.٠٠ |
| ١٤ | ٣٦ | ١.٥١٢ | ١١٤.٤٢٧٠ | ٣٦.١٤٥٠ | ١٢٠.٠٠ |
| ١٥ | ٣٧ | ١.٥٥٤ | ١٤٨.٧٤٢٠ | ٠.٨٧٨٨٠ | ١٤٩.٠٠ |



شكل (٣٣)

دفع الدوران المؤثرة على مركز ثقل كتلة جسم اللاعب في اتجاه كل من المركبتين الرأسية، الأفقية ومحصلتها كدالة بالنسبة للزمن خلال مرحلة الاتصال أثناء اداء مهارة كيموتسو على جهاز المتوازيين .

ومعلومية كل من عزم القصور الذاتي والسرعة الزاوية يمكن حساب طاقة الحركة الدورانية وفق الخطوات التالية :-

١- بحسب عزم القصور الذاتي لمركز كتلة جسم اللاعب حول محور الدوران بالطريقة السابق شرحها باستخدام المعادلة (47) عند كل وضع من الأوضاع المحددة كنقاط للدراسة .

٢- بحسب السرعة الزاوية لمركز ثقل كتلة جسم اللاعب عند كل وضع من الأوضاع المحددة كنقاط للدراسة باستخدام المعادلة :

$$\omega = \frac{\Delta \alpha}{\Delta t}$$

وبالطريقة السابق شرحها .

٣- بحسب مقادير طاقة الحركة الدورانية عند كل وضع من الأوضاع المحددة كنقاط للدراسة بمعلومية كل من (ω, J) وبتطبيق المعادلة :

$$KE_R = \frac{1}{2} J \omega^2$$

ثم تجمد البيانات في جدول حيث يتم التعبير عنها ببيان .

و- حساب متجنى طاقة الوضع للجسم كدالة للزمن خلال مرحلة الاتصال .

تعرف طاقة الوضع بأنها الطاقة التي يكتسبها الجسم بفضل وضعه أو حالته إلى وضع آخر يسمى وضع الصفر أو حالة أخرى تسمى الحالة الطبيعية .

ولحساب طاقة وضع جسم كتلته (m) على إرتفاع (h) من سطح الأرض نحسب الشغل التي تبذله الجاذبية الأرضية أثناء هبوط هذا الجسم مسافة (h) حتى يصل إلى سطح الأرض، ويمكن التعبير عن ذلك جبرياً بالمعادلة التالية :-

$$PE . = G . h \dots (56)$$

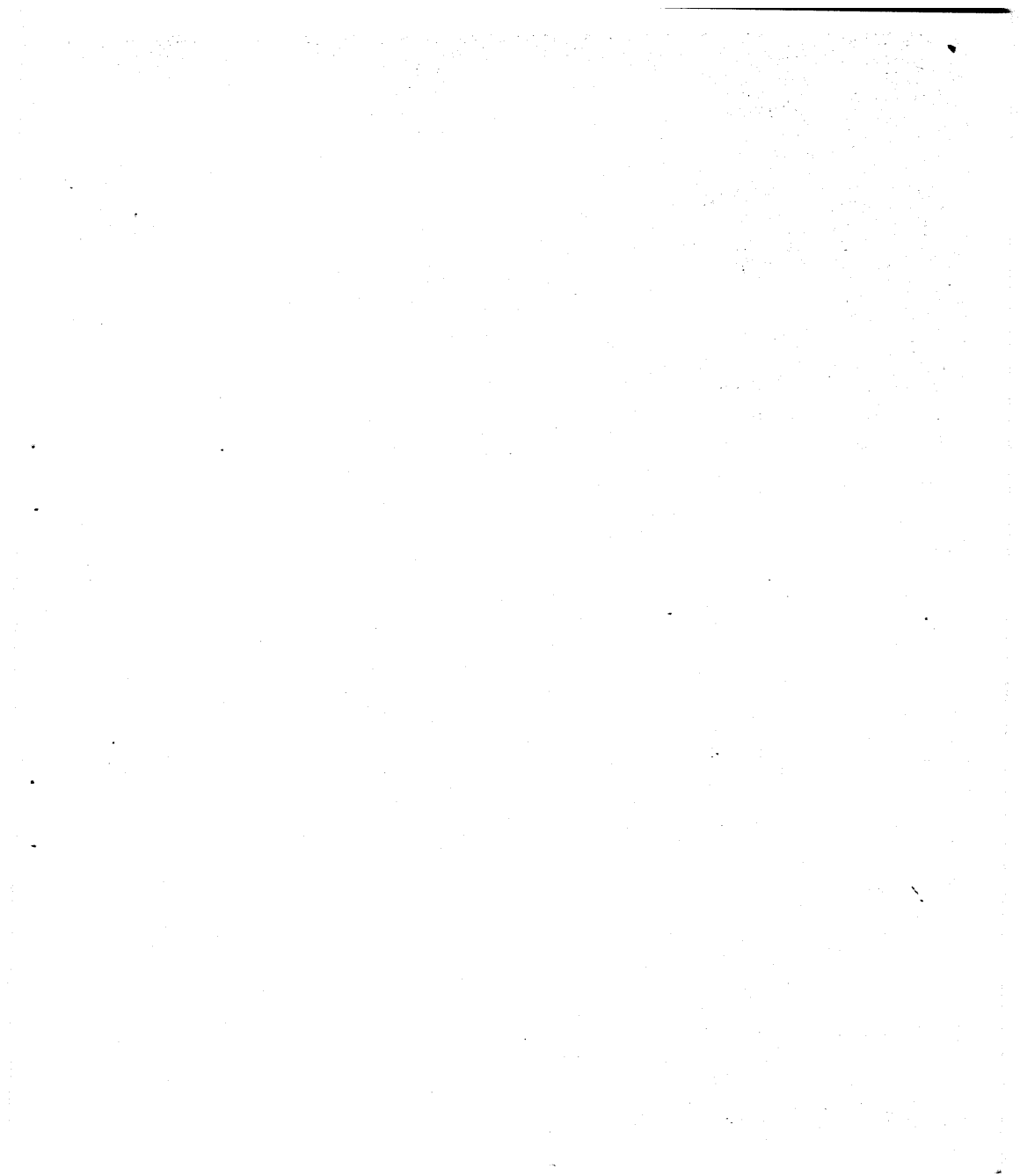
حيث $PE . =$ طاقة الوضع ، $G =$ وزن الجسم

، $h =$ إرتفاع الجسم عن سطح الأرض .

ولحساب طاقة وضع جسم الإنسان خلال نشاطه الرياضى تتبع الخطوات

التالية :-

- ١- تحدد وزن جسم اللاعب باستخدام الميزان الطبي .
- ٢- تحدد ارتفاع مركز ثقل كتلة جسم اللاعب في كل من الأوضاع موضع الدراسة باستخدام التصوير السينمائي .
- ٣- بمعلومية كل من وزن جسم اللاعب وارتفاع مركز ثقل كتلته ، وبتطبيق المعادلة (56) عند كل وضع من الأوضاع موضع الدراسة نحصل على طاقة وضع الجسم عند كل وضع ثم ن جدول البيانات ويعبر عنها ببيانها .



الفصل الثالث

- ٣-٠ نماذج تطبيقية عن ميكانيكا الحركة الرياضية .
- ٣-١ الجذب .
- ٣-٢ ألعاب القوى .
- ٣-٣ القوس .
- ٣-٤ السباحة .

٣-٠ نماذج تطبيقية عن ميكانيكا الحركة الرياضية

يتناول هذا الفصل سرد بعض الدراسات التي إهتمت بدراسة تحليل الأداء الحركي في مجالات الجمباز وألعاب القوى، الغطس، السباحة، كنماذج تطبيقية لاستخدام القوانين الميكانيكية وكيفية الاستفادة منها لرفع مستوى الأداء الحركي للاعبين، بهدف تمكين القارئ من الاطلاع على أساليب وطرائق دراسة الحركة الرياضية بصورة عملية تمكنه من إجراء الدراسات المشابهة في التخصصات المختلفة.

٣-١ الجمباز

أولاً - الدراسات الكينماتيكية .

« دراسة بيوميكانيكية المرحلات الكبرى الأمامية والخلفية على جهاز العقلة » .

اسم الباحث

ج. يورمس J. Borms ، ر. مورس R. moers ، م. هيلينك M. heblinc

(١٩٧٢) .

أهداف البحث .

بحث الخواص والمفاهيم الميكانيكية الخاصة بالمرجحات الكبرى الأمامية والخلفية

بغرض ما يلي :-

١- الاقلال من مدة التعلم .

٢- التعرف على المنحنى الخصائص لهذه المرحلات .

٣- زيادة المعلومات عن هذه الحركات بوجه عام .

إجراءات الدراسة العملية .

١- عينة الدراسة :

تم اختيار لاعب واحد من أمهر لاعبي الجمباز كعينة لهذه الدراسة وطلب منه

إداء المهارة قيد الدراسة بأفضل طريقة ممكنة مع أقصى مد للجسم .

٢- وسائل جميع البيانات وشملت ما يلي :-

١- التصوير السينمائي :

استخدمت كاميرا (١٦ مم) واتبعت الطريقة المشروحة في الصفحات السابقة في التصوير السينمائي في الفصل الأول .

ب- التحليل الحركي :

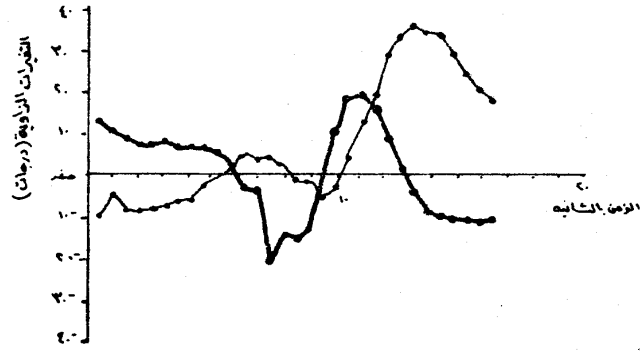
تم استخدام التحليل الحركي لدراسة المهارة قيد الدراسة وفق المحددات الميكانيكية التالية :-

- ١- المسار الهندسي لمركز الثقل لأداء كل من الدائرتين الأمامية والخلفية .
- ٢- منحنيات السرعة، العجلة كدالة بالنسبة للزمن لكل من الدائرتين قيد الدراسة .

٣- نتائج الدراسة .

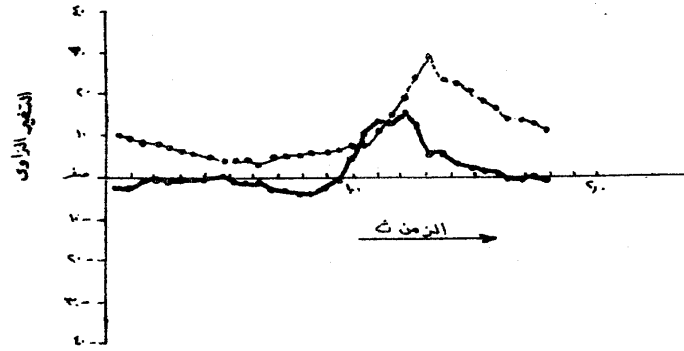
- ١- بدأت كلا المهارتين من وضع الوقوف على اليدين، وقد عرف هذا الوضع بأنه وضع الزاوية ٩٠ حيث كان الزمن في هذا الوضع مساويا للصفر .
- ٢- خلال أداء الدائرة الخلفية الكبرى على جهاز العقلة ظلت قيمة زاويتي مفصلي الكتفين موجبة بمعنى أن الكتفين لم يصلا إلى المد الزائد، وكان أقصى مد زائد لزاويتي مفصلي الفخذين عند اللحظة الزمنية (٠.٨٣ ث) كما تم اعداد الرجلين لمرحلة الحوض في الفترة الزمنية (من ٠.٨٣ ث إلى ١.٠٩ ث) عن طريق قبض مفصلي الفخذين .
- ٣- تناقصت زاويتي مفصلي الكتفين حتى وصلت إلى أقصى انقباض لها بعد مضي (١.٢٩ ثانية) كما في شكل (٣٤) .

اما بالنسبة للدائرة الأمامية الكبرى لوحظ القبض والبسط في كل من مفصلي الكتفين والفخذين كما في شكل (٣٥) .



شكل (٣٤)

التغير الزاوي لمفصلي كل من الكتفين، الفخذين خلال أداء الدائرة الخلفية الكبرى على جهاز العقلة عن (بورمس)



شكل (٣٥)

التغير الزاوي لمفصلي كل من الكتفين، الفخذين خلال أداء الدائرة الامامية الكبرى على جهاز العقلة

٤ - بالنسبة للدائرة الخلفية الكبرى اتخذت السرعة مساراً مستظلاً خلال الربع الأول من المسار، في حين وصلت سرعة كل من مركز ثقل كتلة الجسم والكتفين إلى أقصى مقدار في الربع الثاني من المسار بعد مضي ٠.٨٨ ث حيث بلغت سرعة مركز ثقل كتلة الجسم ٣.٥ م/ث. سرعة الكتفين ٦ م/ث. كما تزايدت سرعة القدمين ببطء حتى وصلت مع قبض مفصلي الفخذين إلى أقصى مقدار لها (١٢.٥ م/ث) في الربع الثالث بعد مضي (١.٠٣ ث) في حين تناقصت سرعة كل من الكتفين ومركز ثقل كتلة الجسم في نفس الوقت إلى أقل مقدار عند (١.٢٤ ث) حيث كانت سرعة الكتفين (٤.٧ م/ث). سرعة مركز ثقل كتلة الجسم (١.٩ م/ث).

كما لوحظ استمرار تناقص سرعة جميع نقاط الدراسة في الربع الرابع من المسار إلا أنها ظلت كافية للوصول للوضع الابتدائي مرة أخرى.

٥ - بالنسبة للدائرة الأمامية الكبرى لوحظ عدم تناقص وتغير السرعات الخاصة بنقاط الدراسة خلال الربع الأول. الربع الثاني.

وكانت سرعة القدمين في نهاية الربع الثاني من المسار عند الثانية (٠.٧٨) هي (١٣ م/ث) وفي اللحظة ما بين (٠.٨١ ث) - (١.١٤ ث) لوحظ هبوط حاد في السرعة حيث بلغ مقدار السرعة (٥.٣ م/ث) بعد مضي (٠.٩٨ ث). ومن خلال انتقال الدفع. زادت سرعات مركز ثقل كتلة الجسم والكتفين وبلغت أقصى مقدار لها. وبعد وصول سرعة القدمين لأدنى مقدار لها مباشرة تزايدت مرة أخرى في حين تناقصت سرعة كل من مركز ثقل كتلة الجسم والكتفين حتى نهاية الربع الرابع.

إن منحنيات السرعة بالنسبة لمركز ثقل كتلة الجسم. القدمين كانت لها نفس المقدار تقريبا وهذا يوضح قوة الشد الكبيرة من الذراعين بغرض التعجيل الإنجابي للكتفين لأعلى.

- الاستخلاصات -

استخلص بورميس. مورس. وهيلينك ما يلي :-

- ١ - أهمية تقسيم المهارة إلى أجزاء لدراسة كل جزء على حدة.
- ٢ - أظهر التحليل الحركي ان التغيرات النسبية في مواقع أجزاء الجسم تحدد مسار الحركة وتقابل المتطلبات البيوميكانيكية وبأحسن صورة.

٣ - الاختلافات الصغيرة في فنون الأداء تقودنا إلى الاختلافات الكبيرة في الجمار
مثل هذه المهارات التي تختلف فقط في التفاصيل إلا أن بعض الخواص كانت كافية
إلى حد ما لتحديد التعميمات التالية :-

- ١ - بالنسبة للدائرة الأمامية الكبرى .
- في الربع الأول من المسار الحركي كان الجسم ممتداً بالكامل وقد وصل إلى المد
الزائد في الربع الثاني وكانت الطاقة الحركية لمركز ثقل كتلة الجسم أكبر ما
يمكن .
- وصل الجسم لأقصى سرعة بالنسبة للأقدام في الربع الثالث ثم تم قبض الفخذين
لأقصى ما يمكن .
- الجسم امتد مرة أخرى في الربع الرابع .

- ٢ - بالنسبة للدائرة الخلفية الكبرى .
- في نهاية الربع الأول للمسار الحركي كان الجسم في حالة مد زائد بسيط .
- زاد قبض الفخذين في الربع الثاني وحتى قبل أن يبدأ الربع الثالث مباشرة .
- أخذت سرعة الرجلين في الزيادة في النصف الأول من الربع الثالث ثم
أخذت تتناقص في النصف الثاني .
- بعد المرور على الخط الأفقي في الربع الرابع قامت الذراعان ببذل شد عنيف
على عارضة العقلة أدى إلى تحريك الكتفين لأعلى أولاً ثم للامام بعد ذلك .

« دراسة حول تدريس المكونات البنائية لتركيب جمباز المسابقات » .

اسم الباحث .

بوخمان . ج . G . Bouchmann .

اهداف البحث .

توضيح أهمية مراعاة الاختلافات في التنكيك بين مهارات المجموعة الواحدة
المتشابهة عند التدرج في تدريسها .

اجراءات الدراسة العملية .

١ - عينة البحث .

تم اختيار لاعبا واحداً من أمهر لاعبي الجمباز وطلب منه أداء الدورة الهوائية
المتكورة الخلفية المزدوجة للهبوط على الأرض على كل من جهازى العقلة والحلق .

٢- وسائل جمع البيانات

أ- التصوير السينمائي .

ب- التحليل الحركي .

- نتائج البحث .

أوضحت نتائج هذه الدراسة انه بالرغم من وجود تطابق في البناء التركيبي للمهارتين قيد الدراسة إلا أنه توجد اختلافات واضحة في التكنيك الخاص بكل منها على كل جهاز لاختلاف طبيعة قبضتي اليدين على محور الدوران فالقبضة على عارضة العقلة ثابتة أما القبضة على الحلقة فتتحركة ، وهذا يؤدي إلى اختلافات جوهرية في حركة مفصلي الكتفين حيث يعتمد نجاح أي حركة من مراحل المسار الحركي للمهارة على جهاز العقلة على اتساع زاويتي مفصلي الكتفين ، أما بالنسبة لنفس المهارة على جهاز الحلقة فيعتمد نجاح أي مرحلة من مراحل المسار الحركي على اقلال زاويتي الكتفين .

- التوصيات .

بناءً على ما سبق يوصى بوجاهة بما يلي :-

عدم تدريس مهارة الدورين الموهبتين المحكورتين على كلا الجهازين في وقت واحد حتى لا يؤدي إلى نتيجة سلبية في تدريسها .

« دراسة التحليل الكينماتيكي السينمائي للمسار الحركي لمهارة الطلوع بالكب على جهاز العقلة » .

اسم الباحث :

بيرجمان . ب . و . Bergman B.W .

أهداف البحث .

تحديد الخواص الكينماتيكية لمهارة الطلوع بالكب على جهاز العقلة .

اجراءات الدراسة العملية

١- عينة البحث .

تم اختيار خمسة لاعبين من لاعبي الجيمباز المتماثلين في البناء الجسماني حيث تم تصوير خمسة محاولات لكل منهم .

٢- وسائل جمع البيانات .

١- التصوير السينمائي .

ب- التحليل الحركي .

- الاستخلاصات

اسفرت نتائج هذه الدراسة عن الاستخلاصات التالية :-

- ١- إن أفضل زاوية لمرجحة ثقل كتلة الجسم للخلف تنحصر بين زاوية (٧٠ ° - ٨٠ °)

٢- يجب قرض المقعدة قبل نهاية المرجحة الأمامية للكتفين أو لفصل الفخذين أو لمركز ثقل كتلة الجسم .

- ٣- يجب عدم بسط المقعدة قبل مرور الكتفين أسفل عارضة العقلة .
- ٤- يجب الاحتفاظ بأقل سرعة خلال مرحلة قبض المقعدة .
- ٥- يكون الصعود من بداية بسط المقعدة حتى النقطة التي يكون فيها مركز ثقل كتلة الجسم في مستوى عارضة العقلة حيث يعتمد طول المنحنى على السرعة اللازمة لتوصيل مركز ثقل كتلة الجسم لهذا المستوى .
- ٦- تؤدي مراحل الصعود وانقباض المقعدة إلى أكبر إزاحة لعارضة العقلة والتي تدل على فعل القوة عليها .

ثانيا - الدراسات الديناميكية .

« ميكانيكية القفز على الحصان باستخدام لوحة ريوثير Reuther » ،
اسم الباحث كريغهاوم Kreighbaum .

اهداف البحث .

تهدف هذه الدراسة إلى شرح رد الفعل الداخلي للقفزات على حصان القفز للسيدات .

إجراءات الدراسة العملية

١- عينة البحث .

استخدم الباحث ٨ لاعبات جميز من اللاعبات المشتركات في المقابلة التي تمت في شمال غرب مقاطعة مونتانا Montana (١٩٧٢) ، حيث قمن بأداء الشقلية الأمامية على اليدين على الحصان .

٢- وسائل جمع البيانات

استخدم الباحث كاميرا ١٦ مم ذات تردد ١٨٠ ص/ث كما استخدم عند الأداء على لوحة ريوزير ٨ مقاومات كهربائية Straingauges على جانب دائرة ويتسون Wheatson واتصلت عند دورانها بمقياس جلفاني Galvanometer لتسجيل المنحنيات والذي سجل الانحرافات في اللوحة بواسطة متوسطات ممرات الاضاءة على ورق شديد الحساسية للتصوير وقد تم معايرة السلم واعتبرت قوى لوحة ريوزير قوى خارجية استعملت في التحليل الكيناتيكي عند استخدام قوة قدمي اللاعب عموديا لأعلى كما استخدم ميزان استواء السطوح Planimeter لتحديد المنطقة تحت كل إنحراف لمنحنى القوة والتي عن طريقها أمكن تحديد القوة الدفعية من اللوحة، كما حسبت الدلالات السينمائية المأخوذة من الفيلم السينمائي عن طريق استخدام الرسم الآلي لنظام جدول يعزى باحداثيات النقط في الحاسب الآلي ا. ب. م. ٣٦٠ (I. B. M 360) وقد وضع البرنامج وطور لحساب الدلالات عن طريق أعضاء الهيئة العلمية للحاسب الآلي بجامعة مونتانا وحسبت السرعة الزاوية لاجزاء الجسم، المعجلة الزاوية، وبمجموع القوى وعزومها حول مركز كل مفصل .

- الاستخلاصات

نتيجة لهذه الدراسة استخلص الباحث ما يلي :-

- ١- جميع أفراد العينة أوضحوا انحرافين للسلم بين الانحرافات عند الجزء المعدم الوزن، الأول يلزم وزن اللاعب والثاني يكون نتيجة لدفع اللاعب السلم .
- ب- لم تظهر القوة الدفعية من السلم ما يشير إلى تحكم السلم في أخذ الارتقاء .
- ج- ينشئ تتابع تزايد وتناقص عجلة أعضاء الجسم من هبوط العضو العلوى ويظهر تناقص عجلة العضو قبل تزايد انبساط العضو المنخفض التالى وبظهور انحراف السلم عند أقصى تناقص للمعجلة لآخر عضو .
- د- كانت عزوم القوة العضلية المسيطرة خلال الدفع هي المقعدة، العضلات الباسطة للقدم والقابضة للركبة .

تحليل بيوميكانيكي لتركيب مهارة جمباز ،

اسم الباحث . زينكوفسكى Zinkovsky .

، فين Vain .

، تورم Torm .

أهداف البحث .

تهدف هذه الدراسة إلى تحليل الاختلافات المرحلية خلال اكتساب المهارة في أداء مهارة الطلوع بالكب Long under swing up start على جهاز العقلة .

اجراءات الدراسة العملية

١ - عينة البحث .

استخدم الباحثين عشرة لاعبين كعينة للدراسة وتم تنفيذ التجارب على مرحلتين حيث تم في الأولى شرح تكنيك الأداء للاعبين والثانية بعد إكتساب المهارة في الطلوع بالكب على جهاز العقلة .

٢ - وسائل جمع البيانات

استخدم الباحثين التصوير السينمائي وكذا عداد الاجهاد لقياس المركبات الافقية للدفع على قضيب العقلة وكذا مقياس التعجيل Accelemer الذي ثبت على ظهر اللاعب لتسجيل التعجيل، وكذا جهاز رسم الانقباضات العضلية (E.M.G) مع استخدام الاجراءات التزامنية لضمان ربط تسجيل منحنى القوة مع كادر الفيلم المصور، وقد تم ذلك عن طريق قطع التيار عن الكابل الواصل بين الكاتب Oscillograph وآلة التصوير السينمائية وباستخدام صور الفيلم - احداثيات مركز الثقل ومحاور الوصلات - أمكن حساب الخصائص البيوميكانيكية (فين ١٩٧٣) ثم أجرى تحليل احصائي لجميع الخصائص عامة بالطرق الاحصائية المعروفة، وقد تم تقسيم المهارة إلى ثلاثة مراحل كما يلي :-

- المرحلة الأولى .

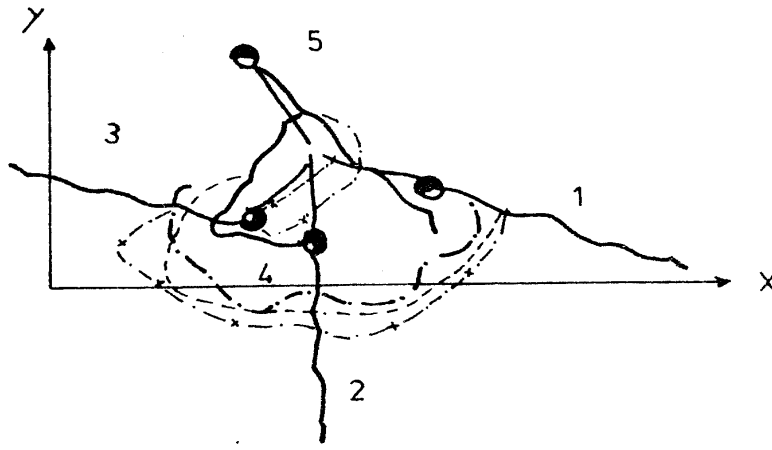
اكتساب الطاقة الميكانيكية اثناء المرجحة .

- المرحلة الثانية .

أخذ الوضع الابتدائي لبذل الطاقة العضلية لأداء الطلوع .

- المرحلة الثالثة .

أداء الطلوع .



شكل (٣٦)

الاورضاع المتتابعة في انجاز الطلوع بالكب على العقلة بالنسبة لمسار مركز ثقل
كتلة الجسم : المرحلة الابتدائية (- - -) المرحلة الرئيسية (X - - X) النجاح
النهائي (. - .) (عن زنكوفيسكى وآخرون)

- الاستخلاصات

نتيجة لهذه الدراسة يتم التوصل إلى ما يلي :-

- أ- في المرحلة الأولى اكتسب جسم اللاعب طاقة ميكانيكية (E) من خلال مرجحة ذات مدى معين حول المحور الافقى لعارضة العقلة .
- إعتبر اللاعب في هذه المرحلة بندولا يلف حول نقطة (O) شكل (٣٦)
- وعندما يصل اللاعب للوضع (١ / ١) في شكل (٣٦) كانت طاقته الحركية في حدها الأدنى و طاقة وضعه في أقصى قيمة وفي الوضع (٨ / ٢) كانت الطاقة الحركية أقصى ما يمكن و طاقة الوضع أقل ما يمكن . وفي الوضع (١٤ / ٣) كانت الطاقة الحركية في أدنى قيمة ، طاقة الوضع في أقصى قيمة مرة اخرى .

ب- في المرحلة الثانية أصبح الجسم بفضل طاقة وضعه في ظروف تسمح له بثنى

مفصلى الفخذين ويجب أن يتم ذلك فى اللحظة التى تكون فيها طاقة الحركة فى أقصى قيمة وطاقة الوضع مساوية للصفر، ومن الضرورى أخذ وضع للبدء فى هذه اللحظة والا فإنه لا يمكن استخدام الطاقة الحركية لتدوير الجذع حول عارضه العقلة . ج- فى المرحلة الثالثة يبدأ الجزء الثانى من حركة البندول وفيها يكون البندول قصير وطبقاً لذلك تقصر فترة المرجحة وتكون طاقة الحركة فى الوضع (١٩/٤) مساوية لقيمتها فى الوضع (٨/٢) حيث يدور الجذع فى عكس اتجاه عقرب الساعة حول عارضة العقلة - يقصر نصف قطر الدوران - فى حين تمد الرجلان من مفصلى الفخذين ونتيجة لما سبق فإن كمية حركة الرجلين تكون فى عكس كمية حركة الجذع وتخلق القوة المؤثرة فى مفصلى الفخذين عزم الدوران (Fin. r) ولذلك يؤدى اللاعب الصعود .

كما أظهر تحليل الرسم الكهربى للعضلات (E.M.G) أن حركة الجسم تتعلق بنشاط عضلى وان نشاط العضلات المقابلة يؤدى إلى توافق حركة الوصلات مما يؤدى إلى زيادة الاستفادة من القوانين الميكانيكية، وقد كان هناك تطابق بين النتائج المستخرجة والدراسات السابقة لتورم (١٩٧٤) . ويستخلص مما سبق أنه عند تدريس تكنيك مهارات الجمباز يجب ان نأخذ فى الاعتبار الاهتمام بكل المفاهيم الميكانيكية للحركات وكذا التوافق العضلى .

التحليل الميكانيكى للأداء الحاذق لمهارة جمباز : العجلة المنحنية Round — off

اسم الباحث . واينسك Weinck .

اهداف البحث .

تهدف هذه الدراسة إلى بحث القوة المحركة .

اجراءات الدراسة العملية .

١- عينة البحث .

تم اختيار لاعبا واحداً ذو مستوى عال كعينة لهذه الدراسة وطلب منه أداء مهارة العجلة المنحنية على الأرض .

٢- وسائل جمع البيانات .

استخدم التصوير السينمائى ذو المستويين بواسطة آلة تصوير سينمائية مقاس ١٦

تم لتجهيز البيانات ، كما تم قياس الازاحة الخطية لمراكز ثقل كتل كل جزء من أجزاء الجسم في المستوى الأول للحركة من لحظة ترك الرجل القيادة للأرض حتى لحظة إعادة اتصال القدمين بالأرض ، وتم حساب حركة مركز ثقل كتلة الجسم من حركة أجزاء الجسم واشتقت السرعة والعجلة نظرياً من منحني الازاحة وحسبت القوى المحركة والتغيرات التابعة لها في كمية الحركة الدورانية .

- الاستخلاصات .

نتيجة لهذه الدراسة أستخلص الباحث ما يلي :-

أ - القوة العضلية للحزام الكتفي هي المسبب في ازاحة مركز ثقل كتلة الجسم عند ترك اليدين الأرض ، وعلى العكس من ذلك فإن الاحتفاظ بنتائج الانقباض الإيجابي للمقعدة لا يظهر ترك اليدين للأرض .

ب - يظهر إنتقال كمية الحركة الدورانية من الرجلين إلى الجذع للتأثير على دوران الجسم خلال الطيران النهائي وقد وصلت أكثر من ٥٠٪ من كمية الحركة الدورانية لمركز ثقل كتلة الجسم في الاتجاه الأفقي .

وتحليل ديناميكية بعض حركات المرححات من وضع الأرتكاز على جهاز المتوازيين .

اسم الباحث . عادل عبد البصير على

أهداف البحث .

تهدف هذه الدراسة إلى بحث الخصائص الديناميكية لمرحلة الأرتكاز خلال إنجاز مهارات الدورات الهوائية الخلفية المستقيمة من الوقوف على اليدين للوقوف على جهازاً من تصميم وتنفيذ الباحث . باستخدام اجراءات الدراسة العملية .

١ - عينة البحث .

تم اختيار لاعبين من لاعبي المستوى الدولي بجمهورية مصر العربية وأدى اللاعب الأول الدورة الهوائية الخلفية المستقيمة من الوقوف على اليدين للوقوف على اليدين ١٩ مرة ، اللاعب الثاني أدى الدورة الهوائية الأمامية المنحنية من الأرتكاز للارتكاز على جهاز المتوازيين ١٢ مرة . وبعد معاينة الفيلم أتضح ان المحاولات الصالحة للتحليل بالنسبة للمهارة الأولى ٨ محاولات ، بالنسبة للمهارة الثانية ٤ محاولات .

٢ - وسائل جمع البيانات .

استخدم الباحث التصوير السينمائي وكذا جهاز تسجيل القوى في الاتجاهين الرأسى والأفقى من تصميم وتنفيذ الباحث مع استخدام الإجراءات التزامنية لضمان ربط تسجيل منحنى القوة مع كادر الفيلم المصور وقد تم ذلك عن طريق التحكم فى مفتاح التشغيل لقطع التيار عن التوصيلة الواصلة بين الكاتب وآلة التوصيل السينمائية وباستخدام صور الفيلم امكن تحديد موضع مركز ثقل كتلة الجسم باستخدام الشابلون المعدلة للباحث ، المسار الحركى لمركز ثقل كتلة الجسم ، وحساب زاوية الانطلاق ، تحديد الخصائص الشكلية المميزة لكل وضع من الأوضاع المحددة كنقاط للدراسة فى كل محاولة .

كما تم الحصول فوراً على منحنى القوة المؤثرة على مركز ثقل كتلة الجسم فى كلا الاتجاهين الرأسى والأفقى كدالة بالنسبة للزمن باستخدام جهاز تسجيل القوى ومنه حسب دفع القوى المؤثرة على مركز ثقل كتلة الجسم فى كلا الاتجاهين الرئيسى والأفقى ومحصليها باستخدام الطريقة البيانية ، كما حدد ذراع العزم لكل من القوى المؤثرة على مركز ثقل كتلة الجسم فى كلا الاتجاهين الرأسى والأفقى بالنسبة لمحور الدوران الأفقى التخيلى المار بمفصل الكتفين ثم حسب دفع الدوران لكل وضع من الأوضاع المحددة كنقاط للدراسة فى كلا الاتجاهين الرأسى والأفقى وكذا محصلتها .

- الاستخلاصات .

نتيجة لهذه الدراسة استخلص الباحث ما يلى :-

- أ - كانت المحاولة الرابعة أفضل المحاولات والمحاولة السابعة أرىء المحاولات قيد الدراسة فى المهارة الأولى ، المحاولة التاسعة أفضل المحاولات ، المحاولة الأولى أرىء المحاولات فى المهارة الثانية بالنسبة لمستوى الأداء الحركى .
- ب - اختلفت دفع الدوران المؤثرة على مركز ثقل كتلة الجسم فى كلا الاتجاهين الرأسى والأفقى فى كل من المحاولات قيد البحث فى المهارة الأولى ، والمهارة الثانية ، وتميزت أفضل المحاولات بأكبر معامل الناتج الحركى فى كل من مهارتين حيث بلغ بالنسبة للمهارة الأولى (٠.٩٥) ، بالنسبة للمهارة الثانية (٢.٦) ويتفق ذلك مع رأى كل من بورمان ، بونجان ، كونيكو ، وكونزل ، اوكران .
- ج - اختلفت ارتفاعات مركز ثقل كتلة الجسم خلال المرجحة لاعلى فى المحاولات قيد البحث لكل من مهارتين ، وتميزت أفضل المحاولات بأعلى إرتفاع لمركز ثقل

كتلة الجسم في كلا المهارتين قيد الدراسة حيث كان بالنسبة للمهارة الأولى (٦٣ سم) ، بالنسبة للمهارة الثانية (٥٠ سم) يتفق ذلك مع نتائج الدراسات السابقة .
د - اختلفت مقادير زوايا الانطلاق في المحاولات قيد الدراسة في كل من المهارتين ، حيث تميزت أفضل المحاولات في كلا المهارتين بأكثر مقدار لزوايا الانطلاق حيث كانت بالنسبة للمهارة الأولى (٨٧°) ، بالنسبة للمهارة الثانية (٨٣°) ويتفق ذلك مع نتائج البحوث السابقة .

هـ - اختلفت ارتفاعات مركز ثقل كتلة الجسم خلال مرحلة الطيران في المحاولات قيد البحث لكل من المهارتين ، وتميزت أفضل المحاولات بأعلى ارتفاع لمركز ثقل كتلة الجسم خلال مرحلة الطيران في كلا المهارتين ، حيث كان بالنسبة للمهارة الأولى (٩٤ سم) ، بالنسبة للمهارة الثانية (٧٠ سم) .

و - انحصرت أهم العوامل المؤثرة على مركز ثقل كتلة الجسم خلال مرحلة الاتصال في كلا المهارتين فيما يلي :-

- ارتفاع مركز ثقل كتلة الجسم خلال المرحلة لأعلى .

- مقدار زاوية الانطلاق .

- الناتج الحركي .

ز - اختلفت الخصائص الشكلية لأنسب الأوضاع لتجميع أنسب مقادير لدفع الدوران المؤثرة على مركز ثقل كتلة الجسم في كلا الاتجاهين الرأسى والأفقى خلال مرحلة الاتصال والذي يؤدي إلى إنجاز الواجب الحركي بتوافق جيد في كل من المحاولات قيد البحث وتميز هذا الوضع في أفضل المحاولات في كلا المهارتين بما يلي :-

| رقم المهارة | رقم المحاولة | ميل الرأس | زاوية مفصل الكتفين | زاوية مفصل المرفقين | زاوية مفصل الفخذين | زاوية مفصل الركبتين | زاوية مفصل القدمين |
|-------------|--------------|-----------|--------------------|---------------------|--------------------|---------------------|--------------------|
| (١) | (٤) | ١٦٠° | ٨٩° | ١٨٠° | ٢٠١° | ١٢٠° | ١١٠° |
| (٢) | (٩) | صفر | ٥٣° | ١١١° | ١٢١° | ١٨٠° | ١٢٥° |

ح - يعتبر مدى المرجحة لأعلى أكثر المتغيرات تأثيراً على درجة مستوى الأداء الحركي في كلا المهارتين قيد الدراسة ، حيث بلغت نسبة مساهمتها فيه (٠.٧١٠) بالنسبة للمهارة الأولى ، (٠.٨١٠) بالنسبة للمهارة الثانية بينما يعتبر الناتج الحركي أكثر المتغيرات تأثيراً على درجة مستوى الأداء الحركي بعد مدى المرجحة لأعلى ، حيث بلغت نسبة مساهمتها معاً (٠.٩٩٩) تقريباً بالنسبة للمهارة الأولى ، (٠.٨٢٩) بالنسبة للمهارة الثانية .

ط - كانت معادلة خط الانحدار بين درجة مستوى الأداء ومدى المرجحة لأعلى والناتج الحركي كما يلي :-

درجة مستوى الأداء الحركي = $2.1064 + 0.0507 \times$ مدى المرجحة لأعلى + $1.8310 \times$ الناتج الحركي بالنسبة للمهارة الأولى .

درجة مستوى الأداء الحركي = $1.7306 + 0.0926 \times$ مدى المرجحة لأعلى + $0.2250 \times$ الناتج الحركي بالنسبة للمهارة الثانية .

ي - أوجد الباحث طريقة موضوعية لتقوم الأداء الحركي باستخدام الخصائص الشكلية خلال الأوضاع المحددة كنقاط للدراسة وكذا المحددات الديناميكية المؤثرة في المسار الحركي بعد التعبير عنها كمعيار للحكم على مستوى الأداء الحركي .
ك - صمم الباحث ونفذ جهازاً قليل التكاليف ودقيق لتسجيل القوى المؤثرة على مركز ثقل كتلة الجسم في كلا الاتجاهين الرأسى ، الأفقى بيانياً وفورياً خلال مرحلة الاتصال لمهارات المرجحات على جهاز المتوازيين .

ز - أوجد الباحث طريقة لتحديد موضع مركز ثقل كتلة الجسم في الأوضاع المختلفة خلال المسار الحركي لأداء المهارة الحركية باستخدام نسب أوزان أجزاء الجسم وأطوالها لكلاوسير .

- التوصيات .

نظراً إلى أن نتائج هذه الدراسة قد اثبتت أن للمرجحة لأسف ولأعلى حتى لحظة كسر الاتصال بين اليدين وعارضتى المتوازيين تأثيراً مباشراً على المسار الحركي وبالتالي على كفاءة الأداء لكل من الدورة الهوائية الخلفية المستقيمة من الوقوف على اليدين لنفس الوضع ، الدورة الهوائية الأمامية المنحنية من الأرتكاز لنفس الوضع على جهاز المتوازيين يوصى الباحث بما يلي :-

١ - عند تعليم المهارتين قيد الدراسة بوضع في الاعتبار أهمية ما يلي : -
 أ - التركيز على ضرورة زيادة دفع الدوران في اتجاه المركبة الرأسية خلال
 المرجحة لأسفل عن طريق ميل الكتفين - بمقدار ١٠٠° في أفضل المحاولات -
 للأمام بالقدر الكافي الذي يسمح بعدم الأخلال بالاتزان الديناميكي لمركز ثقل كتلة
 الجسم .

ب - ضرورة زيادة دفع الدوران في اتجاه المركبة الرأسية خلال المرجحة لأعلى
 حتى لحظة كسر الاتصال عن طريق ميل الكتفين والرأس للخلف - بمقدار ١١٠°
 للكتفين ، ١٦٠° للرأس في أفضل المحاولات - بالقدر الذي يسمح بعدم الأخلال
 بالاتزان الديناميكي لمركز ثقل كتلة الجسم ، وزيادة دفع القوة بالذراعين - مع
 الاحتفاظ باستقامتها خلال مرحلة الاتصال - والحزام الكتفي والمد الزائد لمفصلي
 الفخذين والعمود الفقري بالنسبة للدورة الهوائية المستقيمة الخلفية أما بالنسبة للدورة
 الهوائية الأمامية المنحنية يلاحظ ميل الكتفين والرأس للأمام - بمقدار ١٢٥° في
 أفضل المحاولات - بالقدر الذي يسمح بعدم الأخلال بالاتزان الديناميكي لمركز ثقل
 كتلة الجسم ، وزيادة دفع القوة بالذراعين والحزام الكتفي وثني مفصلي الفخذين .
 ج - التركيز على أنسب الأوضاع لتجميع أنسب مقادير لدفع الدوران المؤثرة
 على مركز ثقل كتلة الجسم والمسببة لدورانه حول المحور الأفقي التخلي المار بمفصلي
 الكتفين والذي يؤدي إلى إنجاز الواجب الحركي بتوافق جيد ، وهو الوضع الذي
 يتخذه الجسم عند لحظة كسر الاتصال في نهاية المرجحة لأعلى ، وقد تميز هذا
 الوضع بالنسبة لأفضل المحاولات في كلا المهارتين قيد الدراسة بما يلي : -

| رقم مسلسل | رقم المحاولة | ميل الرأس | زاويتي مفصل الكتفين | زاويتي مفصل المرفقين | زاويتي مفصل الفخذين | زاويتي مفصل الركبتين | زاويتي مفصل القدمين |
|--------------|-----------------|--------------|---------------------------|----------------------------|---------------------------|----------------------------|---------------------------|
| (١) | (٤) | ٢٦٠ | ٨٩° | ١٨٠° | ٢٠١° | ١٢٠° | ١١٠° |
| (٢) | (٩) | صفر | ٥٣° | ١١١° | ٢٢١° | ١٨٠° | ١٢٥° |

- د - الأهتمام بزيادة مدى المرجحة لأعلى عن طريق وصول كل من مقدار زاويتي مفصلي الكتفين إلى (° ٨٩) ومقدار زاوية الانطلاق إلى (° ٨٧٫٤٠) بالنسبة للدورة الهوائية المستقيمة الخلفية من وضع الوقوف على اليدين لنفس الوضع ، أما بالنسبة للدورة الهوائية المنحنية الأمامية من وضع الأرتكاز لنفس الوضع يصل مقدار كل من زاويتي مفصلي الكتفين إلى (° ٥٣) ، زاوية الانطلاق إلى (° ٨٣٫٠٠) .
- هـ - الأهتمام بالخصائص الشكلية للأوضاع التي يمر بها الجسم خلال المسار الحركي لأداء كل من المهارتين قيد الدراسة وفق محددات القانون الدولي للجمباز .
- ٢ - تنحصر أهم العوامل المؤثرة على أرتفاع مركز ثقل كتلة الجسم خلال مرحلة الطيران فيما يلي :-
- أ - أرتفاع مركز ثقل كتلة الجسم خلال المرجحة لأعلى .
- ب - مقدار زاوية الانطلاق .
- ج - الناتج الحركي .
- ٣ - للحصول على منحنى طيران عال يجب أن يزيد معامل الناتج الحركي عن الواحد الصحيح وزاوية الانطلاق تقترب من الزاوية القائمة .
- ٤ - يوصى الباحث باستخدام الشابلونة القياسية لتقوم الأداء الحركي لمهارات المرجحات على جهاز المتوازيين .
- ٥ - يوصى الباحث ايضا باستخدام جهاز تسجيل القوى في الدراسات الديناميكية على أجهزة المتوازيين ، العقلة للبنين ، العارضتين المختلفتا الأرتفاع للبنات .
- ٦ - يوصى الباحث باستخدام طريقة الشابلونة المعدلة للباحث في تحديد موضع مركز ثقل كتلة الجسم في الأوضاع التي يمر بها الجسم خلال المسار الحركي في الحركات الرياضية لدقتها وسهولة إستخدامها .

٣ - ٢ ألعاب القوى

أولا : الدراسات الكينماتيكية :

« تأثير المسافة بين القدمين على السرعة في العدو » .

اسم الباحث . سيجرست P. O. Sigerseth .

جريناكر V. E. Grinake .

أهداف البحث .

تهدف هذه الدراسة إلى قياس سرعة البدء لمسافة (١٠ ، ٢٠ ، ٣٠ ، ٤٠ ، ٥٠ ياردة) من أوضاع البدء القصير والمتوسط والطويل .

اجراءات الدراسة العملية

١ - عينة البحث :

٢٨ طالبا من طلبة تخصص (ألعاب الميدان والمضمار) بجامعة أوجون منهم ٣ لديهم خبرة سنة أو أكثر كعداء ولاعب موانع ، باقى أفراد العينة لديهم خبرة واضحة فى ألعاب المضمار .

٢ - وسائل جمع البيانات .

- استخدام الباحثان فى هذه الدراسة جهاز المحلل للأداء الرياضى ذات مصدر كهربي كما استعملا التوقيت الآلى .

- استخدمنا أنواع البدء القصير والمتوسط والطويل التوزيع وكانت المسافة بين خط البداية والقدم الأمامية (١٩ ، ١٥ ، ١٣ بوصة) على التوالى ، المسافة بين خط البداية والقدم الخلفية (٢٩ ، ٣٢ ، ٤١ بوصة) ، المسافة بين أصبع القدم وأصبع القدم الأخرى كانت (١٠ ، ١٩ ، ٢٨ بوصة) على التوالى .

ثم اخذنا زمن كل مختبر فى أوضاع البدء المختلفة ولمسافات (١٠ ، ٢٠ ، ٣٠ ، ٤٠ ، ٥٠ ياردة) ولمحاولة واحدة مع مراعاة اعادة المحاولات الخطأ . وتم التنبيه على المختبرين بأن يمحروا على خط النهاية لكل مسافة للحد من السرعة التناقضية .

- الاستخلاصات .

استخلص الباحثان ما يلى :-

- أ - البدء المتوسط أفضل للعدائين من البدء الطويل والقصير .
- ب - يصل العدائون إلى سرعتهم القصوى بين ٤٠ ياردة ، ٥٠ ياردة .

« تأثير أوضاع بدء العدو المختلفة على السرعة » .

اسم الباحث .

ستوك . م . Stock. M .

أهداف الدراسة .

تهدف هذه الدراسة إلى تحليل سرعة الجري الناتجة من أربعة أوضاع مختلفة لبدء العدو .

أجراءات الدراسة العملية .

١ - عينة البحث .

٢٦ لاعب تتراوح أعمارهم من ١٤ - ١٨ سنة من لاعبي المضمار من ٣ مدارس عليا في كاليفورنيا .

٢ - وسائل جمع البيانات .

- استخدم الباحث التصوير السينمائي ، جهاز ميكانيكي لقياس السرعة .
- قسم الباحث افراد عينة البحث الى مجموعتين كل مجموعة تستعمل وضع بدء مختلف لكل محاولة وتغير الأوضاع في المحاولات التالية ، وكان مكعب البدء لكل مجموعة ثابت .

- استخدم ٤ أنواع من البدء ، البدء قصير التوزيع - المسافة بين القدمين ١١ بوصة - البدء المتوسط التوزيع - المسافة بين القدمين ١٦ بوصة وزاوية الركبة الخلفية ١٣٠° - البدء المتوسط العالي من الحوض - المسافة بين القدمين ١٦ بوصة وزاوية الركبة الخلفية ١٦٥° - البدء الطويل التوزيع - المسافة بين القدمين ٢٤ بوصة - .
- تم تعليم أفراد عينة البحث أنواع البدء السابقة وقد أعطى لهم نصف ساعة إحماء .

- الاستخلاصات .

أستخلص الباحث ما يلي :

أ - البدء القصير والمتوسط التوزيع أسرع في مسافة ٢٠ ياردة من أى نوع من أنواع البدء الأخرى .

ب - البدء المتوسط العالى من الحوض أفضل لمسافة ٥٠ ياردة من كل الأوضاع السابقة .

ج - متوسط الزمن بين ٢٠ - ٥٠ ياردة يكون أفضل فى البدء المتوسط والمتوسط العالى من الحوض عن البدء القصير والطويل .

« العوامل الميكانيكية المؤثرة فى سرعة الجرى ».

اسم الباحث .

لوتانن ب . Luhtanen. P .

كومى . ب . Komi. P .

أهداف البحث .

تهدف هذه الدراسة إلى تشخيص العلاقة بين السرعة والمتغيرات الكينماتيكية فى خطوة الجرى وتحليل ردود الأفعال فى الأفعال فى أجزاء الجسم المختلفة .

اجراءات الدراسة العملية .

١ - عينة البحث .

تم اختيار ٦ لاعبين على المستوى القومى فى الميدان والمضمار - (عداء ، لاعبان وثب ، لاعب واحد للعشارى ، لاعب واحد رمى) - كعينة للدراسة .

٢ - وسائل جمع البيانات .

استخدمت آلة تصوير سينمائية ذات تردد عالى (١٠٠٠ ص / ث) ، تم تصوير وقياس معدلات مختلفة للسرعة (٤٠٪ ، ٦٠٪ ، ٨٠٪) من السرعة القصوى لكل لاعب ، وقد حدد الباحث متغيرات الدراسة فيما يلى :-

. زمن الطيران (FT.) .

. زمن الأرتكاز (CT.) وقسمه

الى :-

. زمن سالب (CTneg.) .

. زمن إيجابى (CTpos.) .

. طول الخطوة (SL.) .

. تردد الخطوة (SR.) .

وذلك من خلال دورة خطوة واحدة أى فى المرحلة بين أقصى ارتفاع لمركز ثقل كتلة الجسم خلال الطيران المتواليين .

ردود الأفعال فى أجزاء الجسم المختلفة أثناء مرحلة الارتكاز الإيجابى (الخلقى) .

- الاستخلاصات .

ونتيجة لهذه الدراسة تم استخلاص مايلى :-

أولا - بالنسبة لطول الخطوة وترددها والتذبذب العمودى فى مركز ثقل كتلة الجسم :-

- أثبتت الدراسة أن الوصول للسرعة القصوى (فى الجرى) لابد ان يصاحبه زيادة فى معدل تردد الخطوة ويقابله تقصير فى طولها .

- إرتبط أعلى مقدار للتذبذب العمودى فى مركز ثقل كتلة الجسم ارتباطا عكسيا مع سرعة الجرى ، حيث كان أعلى إرتفاع له عند السرعة المنخفضة بينما وصل أدنى مقدار له عند السرعة القصوى .

ثانيا - بالنسبة لزمنى الارتكاز والطيران .

- يقل زمن دورة الخطوة الواحدة عندما ترتفع السرعة من ٤٠٪ إلى ١٠٠٪ .

- يقل زمنى الارتكاز والطيران بزيادة سرعة الجرى ، كما أظهرت النتائج أن زمن الطيران كان أقل من زمن الارتكاز عند السرعة المنخفضة وأكثر طولاً فى معدلات السرعات الأخرى .

ثالثا - بالنسبة لقوى ردود أفعال أجزاء الجسم .

- شوهد أعلى مقدار لمحصلة تأثير رد فعل الجذع فى الاتجاه الأمامى عند كل من السرعة القصوى والسرعة المنخفضة .

- كانت قوة رد فعل الرجل أثناء زمن الارتكاز الإيجابى دائما إيجابية ، أن مقدار تأثيرها فى الاتجاه الأمامى كان أكبر من مقدار ردود الأفعال فى الجذع فى جميع قياسات معدلات السرعات المختلفة .

- كان تأثير قوى رد الفعل في الذراعين في الاتجاه الأمامي سلبي دائما .
- ظهر أن رد الفعل في مركز ثقل كتلة الجسم مختلفا في الاتجاه العمودي وأقل من
الاتجاه الأمامي في كل قياسات معدلات السرعة ، وكانت أعلى قيمة لمقدار رد فعل
مركز ثقل كتلة الجسم عموديا عند السرعة القصوى ، وأدنى قيمة له عند معدل
السرعة ٤٠٪ .

« تحليل بيوميكانيكى لأداء الحواجز المتوسطة التوزيع » .

اسم الباحث .

كوفمان . د . D . Koufmann

بيوتروسكى . ج . G . Piotrowski

أهداف البحث .

تهدف هذه الدراسة إلى تحليل أداء الحواجز المتوسطة التوزيع .

اجراءات الدراسة العملية .

١ - عينة البحث .

اختير ثلاث لاعبين لكل سباق من المتسابقين وتضمن كل منها لاعب مبتدىء
ولاعب منتخب الجامعة ، بطل الجامعات .

٢ - وسائل جمع البيانات .

تم استخدام التين تصوير سينمائي وضعت أحدهما في الاتجاه الجانبى والأخرى في
الاتجاه الأمامى عند منتصف منحني مضمار ألعاب القوى ، وضعت ١٦ علامة مميزة
على مراكز ثقل أجزاء جسم اللاعب المختلفة بهدف المعاونة في اجراء التحليل ، كما
استخدم الحاسب الآلى في حساب مقادير البيانات المسجلة . كما تم استخدام طريقة
كونتينى (١٩٧٢) للقياسات الانثروبومترية لتقدير الأوزان التقريبية لأجزاء
الجسم المختلفة وتحديد مراكز ثقلها وبالتالي ثقل كتلة الجسم الكلى .

وقد تضمنت الدراسة المتغيرات التالية :-

- الرجل الأمامية (زاوية الركبة ، وأعلى الفخذ إلى جانب ميل الجذع ، عزم
القصور الذاتى وكتلة الرجل ، درجة الامتداد (المد أو الفرد) في مفصل الركبة .

- للتحقيق من الفروق الناتجة عن هذه الدراسة تم حساب طول الرجل الأمامية لكل صورة .

- الاستخلاصات .

ونتيجة لهذه الدراسة استخلص مايلي :-

- يميل جميع لاعبي الحواجز المتوسطة التوزيع بالجذع والرأس للداخل تجاه الناحية اليسرى من منحني المضمار .
- لوحظ أن اللاعب البدئي يميل بصورة كبيرة إلى حد ما بالرأس (للداخل) ويميل بالجذع بعكس اللاعب بطل الجامعات حيث أظهر زيادة في الميل بالرأس والجذع للداخل بمقارنته بلاعب منتخب الجامعة .
- أظهرت نتائج الدراسة فروق بين اللاعبين عند تخطيطية الحاجز حيث سجل اللاعب المبتدئ في بعده عن منتصف الحاجز مسافة أكبر من تلك التي سجلها اللاعبين الآخرين .

- أثبتت الدراسة وجود فروق بين اللاعب البطل وبين اللاعبين الآخرين لصالح لصالح اللاعب البطل حيث سجل مسافة أكبر من حيث بعد مكان الارتقاء عند الحاجز .

- أظهرت نتائج مسار مركز ثقل كتلة الجسم والرجل الأمامية أن أقصى إرتفاع وصل إليه اللاعب البطل هو ١٠ سم فوق الحاجز ، في حين زاد هذا الارتفاع بالنسبة للاعبين الآخرين .

- كما أوضحنا نتائج الدراسة أن أماكن الهبوط تقريبا كانت متطابقة لأفراد العينة .

- جاءت نتائج لاعب الموانع متفقة تقريبا مع النتائج السابقة للاعب الحواجز المتوسطة .

- كما أوضحنا نتائج هذه الدراسة أن لاعبي كلا السباقين يشتركان في سمة هامة وهي وجود تناسق بين عمليتي الثني الكامل والمد الكامل للرجل الأمامية عند الأقتراب من الحاجز أو المانع ، وأن أهم ما يميز ذلك هو مقدار عزم القصور الذاتي للرجل الأمامية في مرحلتى الثني - درجة الانثناء - والمد في الركبة أثناء مرورها فوق الحاجز أو المانع ، حيث أظهرت النتائج أن اللاعب بطل الحواجز سجل أعلى مقدار

لعزم القصور لذاتي ، وأعلى درجة في ثني ومد الركبة عن اللاعبين الآخرين ، في حين أن هذه الاختلافات لم تكن واضحة بالنسبة للاعب الموانع .

ثانيا - الدراسات الديناميكية :

« القدرة الميكانيكية الناتجة في الجري » .

اسم الباحث .

فكانجا Fukunaga .

ماتسوي Matsuo .

ياسا Yusa .

أساهينا Asahina .

أهداف البحث :

تهدف هذه الدراسة إلى تحديد مقدار الشغل المبذول ضد الجاذبية خلال سرعات مختلفة تصل إلى حد السرعة القصوى .

إجراءات الدراسة العملية .

١ - عينة البحث .

إستخدم ٨ عدائين تراوحت أعمارهم بين ١٩ إلى ٢٨ عاما ، وأوزانهم بين ٥٦ إلى ٧٣٫٥ كيلو جرام ، أطولهم بين ١٦٥٫٨ إلى ١٨٣٫٧ سنتيمتر كعينة لهذه الدراسة .

٢ - وسائل جمع البيانات .

استخدمت آلة تصوير سينمائي (١٦ مم) ذات تردد عال يصل إلى ١٠٠ صورة / ثانية في السرعة المنخفضة ، ٢٠٠ ص / ث في السرعة المرتفعة ، كما استخدمت لوحة قياس القوى ومم تثبيتها بمستوى أرض المضمار . كما استخدم التحليل الكينماتوجرافي والكيناتوجرافي للحصول على البيانات الأساسية لهذه الدراسة .

- الاستخلاصات

- نتيجة لهذه الدراسة استخلص الباحثون ما يلي :-
 - أثناء لحظة اتصال القدم بالأرض (أرتكاز أمامى) ينتج شغل سلبى Negative work كقوى معطلة يتحول الى شغل إيجابى Positive work يعمل كقوى تساعد على تقدم اللاعب للأمام .
 - أثبتت نتائج هذه الدراسة وجود علاقة إيجابية بين الشغل المبذول فى اتجاه المركبة الأفقية وبين سرعة الجرى التى تتراوح بين ٣ إلى ٦ متر/ث ، ويتفق هذا مع نتائج الدراسات السابقة .
 - يزداد الشغل المبذول فى الدقيقة فى الاتجاه الأفقى زيادة سريعة عندما ترتفع السرعة من ٦ م/ث إلى ٩ م/ث ، ومرد ذلك إلى إرتفاع معدل تكرار الخطوة نتيجة لارتفاع مقدار القدرة الميكانيكية فى هذا الاتجاه .
 - يتساوى مقدار الشغل المبذول فى الاتجاه العمودى - ضد الجاذبية - مع مقدار الشغل المبذول فى الاتجاه الأفقى عند سرعة من ٥ إلى ٦ م / ث .
 - يزداد مقدار الشغل فى الاتجاه الأفقى تدريجيا عن مقدار الشغل فى الاتجاه العمودى عند أرتفاع سرعة الجرى إلى أكثر من ٦ م/ث ، بينما يقل هذا المقدار عن المقدار فى الاتجاه العمودى عندما تكون سرعة الجرى أقل من ٥ م/ث .
- « ديناميكية الأرتكاز فى الجرى » .

اسم الباحث .

سليمان على حسن (١٩٦٤) .

أهداف البحث .

تهدف هذه الدراسة إلى إيجاد العلاقات الديناميكية التى تفسر عمل القدم كقاعدة أرتكاز ثابتة على الأرض أثناء العدو ، مدى تأثيرها على سرعة اتجاه حركة الجسم .

إجراءات الدراسة العملية .

١ - عينة البحث .

حدد الباحث ٥ عدائين كعينة لهذه الدراسة .

٢ - وسائل جمع البيانات .

ثبت الباحث لوحة قياس القوى بمستوى أرض المضمار ، استخدم آلة تصوير سينمائية ذات تردد ٥٠ م/ث ، ثبتها عموديا على اتجاه الحركة وعلى مسافة ٨٠ متر . تم قياس وتصوير محاولات كل عداء على مسافات ٣ م ، ٢٠ م ، ٦٠ م . وقد حدد الباحث متغيرات الدراسة في مسار القوة ومدى تأثيرها (مع ارتباطها بالزمن) مع إيجاد العلاقات المختلفة بين كل من دفع الأيقاف Broking ، دفع العجلة Acceleration ومدى ارتباط هذا التأثير بمسار مركز ثقل كتلة الجسم أثناء الخطوة .

- الاستخلاصات .

نتيجة لهذه الدراسة إستخلص الباحث مايلي :-

أ - تقسيم الارتكاز إلى مرحلتين رئيسيتين :-

- مرحلة الارتكاز الأمامى : وفيها تكون قاعدة الارتكاز أمام مركز ثقل كتلة الجسم وتبدأ هذه المرحلة من لحظة لمس القدم للأرض وحتى اللحظة العمودية لمركز ثقل كتلة الجسم فوق القدم المرتكزة .

- مرحلة الارتكاز الخلفى : وفيها تكون قاعدة الارتكاز خلف مركز الجسم فوق القدم المرتكزة وتنتهى بترك القدم للأرض .

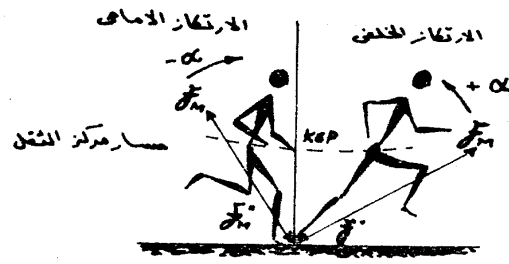
وتحدث في كلا المرحلتين تغيرات مختلفة في مقادير القوى المبدولة والنتيجة وفقا لما يلي :-

- عند وضع القدم على الأرض - مرحلة الارتكاز الأمامى - تقوم العضلات بمقاومة دفع القصور الذاتي لكتلة الجسم عموديا - من أعلى إلى أسفل - بقوة في الاتجاه المضاد فينتج عجلة تقصيرية - دفع الأيقاف كما في شكل (٣٧) - تتحول إلى عجلة تزايدية - دفع العجلة في مرحلة الارتكاز الخلفى .

- يكون الفعل ورد الفعل أفقيا بين العضلات والأرض إلى الخلف في مرحلة الارتكاز الأمامى ، وإلى الأمام في مرحلة الارتكاز الخلفى ، وهما مقدارين متساويين ومتضادين في الاتجاه .

- تمكن الباحث من قياس الدفع أفقيا وعموديا والذي تقوم به العضلات فنتج الكميات الحركية المتجهة والمتغيرة وفقا لزوايا الانحراف في مركز ثقل كتلة الجسم

خلال الأداء في مرحلة الارتكاز الأمامي والخلقي ، واستخلص العلاقات الحركية التالية :-



شكل (٣٧)

- عزم القوة في حالة الارتكاز الامامي والخلقي اثناء العدو (عن سليمان)
- إذا كان المقدار الموجب للمركبة الأفقية أكبر من المقدار السالب لنفس المركبة ينتج تزايد في السرعة أفقياً .
- إذا كان المقدار الموجب للمركبة الأفقية أقل من المقدار السالب لها ينتج تناقص في السرعة أفقياً .
- إذا تساوى المقداران لنفس المركبة تصبح السرعة منتظمة .
- يحدث تزايد أو تناقص في السرعة عمودياً إذا جاءت مقادير المركبة العمودية الموجبة والسالبة - بنفس الأسلوب السابق .
- عندما يتساوى مقدارى المركبة العمودية ينتظم مقدار الارتفاع والانخفاض في مركز ثقل كتلة الجسم .
- تمكن الباحث من إيجاد زاوية الانحراف والمتغيرة خلال المسار الحركي لمركز ثقل كتلة الجسم عن طريق قسمة المقدار السالب للمركبة العمودية على المقدار السالب للمركبة الأفقية - القوى المعطلة - أو من قسمة المقدار الموجب للمركبة العمودية على المقدار الموجب للمركبة الأفقية - القوى الموجبة أو التزايدية -
- كما تمكن من إيجاد علاقة حركية (ناتج حركي) من خلال هذه القوى المعطلة والقوى الموجبة .

« العلاقات الديناميكية المصاحبة لخطوة الحاجز » .

اسم الباحث .

عبد النبي المغازى (١٩٨١)

أهداف البحث

تتضمن أهداف البحث فيما يلي :-

- ١ - تحديد أهم المتغيرات الديناميكية المؤثرة في ديناميكية خطوة الحاجز .
- ٢ - تحديد أنسب وضع لتجميع مقادير دفع الدوران في اتجاه كل من المركبتين الرأسية والأفقية والذي يؤدي إلى أفضل مستوى رقمي .
- ٣ - تحديد أكثر المتغيرات الديناميكية المؤثرة في خطوة الحاجز مساهمة في المستوى الرقمي .

أجراءات الدراسة العملية .

١ - عينة البحث .

حدد الباحث ٨ محاولات لثلاثة متسابقين لسباق ١١٠ متر حواجز في المستوى الدولي بجمهورية مصر العربية .

٢ - وسائل جمع البيانات .

وقد حددها الباحث في ، التصوير السينمائي والتحليل الكينماتوجرافي والحاسب الآلي باستخدام التحليل المنطقي للانحدار لمتغيرات خطوة الحاجز . كما حدد الباحث متغيرات الدراسة فيما يلي :-

- تحديد موقع مركز ثقل الجسم .
- تحديد الفترات الزمنية للأداء .
- تحديد المسار الحركي لمركز ثقل كتلة الجسم .
- حساب السرعات والعجلات اللحظية ، السرعة الزاوية لمركز ثقل كتلة الجسم .

- حساب العجلة اللحظية لمركز ثقل كتلة الجسم .
- حساب كتلة جسم اللاعب .
- حساب القوة المؤثرة على مركز ثقل كتلة الجسم .

- حساب دفع القوى المؤثرة على مركز ثقل كتلة الجسم .
- حساب عزم القصور الذاتي لكتلة الجسم حول قاعدة الارتكاز .
- حساب دفع الدوران المؤثرة على مركز ثقل كتلة الجسم .

- الاستخلاصات .

- نتيجة لهذه الدراسة أستخلص الباحث ما يلي :-
- أ - تنحصر أهم المتغيرات المؤثرة في ديناميكية خطوة الحاجز في :-
- الناتج الحركي للارتكاز الأمامي قبل الحاجز .
- الناتج الحركي للارتكاز الخلفي قبل الحاجز .
- أعلى ارتفاع لمركز ثقل كتلة الجسم خلال مرحلة الطيران .
- الناتج الحركي للارتكاز الأمامي بعد خطوة الحاجز .
- الناتج الحركي للارتكاز الخلفي بعد خطوة الحاجز .
- طول الخطوة .
- زمن الخطوة .

ب - يعتبر الوضع عند الصورة (١٠) في لحظة كسر الاتصال قبل الحاجز أنسب وضع لتجميع أنسب مقادير لدفع الدوران في اتجاه كل من المركبتين العمودية والأفقية والذي أدى إلى أفضل مستويات العينة رقبيا ، وقد تميز هذا الوضع في أفضل المحاولات بالخصائص الشكلية التالية :-

- زاوية ميل الرأس والجذع ° ١٦٤ر٠
- الزاوية بين العضد الأيمن والجذع ° ٥٦ر٥
- الزاوية بين الساعد الأيمن والعضد الأيمن ° ١٧٩ر٠
- الزاوية بين العضد الأيسر والجذع ° ٣٧ر٥
- الزاوية بين العضد الأيسر والساعد الأيسر ° ١٧٩ر٥
- الزاوية بين الفخذ الأيسر (رجل الأرتقاء) والجذع ° ١٦٤ر٥
- الزاوية بين الفخذ الأيسر والساق اليسرى (رجل الأرتقاء) ° ١٦٤ر٠
- الزاوية بين الساق اليسرى والقدم اليسرى (رجل الأرتقاء) ° ١٢٢ر٥

- الزاوية بين الفخذ الأيمن والجذع ٤٩.٥° .
 - الزاوية بين الفخذ الأيمن والساق اليمنى ٦٣.٠° .
 - الزاوية بين الساق اليمنى والقدم اليمنى ١٠٧.٠° .
- ج - تمكن الباحث من تحديد أربعة متغيرات أكثر مساهمة في المستوى الرقوى وهي :

- المتغير الأول : زمن الخطوة .
- المتغير الثاني : الناتج الحركى للارتكاز الأمامى قبل الحاجز .
- المتغير الثالث : أعلى إرتفاع لمركز ثقل كتلة الجسم خلال مرحلة الطيران .
- المتغير الرابع : طول الخطوة .

« كينماتيكية وكيناتيكية الأرتقاء في الوب الطويل » .

اسم الباحث .

بوسكو Bosco .

لوتانن Luhtanen .

كومى Komi .

أهداف البحث .

تهدف الدراسة القائمة إلى التعرف على أهم العوامل المرتبطة بالأداء الجيد ، ومدى التباينات في ردود الأفعال والأزاحة في مركز ثقل كتلة الجسم لحظة الإرتقاء .

أجراءات الدراسة العملية

١ - عينة البحث .

اختار الباحثون عينة الدراسة من أربعة لاعبين على المستوى القومى الفنلندى وهم قياس وتسجيل وتصوير محاولتين لكل لاعب .

٢ - وسائل جمع البيانات .

استخدم الباحثون آلة تصوير سينمائية ١٦ مم ذات تردد عال ١٠٠ ص/ث وهم تثبيتها عموديا على اتجاه الحركة وعلى بعد ٢٥ متر من لوحة قياس القوى . كما تم تثبيت لوحة قياس القوى بمستوى سطح أرض المضمار لتسجيل مقادير القوى في كلا الاتجاهين الرأسى والأفقى .

- الاستخلاصات .

توصل الباحثون إلى ما يلي :-

- هناك علاقة سلبية بين زمن الارتكاز وبين طول مسافة الوثبة . حيث لوحظ أن الأداء الجيد ، يرجع إلى مقدار السرعة العمودية (V_y) في مرحلة الارتكاز حيث كانت ٦٠٪ من مقدار السرعة العمودية الكلية أثناء الارتقاء .
- توجد علاقة ضعيفة بين السرعة العمودية النهائية أثناء الارتقاء وبين طول مسافة الوثبة بينما توجد علاقة بينية واضحة بين السرعة العمودية وبين السرعة الأفقية (V_h) أثناء مرحلة الارتكاز ، فقد كانت العلاقة سالبة ($r = -0.87$) أثناء المرحلة الأولى من الارتكاز (إرتكاز أمامي) ، وموجبة ($r = 0.9$) أثناء المرحلة الثانية من الارتكاز (إرتكاز خلفي) ولذا تميز الأداء الجيد بأقل انخفاض في مقدار السرعة الأفقية أثناء المرحلة الأولى من الارتكاز .
- في الأداء الجيد يبدأ مركز ثقل كتلة الجسم في الارتفاع بعد لحظة لمس القدم للأرض مباشرة بينما في الأداء الضعيف يظل مركز ثقل كتلة الجسم على نفس الارتفاع تقريباً خلال نفس اللحظة ، لأن اللاعب يحتاج في هذه الحالة لزمن أطول حتى يصل إلى سرعته العمودية القصوى .
- أكدت نتائج هذه الدراسة على أهمية المرحلة الأولى من الارتكاز - وليس المرحلة الثانية - لأداء وثبة جيدة .
- يعتمد الأداء الجيد للارتفاع على مقدار الاستفادة من الطاقة المرنة . Elastic E .
- المحتزنة في العضلات لحظة انقباضها أثناء الدفع ، وأن زيادة زمن الانقباض سوف يؤدي بالتالي إلى انخفاض مركز ثقل كتلة الجسم والذي يؤدي بدوره إلى أداء ضعيف .

٣ - ٣ الغطس

أولاً - الدراسات الكينماتيكية :

« التحليل الميكانيكي للغطس » .

اسم الباحث .

وليام . هـ . جروفيز William H. Groves .

أهداف البحث .

تتضمن أهداف هذه الدراسة فيما يلي :-

١ - محاولة لأضافة الدليل لصدق الدراسات السابقة والتي قدمت في مجال الفطس .

٢ - محاولة لوضع الفطسات المعقدة تحت الدراسة والبحث باستخدام التحليل الميكانيكى من خلال الجداول والخرائط التوضيحية لكيفية أداء الفطسات .

أجراءات الدراسة العملية .

١ - عينة البحث .

تم اختيار ثلاثة لاعبين مختلفين في الأوزان والأشكال ، وتم أداء كل لاعب ستة غطسات .

٢ - وسائل جمع البيانات .

استخدام الباحث التحليل الكينماتوجرافى وحدد متغيرات الدراسة فيما يلي .

- أرتفاع الغطسة .

- زاوية الأرتقاء .

- مكان مركز كتلة الجسم اللاعب على المسار .

- أختلاف سرعة دوران الجسم في مراحل الغطسة ثم بين الغطسات .

- النتائج والاستخلاصات .

أ - أثبتت المراجعة الحسابية على الطريقة المستخدمة في الحصول على مركز ثقل كتلة الجسم نتائج طيبة .

ب - أن أدنى مقدار لأختناء اللوحة مع أكتمال حركة الذراعين عاليا سيزيد الأرتفاع لأكبر قدر ممكن .

ج - من أجل الحصول على غطسة ممتازة فإن أقصى أرتفاع يكون مطلوبا لتحقيق ذلك . ومن ثم كان من الضرورى توجيه الأهتمام لمقدار الميل الذى يقوم به اللاعب .

د - عندما يزيد عدد مرات الدورانات ، فإن الميل على اللوحة سوف يزيد ، وبالتالي الأرتفاع سيقبل .

هـ - إن الأستخدام المناسب للمساعدات العملية والدراسة التحليلية لها أثر كبير في مساعدة مدرب الفطس على تأدية مهامه .

« المقارنة التحليلية للأرتقاء المستخدم لمجموعة الفطسات الأمامية والمعكوسة من السلم المتحرك » .

اسم الباحث .

د . ميلر D. Miller .

اهداف البحث ..

- ١ - مقارنة بين الأرتقاء لمجموعة الفطسات المختارة الأمامية والمعكوسة .
- ٢ - الأضافة الوصفية للبيانات الموجودة مع تقديم معلومات لم تكن متوفرة في مجال الأبحاث لهذه الرياضة .
- ٣ - تخدم كواحدة من الدراسات الأولى في مجال تصوير الفطس من السلم المتحرك .

إجراءات الدراسات العملية .

- ١ - عينة البحث .
تم اختيار اثنين من اللاعبين ، اثنين من اللاعبين وقاموا بأداء ١٦ محاولة لمجموعة الفطسات المختارة .
- ٢ - وسائل جمع البيانات .
أستخدمت كاميرا لوكام Locam ١٦ م وكان تردد الكاميرا ٦٢ ص/ث
١٦ م وكان تردد الكاميرا ٦٢ ص/ث

وحددت الفطسات التالية : -

- أ - الفطسة الأمامية .
- ب - الفطسة المعكوسة .
- ج - $\frac{1}{4}$ ٢ أمامية (للرجال والسيدات) .
- د - $\frac{1}{4}$ ١ معكوسة (للسيدات) ، $\frac{1}{4}$ ٢ معكوسة للرجال .
وقد تمت الدراسة من السلم المتحرك أرتفاع ٣ متر ، وكانت اللوحة من نوع Dura flex spring board .

وقد قام كل لاعب بأداء ثلاث محاولات لكل غطسة وصورت وحلت على جهاز محلل الصور .

- النتائج والاستنتاجات .

أ - قام الباحث بدراسة تحليلية للتغيرات الزاوية لمفاصل الطرف السفلى للغطسات المختارة أثناء عملية الارتقاء من خلال التقسيم .الموضوع : حركة اللوحة لأسفل ، حركة اللوحة لأعلى والثلاث أوضاع التي قام الباحث بحساب زوايا أجزاء الجسم بها فوجد أنها تختلف فيما يلي :-

- لحظة التلامس مع اللوحة (نهاية الوثبة) .

- عند أدنى وضع (أنحناء) لحركة اللوحة لأسفل .

- عند لحظة الانطلاق في الهواء .

ب - إن الاتجاه النهائي للدوران يعتمد على علاقة القوة الخاصة بحركة اللوحة للأمام ولأعلى بوضع مركز ثقل كتلة جسم اللاعب .

ج - تم اجراء مقارنة بين أزمنة الارتكاز على اللوحة (لمرحلة الارتقاء) ، وظهر منها أن أزمنة الارتكاز في الغطسات المختارة تتراوح ما بين ٠.٣٨ ، ٠.٤٨ ثانية ، وأن أزمنة ارتكاز الرجال تزيد عن أزمنة ارتكاز السيدات .

٣ - ٤ السباحة

أولا - الدراسات الكينماتيكية

« تحديد الزاوية المثالية للانطلاق في البدء من المكعب في السباحة » .

اسم الباحث .

ريتشارد جروفرزاند ، جون روبرت R. Groversand and G. robert .

أهداف البحث :

تهدف هذه الدراسة إلى تحديد الزاوية المثالية التي يجب أن ينطلق بها الجسم للحصول على أكبر سرعة أفقية من وضع البدء في سباقات السباحة .

أجراءات الدراسة العملية

١ - عينة البحث

شملت عينة البحث عدد ١٦ طالب من جامعة ميسوري . وتم تصوير كل لاعب في أداء مهارة البدء خمسة مرات .

٢ وسائل جمع البيانات

استخدم الباحثان التحليل الكينماتوجرافي وحددا متغيرات الدراسة فيما يلي :-

- زاوية الانطلاق .

- السرعة الأفقية .

- المجهود العضلي .

- النتائج والاستخلاصات

أ - توصل هيستر إلى أن قيمة الزاوية المثالية للانطلاق من وضع البدء في السباحة ١٣ بالنسبة للاعب المتوسط ، كما أنها تختلف من فرد لآخر تبعاً لوزنه وهذه الاختلافات البسيطة لم تكن ذات تأثير ضار .
وتتفق نتائج هذه الدراسة مع هيستر فيما ذكر عن قيمة الزاوية ولكنها تختلف معه في اتجاهها .

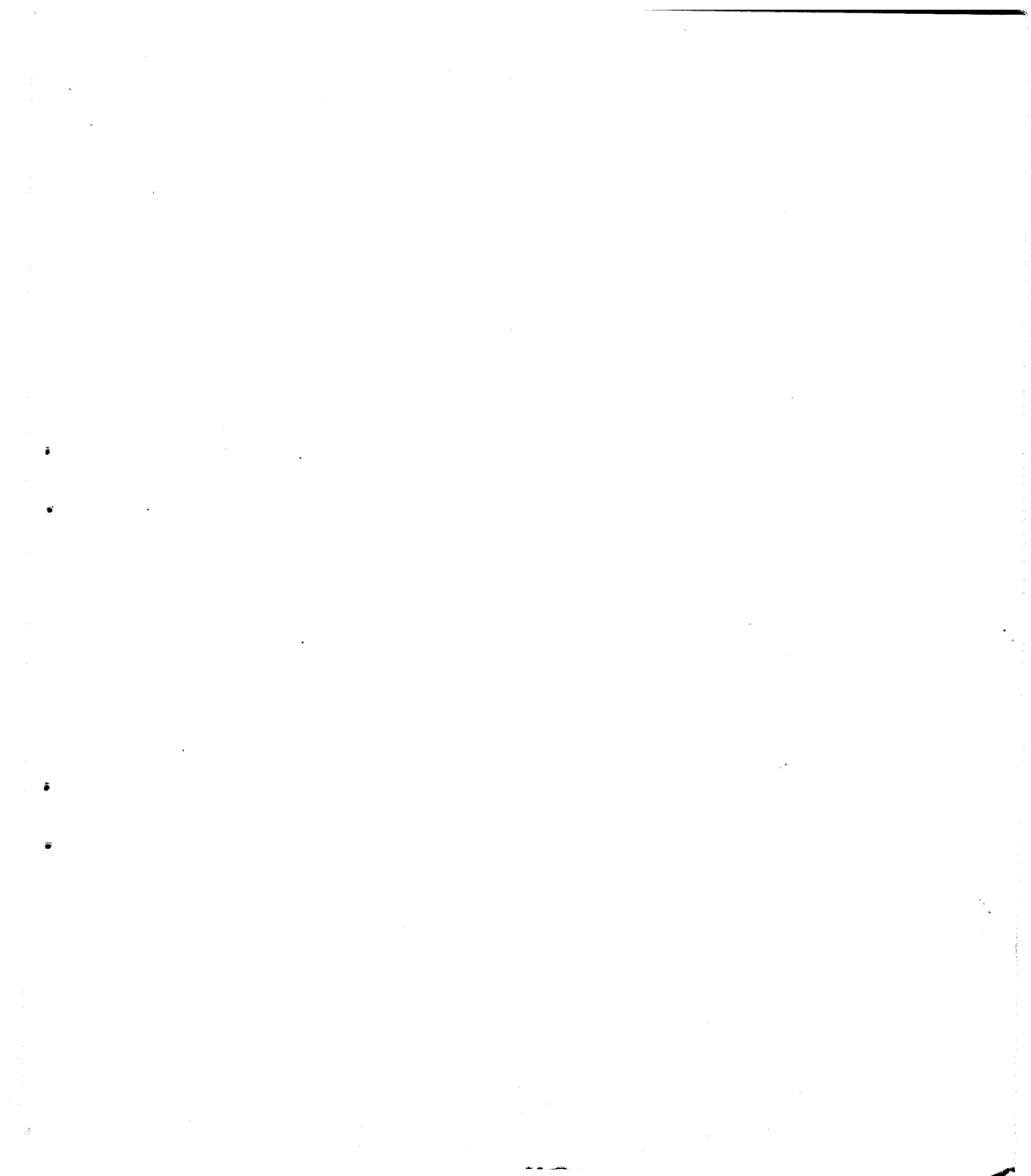
ب - يشير هيستر إلى أن اللاعب الثقيل يجب أن يدفع نفسه في زاوية أعلى من زاوية قرينه الأخف وزناً ، ونتائج هذه الدراسة لا تعضد ذلك حيث وضع أن اللاعب يستفيد من القذف في اتجاه الزاوية المثالية بغض النظر عن وزنه ، كما تعضد نتائج هذه الدراسة ما أشار إليه هيستر من أن أى انحراف دائرى لزيادة قيمته عن ٩ عن الزاوية المثالية لا يسبب ضرراً .

ج - يجب ألا يلتزم السباحون والمدربون بالقيمة المحددة تماماً ولكن يكفي أن يتم الدفع في اتجاه أقل من الأفقى .

د - أن كل لاعب يجب أن يقذف نفسه في اتجاه الزاوية المثالية بغض النظر عن وزن كتلته .

الفصل الرابع

- ٤ - ٠ المراجع .
- ٤ - ١ المراجع العربية .
- ٤ - ٢ المراجع الأجنبية .



المراجع العربية

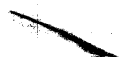
- ١ - أحمد حمادة وآخرون . الميكانيكا . الجهاز المركزى للكتب الجامعية والمدرسية والوسائل التعليمية . القاهرة ١٩٧٦ م .
- ٢ - جمال علاء الدين . دراسات معملية في بيوميكانيكا الحركات الرياضية . دار المعارف . ١٩٨١ م .
- ٣ - جيرد هوخموث . الميكانيكا الحيوية وطرق البحث العلمى للحركات الرياضية . ترجمة كمال عبد الحميد . دار المعارف . القاهرة . ١٩٧٨ م .
- ٤ - رمزية الغريب . التقويم والقياس النفسى والتربوى . مكتبة الانجلو المصرية . ١٩٧٠ م .
- ٥ - زكى الحبش . علم الحركة فى المجال الرياضى . مكتبة القاهرة الحديثة . القاهرة . ١٩٦٤ م .
- ٦ - سعد كامل أحمد معوض وآخرون . ديناميكية الجسم . ط ١ . مطبعة المدنى . القاهرة . ١٩٧٥ م .
- ٧ - سليمان على حسن . القوى فى حركة الإنسان . صحيفة التربية الرياضية . السنة الثانية . العدد الثانى . كلية التربية للبنين . القاهرة . جامعة حلوان . ١٩٧٨ م .
- ٨ - عادل عبد البصير على . تحليل ديناميكية بعض حركات المرجحات من وضع الأرتكاز على جهاز المتوازيين . رسالة دكتوراة . كلية التربية الرياضية للبنين . القاهرة جامعة حلوان . ١٩٨٣ م .
- ٩ - عبد النبى المغازى احمد خضر . العلاقات الديناميكية المصاحبة لخطوة الحاجز . رسالة دكتوراة . كلية التربية الرياضية للبنين . القاهرة . جامعة حلوان . ١٩٨١ م .

- ١٠ - عواطف محمد لييب ، التشخيص العلمى للحركة الرياضية ، صحيفة التربية ، السنة الثانية ، العدد الثانى ، كلية التربية الرياضية للبنين ، القاهرة ، جامعة حلوان ، يونيو ١٩٧٨ .
- ١١ - صدقى سلام ، جمال العدو والجري والتتابعات فى ألعاب القوى ، مطابع الدار البيضاء ، القاهرة ، ١٩٧٥ م .
- ١٢ - فوزى يعقوب ، عادل عبد البصير ، النظريات والأسس العلمية لتدريب الجمباز ، الجزء الأول ، ط ٢ ، مكتبة الزمالك ، القاهرة ، ١٩٧٦ م .
- ١٣ - ليف ليفينسون ، أسس الميكانيكا التطبيقية ، الجزء الأول ، دار مير للطباعة والنشر ، موسكو ، ١٩٦٨ م .
- ١٤ - محمد صبحى حسانين ، التقوم والقياس فى التربية البدنية ، الجزء الأول ، دار الفكر العربى ، القاهرة ، ١٩٧٩ م .
- ١٥ - محمد يوسف الشيخ ، الميكانيكا الحيوية وعلم الحركة ، دار المعارف ، القاهرة ، ١٩٦٩ م .

المراجع الأجنبية

- 16 -Barrow, H. M., Mc Gee . Apractical Approach to
Measurement in physical Education,
2 nd ed ., Lea and
Febiger, philadelipha, 1973 .
- 17 -Barry, L. & others . Practical Measurement for Evaluation of Phy . Ed
..Burgess Publishing Company Minneapslis Minneapolis, 2 nd . Ed .
1976 .
- 18 -Barry, L. & other . Practical Measurement for Evahuation of Phy . Ed.,
Burgess publishing Company Minneapolis, Minnesota 2 nd. Ed..
1974 .
- 19 -Bergman, B.W. Acinematographical and Kinnatic Analysis of the Center
at gravity during the Kip on the High Horizontal Bar, M.A., in Phy . Ed.,
1973, Aahper, Completed Research in Hrper . Inc. International
Sources, University of Mery Land College Park, Mery Land, 1973 .
- 20 -Borns and others . Biomechanical Study of Forward and back ward Gaint,
Vrije Universiteit Brussel, Brussel, inc. Paavo, Komi, International
Series on Biomechanics. V-B, University Park Press Baltimore, 1976 .
- 21 -Borrmann, G., . Grattmen, Sportverlg, Berlin, 1962 .
- 22 -Bouchmann, G., On the Teaching Progression of Heavy Gymnastic
elements structure, International Paper for Foreigen Student graduated
from German College for Phy. calature in Leipzig. DHFK, 1976 .
- 23 -Braun, W. and O. Fischer. Bestimmung der Tragheits Momente des
Menschichen Korpers und Secner Glieder, Ahh. dkg L.S.Gd W.Bd. Xiii,
1989 .
- 24 -Broer, M., An Introduction to kinesiology Englwood Cliffs, N.J. Hall,
1968 .
- 25 -Clayne R.J & Fisher A.G. Scientific Basis of Athletic conditioning, Lea
and Febiger, Philadelipha. 1975 .
- 26 -Cooper, J.M & G Lasow, R.B. Kinesioly, 4 th Ed., Louis C.V. Mosby,
1976 .
- 27 -Dyson, G., The Mechanics of Athletics, University of London. Press LTP,
1962 .
- 28 -Erling A. and Kurt J.. Biomechanics VI - A, international Series on
Biomechanics, University Park Press-Baltimore, 1978 .
- 29 -Francisx and others. Track and Field Athletics, 8 th Ed., Saint Louis,
1974 .
- 30 -Hay, J.G. The Biomechanical of Sports Techniques, 2 d. ed., Prentice-Hall,
Inc., Englwood Cilff, 1978 .

- 31 -Jim B. and Don W. **Dynamic Track and Field**, Allyn and Baco. Inc.. Boston. London, Sydney, Toronto, 1978.
- 32 -Kaneko, A. **Olympic Gymnastics**, 3rd ed., Sterling Publishing New York, 1979.
- 33 -Kreighbaum, E.. **The Mechanics of the Use of the Reuther Board during side Horse Vaulting**, Montana State University, Bozeman, International Series on Sport Sciences, Vol. I. Biomechanics, Maryland, USA, 1974.
- 34 -Mariam, J. L., **Dynamics**, New York, Wiley, 1966.
- 35 -Meinel, K. **Bewegungslehre**, Bgert, Verlag Berlin, 1971.
- 36 -Miller, D. and Nelson, R.C. **Biomechanics of a Approach**, LEA & Febiger Philadelphia 1973.
- 37 -Miller, E.M. **Biomechanics of sports**, Philadelphia, 1973.
- 38 -Ramy, M.R. " **The use of Angular Momentum in the Study of Long Jump take-off**, Inc., Nelson, R.C., and Morehouse, C.A, ed. : **Biomechanics IV**, University Park Press, Baltimore, 1974.
- 39 -Singer P.O & Grinaker V.F. **Effect of Foot spacing Velocity in Sprints**, R.Q. 1962.
- 40 -Stock, M.. **Influence of Various Track Starting Positions on Speed**, R.Q., 1962.
- 41 -Steben E.R and Bells... **Track and Field, An Administrative Approach to the Science of coaching**, Wiley and Sons com., New York, 1978.
- 42 -Whitesett, C.E.. **Some Dynamic Resonance Characteristics of Weightless man** Technical Documentary Report, AMR'L-TDR-63-18, Wright-patterson Air Force Base, Ohio.
- 43 -Wiloson, B.D. and Hay, J.G. **Comparison of Methods for Determining the "Angular Momentum of Human Body**, ed., International Series on Biomechanics, Vol-Ib, Baltimore, University Park Press, 1976.
- 44 -Wiencke, B. "The Round off : **Archeological Analysis of Skillfully executed Gymnastic Stunt**, M.S. in Phy. Ed., University Wisconsin, 1972, Inc, AAHPER., Completed Research in HPER., vol-75, 1973.
- 45 -Zinkovskii, A.V and others. **Biomechanical Analysis of the Formation of Gymnastic Skill**, ed : International Series on Biomechanics, Vol.IB, University Park Press, Baltimore, 1976.





الجهاز المركزي للكتب الجامعية والمدرسية

طبعة ١٩٨٣ / ١٩٨٤

دار فؤاد للطباعة
١٧ شارع محمد مراد - اجامه